

**MINISTERUL ÎNVĂȚĂMÎNTULUI  
UNIVERSITATEA TEHNICĂ DIN TIMIȘOARA  
FACULTATEA DE ELECTROTEHNICĂ**

**ING. MIRCEA M. RĂDULESCU**

**STUDIUL PROPRIETĂȚILOR ELECTRICE  
ALE LICHIDELOR MAGNETICE**

**TEZĂ DE DOCTORAT**

BIBLIOTECA CENTRALĂ  
UNIVERSITATEA "POLITEHNICA"  
TIMIȘOARA

**CONDUCĂTOR ȘTIINȚIFIC :  
PROF.DR.ING. IOAN DE SABATA**

**1993**

## CUPRINS

<b>LISTA PRINCIPALELOR SIMBOLURI UTILIZATE</b>	<b>3</b>
<b>INTRODUCERE</b>	<b>7</b>
<b>1. POLARIZAREA LICHIDELOR MAGNETICE ÎN CÎMP ELECTRIC</b>	
<b>STATIC ȘI UNIFORM</b>	<b>13</b>
1.1. Interpretarea microscopică a polarizării statice a lichidelor magnetice	13
1.2. Permitivitatea statică efectivă a lichidelor magnetice	17
1.3. Polarizarea statică a lichidelor magnetice cu particule coloidale izometrice	22
1.3.1. Cazul particulelor sferice cu strat dublu electric. Efectul polidispersiei	26
1.3.2. Cazul dubletului de particule sferice	32
1.3.3. Cazul lanțului lung de particule sferice	38
1.4. Polarizarea statică a lichidelor magnetice cu particule coloidale anizometrice	41
1.4.1. Cazul particulelor anizometrice cu strat dublu electric. Efectul polidispersiei	51
1.5. Comparația unor rezultate teoretice cu date experimentale dielectrometrice	62
<b>2. CONDUCȚIA ELECTRICĂ ÎN REGIM STATIONAR</b>	
<b>A LICHIDELOR MAGNETICE</b>	<b>64</b>
2.1. Conductivitatea electrică efectivă a lichidelor magnetice cu particule coloidale sferice	64
2.2. Comparația rezultatelor teoretice cu date experimentale conductometrice	71
<b>3. COMPORTAREA LICHIDELOR MAGNETICE ÎN CÎMP ELECTRIC</b>	
<b>ARMONIC ȘI UNIFORM</b>	<b>75</b>
3.1. Conductivitatea electrică generalizată (complexă) efectivă a lichidelor magnetice	75
3.1.1. Cazul lichidelor magnetice izometrice	80
3.1.2. Cazul lichidelor magnetice anizometrice	89
3.2. Tangenta unghiului de pierderi dielectrice totale în cazul lichidelor magnetice	96
3.3. Studiul experimental al lichidelor magnetice în audiofreqvență	98

4. EFECTE MAGNETODIELECTRICE ÎN LICHIDELE MAGNETICE	106
4.1. Studiul teoretic al efectului magnetodielectric corespunzător permisivității statice efective a lichidelor magnetice	107
4.1.1. Cazul lichidelor magnetice cu particule coloidale anizometrice	108
4.1.2. Cazul lichidelor magnetice cu dublete de particule coloidale sferice	113
4.1.3. Cazul lichidelor magnetice cu lanțuri lungi de particule coloidale sferice	118
4.2. Studiul experimental al efectelor magnetodielectrice în lichidele magnetice	121
4.2.1. Efectul magnetodielectric corespunzător permisivității reale efective și tangenței unghiului de pierderi dielectrice totale	121
4.2.2. Efectul magnetodielectric corespunzător rigidității dielectrice efective	122
5. CONCLUZII FINALE	126
BIBLIOGRAFIE	129

## LISTA PRINCIPALELOR SIMBOLURI UTILIZATE

Mărimile vectoriale sunt supraliniate, cele tensoriale sunt dublu supraliniate, iar cele complexe sunt subliniate.

Mărimile locale (microscopice) mediate volumic în toate punctele din volumul infinit mic fizic  $V$  al unui eșantion reprezentativ de LM, ca și cele mediate pe ansamblul elementelor structurale ale unei faze componente a LM din  $V$ , sunt marcate deasupra cu simbolul  $\sim$ .

$A$	aria activă a plăcilor de condensator, respectiv a electrozilor plani, aparținând celulei de măsurare (cu proba de LM)
$a$	parametrul caracteristic distribuției Cole-Cole a timpilor de relaxație dielectrică
$A, B, C$	constante de integrare reale, respectiv complexe
$\Delta, \underline{B}$	
$a_1, b_1$	lungimile semiaxelor mică și mare ale unui sferoid alungit, respectiv ale altui sferoid confocal și asemenea cu primul
$a_2, b_2$	
$B_d$	susceptanța capacativă a celulei de măsurare (cu proba de LM)
$b$	mobilitatea ionică
$C, C_p$	capacitatea electrică totală, respectiv parazitară, a celulei de măsurare (cu proba de LM)
$c$	semidistanța focală a unui sferoid alungit
$c\lambda_1, c\lambda_2$	unitatea locală de lungime pentru un sferoid alungit, respectiv pentru alt sferoid confocal și asemenea cu primul
$\bar{D}$	inductia electrică locală
$d$	distanța dintre armăturile condensatorului plan al celulei de măsurare (cu proba de LM)
$\bar{d}$	difuzivitatea ionică
$E$	intensitatea locală a cîmpului electric
$E_{str}$	rigiditatea dielectrică
$\bar{e}$	versor
$e$	excentricitatea sferoidului alungit
$F$	forța lagrangeană
$f$	simbolul funcției
$f, f_r$	frecvența cîmpului electric armonic, respectiv valoarea ei corespunzătoare $(\operatorname{tg} \delta_r)_{\max}$
$f_S$	presiunea electrostatică (în modul)
$\bar{G} = mg$	greutatea masei $m$ de echilibrare a balanței analitice din instalația de măsurare a permitivității statice efective a LM
$G_d, G_o$	conductanțele în paralel ale celulei de măsurare (cu proba de LM) corespunzătoare conductivității dielectrice efective, respectiv conductivității ohmice efective, de regim armonic, ale LM
$\bar{g}$	acceleratia gravitațională
$H$	intensitatea locală a cîmpului magnetic
$I$	amplitudinea complexă a curentului electric (armonica fundamentală) prin celula de măsurare (cu proba de LM)
$I_0, I_1, I_2$	funcțiile Bessel modificate de speță întâi și ordinul zero, unu, respectiv doi
$I_p$	momentul principal de inerție al particulei coloidale anizometrice
$\frac{1}{J_c}$	curentul electric net prin celula conductometrică umplută cu LM
$j$	componenta de conductie a densității superficiale de curent a contraionilor din SDE de tip Stern
$\bar{j}$	densitatea locală de volum a curentului electric
$K$	conductivitatea electrică generalizată (complexă)
$k$	constantă adimensională
$L, M$	lichid(e) magnetic(e)
$\bar{l}$	vectorul liniei centrelor a două particule coloidale sferice (cu SDE de tip Stern atasat) adjacente
$\bar{M}_{p,s}$	magnetizația de saturatie a materialului masiv (magnetită) din care provin particulele coloidale

$m_k$	momentul de selecție de ordinul $k$ pentru o distribuție statistică lognormală
$\bar{m}_p$	momentul magnetic permanent al particulei coloidale
$\bar{n}$	densitatea numerică (de volum) medie
$\bar{p}$	polarizația
$P_n, \tilde{Q}_n$	momentul electric dipolar induș funcțiile Legendre de prima speță (polinoamele Legendre), respectiv de speță a doua cu argument de modul supraunitar
$P_m^m(\cos\eta)$	funcția Legendre asociată de prima speță cu argumentul $-1 \leq \cos\eta \leq 1$
$P_m^m, \tilde{Q}_m^m$	funcțiile Legendre asociate de prima și a doua speță cu indici pozitivi ( $1 \leq m \leq r$ ) și argument de modul supraunitar
$q$	sarcina electrică
$R$	raza particulei coloidale sferice
$\bar{r}$	raza vectoare
SDE	stratul dublu electric (în accepție electrochimică /M2/) atașat fiecărei particule coloidale
$T$	temperatura absolută
$t$	variabila temporală
$\mathbb{T}$	operatorul de interacție electrică dipolară
$U$	tensiunea electrică
$V$	volumul infinit mic fizic al unui eșantion reprezentativ de LM
$V_p$	volumul din $V$ conținând în interiorul său numai particula coloidală de referință
$V_p, V_{p,med}$	volumul particulei coloidale, în cazul LM monodispers, respectiv media geometrică a unei selecții de valori ale variabilei aleatoare $V_p$ , în cazul LM polidispers
$W$	energia potențială
$x$	variabilă aleatoare adimensională
$\bar{Y}_c$	admitanția complexă a celulei de măsurare (cu proba de LM) componenta de difuzie a densității superficiale de curent a contraionilor din SDI de tip Stern
$Z$	impedanța complexă a celulei de măsurare (cu proba de LM)
$(x,y,z)$	sistemul de coordonate carteziene
$\alpha$	polarizabilitatea dipolară
$\beta$	coeficientul adimensional al polarizabilității dipolare
$\Gamma$	unghiul dintre $\bar{H}_p^a$ și axa (mare) de simetrie a particulei coloidale anizometrice
$\gamma$	unghiul dintre vectorii $\bar{E}_p^a$ și $\bar{l}_{12}$ , respectiv dintre $\bar{E}_p^a$ și $\bar{l}_{ij}$ , respectiv dintre $\bar{E}_p^a$ și axa (mare) de simetrie a particulei coloidale anizometrice
$\Delta$	operatorul diferențial Laplace
$\delta$	grosimea uniformă a SDE de tip Stern atașat particulei coloidale sferice
$\operatorname{tg} \delta$	tangenta unghiului de pierderi dielectrice totale, respectiv prin conducție, respectiv prin relaxație dielectrică
$\epsilon$	permisivitatea absolută
$\epsilon', \epsilon''$	permisivitatea absolută reală, respectiv imaginară
$\theta$	unghiul dintre vectorii $\bar{E}_p^a$ și $\bar{H}_p^a$
$\Lambda$	unghiul dintre vectorii $\bar{H}_p^a$ și $\bar{m}_p$
$\mu$	permeabilitatea magnetică
$\rho$	densitatea de sarcină electrică
$\Sigma$	suprafăță închisă
$\sigma$	conductivitatea electrică de volum
$\sigma'$	conductivitatea ohmică efectivă, de regim armonic, a LM

$\sigma_V^p$	abaterea standard a variabilei aleatoare $\ln V_p$ , în cazul LM polidispers
$\tau$	timp de relaxație dielectrică
$\phi$	potențialul electric scalar
$\Phi$	funcția globală de potențial ionic
$\varphi$	unghiul de defazaj dintre curent (armonica fundamentală) și tensiunea sinusoidală aplicată la bornele celulei de măsurare (cu proba de LM)
$\Phi_p$	fracțiunea volumică a fazei suspendate din LM
$\psi$	unghiul dintre $\vec{m}_p$ și axa (mare) de simetrie a particulei coloidale anizometrice
$\omega = 2\pi f$	pulsația cîmpului electric armonic
$(r, \theta, \phi)$	sistemul de coordonate sferice
$(\xi, \eta, \psi)$	sistemul de coordonate ale sferoidului alungit
$\langle \dots \rangle$	media statistică, la echilibru termic, pe ansamblul cu ordonare orientațională a particulelor coloidale din $V$

<u>Prefixe</u>		<u>Indici</u>
$\Delta$	anizotropie	a anizotropie magnetică uniaxială
$\delta$	perturbație	(de ordinul întâi)
<u>Exponenți</u>		B Boltzmann
a	cîmp activ (sau intern)	b benzen
am	anizotropie magnetică uniaxială (de ordinul întâi)	a,b axa mare, respectiv mică, de simetrie a particulei coloidale anizometrice
d	interacțiune dipolară	c contraion de pe suprafață exterioară a SDE de tip Stern
e	electric	e particulă coloidală cu SDE de tip Stern
(e),(i)	subdomeniile de cîmp din exteriorul, respectiv interiorul, particulei coloidale fără SDE de tip Stern atașat	H efect magnetodielectric
l	lanț lung de particule	ij particule coloidale adiacente în cadrul unui lanț lung
m	magnetic	k specie de ioni de impurități din mediul lichid de suspensie
S	superficial	LN funcție statistică lognormală
V	volumic	MW efect Maxwell-Wagner
*	particulă coloidală anizometrică (sferoidală)	m mediu lichid de suspensie
*	operator diferențial bidimensional	O aer (vid)
$\parallel, \perp$	paralel, respectiv ortogonal, față de axa (mare) de simetrie a particulei coloidale anizometrice	o orientațional
$\parallel_H, \perp_H$	efect magnetodielectric paralel, respectiv perpendicular	p particulă coloidală
		r mărime relativă (adimensională)
		s SDE de tip Stern
		v frecare viscoasă
		z axa polară a sferei
		$\theta$ componentă vectorială tangențială la o suprafață
		$\Sigma$ suprafață închisă
		0 absența cîmpului electric
		1,2,3 subdomeniile de cîmp corespun - zătoare particulei coloidale, SDE de tip Stern, respectiv mediul lichid de suspensie
		12 particule coloidale adiacente în cadrul unui dublet
		$\parallel, \perp$ paralel, respectiv ortogonal, față de axa (mare) de simetrie a particulei coloidale anizometrice

## INTRODUCERE

Lichide omogene cu proprietăți feromagnetice nu există în natură, deoarece nu se cunosc substanțe care să aibă punctul Curie deasupra temperaturii lor de topire. Ca urmare, denumirea de lichide magnetice (LM) este atribuită unor lichide de sinteză, reprezentând suspensii coloidale ultrastabile ce conțin o fază solidă de particule magnetice monodomenice, un lichid purtător nemagnetic și un agent stabilizant (surfactant) adsorbit la suprafața particulelor coloidale într-un strat monomolecular compatibil cu lichidul de bază.

La creșterea potențialului aplicativ actual al LM contribuie și cunoașterea tot mai aprofundată a proprietăților lor fizice, dintre care în prezentă teză de doctorat sînt studiate, teoretic și experimental, proprietățile electrice. Acestea depind nemijlocit de structura internă a LM, determinată (i) de natura, concentrația volumică, dimensiunile și eventualele ordonări locale și interacțiuni ale particulelor coloidale magnetice, (ii) de specificul molecular al lichidului de bază, (iii) de natura și grosimea stratului de surfactant etc. Proprietățile electrice ale LM se modifică în acord cu dinamica microstructurală a LM, care poate fi influențată și de o serie de factori externi, precum cimpul magnetic aplicat, temperatura, regimul de lucru al instalației tehnologice cu LM etc. În consecință, parametrii electrofizici efectivi ai LM (permisivitatea, conductivitatea electrică, rigiditatea dielectrică, tangenta unghiului de pierdere dielectrică) pot constitui indicatori de calitate ai LM în diversele aplicații ale acestora.

Sub raport restrictiv, teza de doctorat vizează exclusiv clasa LM cu particule coloidale de magnetită ( $FeO \cdot Fe_{2}O_3$ ), suspendate în petrol și învelite cu o peliculă de surfactant de tip acid oleic ( $CH_3(CH_2)_7CH=CH(CH_2)_7-COOH$ ).

Stabilitatea cinetică a acestor LM la sedimentarea în cimp gravitațional sau magnetic neuniform este conferită de dimensiunile foarte reduse (~100Å) ale particulelor de magnetită, aflate, practic, în mișcare browniană.

Stabilitatea agregativă se asigură prin chemosorbția la

suprafața particulelor coloidale a unui strat de molecule amfifile de acid oleic, care împiedică apropierea și aglomerarea particulelor sub acțiunea forțelor de atracție magnetică și de tip van der Waals.

Metoda cea mai eficientă de sinteză a LM cu magnetită în petrol și acid oleic ca surfactant este cea chimică, rezidind în [B2,F1]: (i) precipitarea magnetitei coloidale din soluții apoase de săruri ferice și feroase, prin acțiunea hidroxidului de amoniu în exces și (ii) stabilizarea sterică prin adsorbția specifică a acidului oleic la suprafața particulelor coloidale de magnetită.

În procesul de precipitare chimică a particulelor de magnetită, suprafața acestora se încarcă electronegativ prin chemosorbția, alături de moleculele de apă, a anionilor de hidroxil determinanți de potențial. Aceste sarcini superficiale negative atrag electrostatic contraioni de amoniu ( $\text{NH}_4^+$ ) hidratați, determinând formarea unui strat dublu electric (SDE) în jurul fiecărei particule coloidale [B2,R14].

În termenii modelului Stern-Grahame al SDE [M2], se poate adopta următoarea imagine electrochimică a fazei în suspensie din LM considerate :

-chemosorbția anionilor de oleat ai surfactantului se produce prin îndepărțarea parțială a moleculelor de apă din stratul intern Helmholtz (SIH) ce constituie, practic, parte integrantă a suprafeței particulei coloidale ;

-contraionii  $\text{NH}_4^+$  hidratați sunt dispuși în stratul extern Helmholtz (SEH), ce definește împreună cu SIH partea compactă (Stern) a SDE, cu grosimea considerabil mai mică decât raza de curbură a suprafeței particulei coloidale ;

-partea difuză a SDE este practic inexistentă, ca urmare a spălărilor repetitive (cu apă distilată și acetona) ale precipitatului de magnetită.

Prezenta teză de doctorat este structurată pe cinci capitole. În capitolul I sunt dezvoltate modele teoretice de studiu al polarizării statice a LM cu particule coloidale izometrice, respectiv anizometrice. Mai întîi, sunt propuse, în baza unei interpretări microscopice adecvate, definiții compatibile, teoretică și experimentală, ale permitivității statice efective a LM. În continuare, se studiază teoretic polarizarea statică a LM

pe modelul sistemelor coloidale monodisperse conținind particule suspendate sferice cu și fără SDE de tip Stern atașat. Acești model teoretici se extinde, apoi, la LM polidisperse prin considerarea distribuției dimensionale, conform unei funcții statistice lognormale, a particulelor coloidale sferice.

Două alte modele teoretice sunt, de asemenea, dezvoltate de autor pentru studiul mecanismului de polarizare statică de tip orientațional a LM monodisperse cu agregate coloidale simple, formate din dublete, respectiv lanțuri rigide lungi, de particule sferice suspendate.

Se efectuează, în continuare, studiul analitic în coordonate sferoidale ai polarizării statice a LM monodisperse conținind particule coloidale anizometrice cu și fără SDE de tip Stern atașat. Rezultatele teoretice sunt, apoi, generalizate pentru LM polidisperse prin introducerea funcției de repartiție statistică lognormală, ce modelează adecvat distribuția volumică a particulelor suspendate anizometrice.

În finalul primului capitol, se arată că rezultatele calculate pe baza modelului teoretic al polarizării statice a LM monodisperse cu lanțuri lungi de particule coloidale sferice sunt consistente cu datele experimentale (singurele disponibile) furnizate în [I1] pentru cimpuri electrostatice intense.

În capitolul 2, sunt studiate, teoretic și experimental, proprietățile electroconductive de regim staționar ale LM. După ce este adoptată definiția ei operațională pentru cimpul electric (staționar și uniform) de slabă intensitate, conductivitatea efectivă  $\sigma$  a LM este calculată în ipoteza soluției coloidale monodisperse, suficient de diluate, conținind particule suspendate sferice cu strat Stern subțire. Un astfel de calcul a impus, mai întii, interpretarea microscopică adecvată a mediei volumice a densității locale rezultante de curent electric din LM și, apoi, determinarea acesteia din forma asimptotică a funcției globale de potențial ionic.

Experimental,  $\sigma$  este determinată, în c.a. de foarte joasă frecvență și la temperatură ambientă, cu un conductometru specializat tip LTB-Seibold (Austria). Sunt comparate, în final, rezultatele teoretice cu cele experimentale, în cazul LM diluate și este propus un indicator conductometric de calitate

a LM, pentru controlul procesului lor de preparare chimică.

Capitolul 3 are ca obiect analiza teoretică și experimentală a răspunsului LM la acțiunea unui cimp electric armonic și uniform. După introducerea conceptuală a conductivității electrice generalizate ( complexe ) efective, dependente de frecvență,  $K(\omega)$ , a LM, se efectuează calculul acesteia în baza unei interpretări microscopice adecvate a mediei volumice a densității locale rezultante a curentului electric de regim armonic prin LM. Se obține, astfel, o definiție teoretică a mărimii complexe  $K(\omega)$ , a cărei explicitare în cazul LM cu particule coloidale sferice, neîncărcate electric și fără SDE atașat, permite să se evidențieze relaxația dielectrică interfacială de tip Debye corespunzătoare efectului Maxwell-Wagner în aceste LM.

Să tratăm, apoi, cazul general al LM conținând particule coloidale sferice cu sarcină electrică superficială și SDE de tip Stern atașat, relevându-se un fenomen suplimentar de relaxație dielectrică, la care contribuția esențială revine difuziei superficiale a contracionilor stratului Stern din jurul particulelor.

Studiul analitic în coordonate sferoidale și în complex al comportării LM cu particule anizometrice în cimp electric armonic și uniform conduce la evidențierea unui fenomen specific de relaxație dielectrică orientațională.

Relativ la tangenta unghiului de pierderi dielectrice totale în cazul LM, se propune o definiție experimentală și se deduce expresia componentei de pierderi prin relaxație dielectrică interfacială de tip Debye.

Analiza experimentală a LM în cimp electric armonic și uniform se efectuează în audiofrecvență, după ce, în prealabil, sunt deduse formulele de evaluare precisă a permisivității relative reale efective,  $\epsilon'_r$  și a tangenței unghiului de pierderi dielectrice totale,  $\text{tg}\delta_r$ , din măsurările efectuate cu un impedanțmetru tip TT-3152 (Ungaria) și cu o celulă de măsurare cu condensator plan de concepție proprie. Datele experimentale obținute sunt prelevate în spectrele hertziene  $\epsilon'_r(f)$  și  $\text{tg}\delta_r(f)$ , acestea fiind interpretate calitativ în termenii modelelor teoretice dezvoltate anterior și, de asemenea, puse în corespondență cu funcția Cole-Cole de descriere empirică a

relaxației dielectrice în cazul LM.

În prezență simultană a cîmpurilor uniforme, electric și magnetic, LM evidențiază efecte magnetodielectrice măsurabile, adică dependențe ale parametrilor dielectrici efectivi ai LM de modulul vectorului-cîmp magnetic și de direcția acestuia în raport cu vectorul-cîmp electric. Efectele magnetodielectrice în LM sunt studiate, teoretic și experimental, în capitolul 4 . Astfel, sunt dezvoltate trei modele teoretice pentru descrierea mecanismelor magnetooorientaționale de polarizare statică a LM : (i) cel al particulei coloidale anizometrice independente, (ii) cel al dubletului de particule coloidale sferice, în interacțiune electromagnetică slabă (model bidimensional) și (iii) cel al lanțului rigid lung de particule coloidale sferice.

Experimental, sunt studiate efectele magnetodielectrice corespunzătoare atât permisivității reale efective și tangenței unghiului de pierdere dielectrice totale, cât și rigiditatea dielectrice efective, ale LM considerate.

*Capitolul 5 este rezervat concluziilor finale.*

\*

\* \* \*

Multumesc D-lui Prof.Dr.Ing. Ioan De Sabata pentru competența științifică și exigența cu care m-a îndrumat pe parcursul elaborării tezei de doctorat.

Multumesc, totodată, Colectivului Centrului de Cercetări de Hidrodinamică și Cavitație și Lichide Magnetice, din cadrul Universității Tehnice Timișoara, condus de D-nii Acad. Ioan Anton și Dr.Fiz. Ladislau Vékás pentru suportul material și uman oferit cu generozitate în perioada doctoranturii.

Exprim multumiri aparte D-lor Prof.Dr.Ing. Emil Simion, Prof.Dr.Ing. Dumitru Daba și Dr.Fiz. Ladislau Vékás, care m-au onorat acceptind să participe ca membri ai comisiei de doctorat.

Multumesc, de asemenea, D-lui Dr.Fiz. Constantin Cotae, de la Institutul Politehnic Iași, pentru inițierea în studiul experimental al proprietăților LM și pentru recomandările privind orientarea unor cercetări din cadrul doctoratului.

Nu în ultimul rînd, mulțumesc colegilor de la Catedra de Mașini Electrice a Universității Tehnice din Cluj-Napoca și de la Laboratorul de Electromecanică și Mașini Electrice al Politehnicii Federale din Lausanne pentru ajutorul amical acordat în finalizarea acestei lucrări.

*Dedic teza de doctorat părinților mei și soției mele,  
cu gratitudine și afecțiune.*

## 1. POLARIZAREA LICHIDELOR MAGNETICE ÎN CÎMP ELECTRIC STATIC ŞI UNIFORM

Polarizarea statică (macroscopică) a clasei de LM cu magnetită în petrol și acid oleic ca surfactant se produce ca efect mediu net al acțiunii exercitate de un cîmp electric constant în timp și uniform în spațiu asupra fazelor suspendate (reprezentind particule coloidale de magnetită cu SDE atașat suprafeței lor) și a mediului de suspensie (reprezentind un amestec de natură organică din molecule de petrol, catene hidrocarbonate ale moleculelor de acid oleic chemosorbite la suprafața particulelor coloidale și miciile de asociație inverse formate din molecule de acid oleic neadsorbite, la acest amestec organic putîndu-se adăuga, în procesul de preparare chimică a LM, molecule de impurități de natură electrolitică și ioni rezultați prin disocierea acestora).

În singura lucrare teoretică relevantă asupra polarizării statice a LM, [C1], s-a dezvoltat un model dielectric dipolar pentru mecanismul de polarizare de tip orientațional al particulelor coloidale suspendate, admise identice, conductoare, elipsoidale, neîncărcate electric și fără SDE atașat. Polarizarea indușă adițională a mediului lichid de suspensie s-a presupus uniformă.

Modelul teoretic din [C1] a fost revizuit de autorul tezei de față și extins la LM polidispersed prin considerarea distribuției volumice (conform unei funcții statistice lognormale) a particulelor coloidale [R1,R2].

Datele experimentale referitoare la polarizarea statică a LM din clasa considerată sunt extrem de rare în literatura de specialitate. Valori măsurate ale permisivității statice efective a acestor LM sunt furnizate doar în lucrarea [I1].

### 1.1. Interpretarea microscopică a polarizării statice a lichidelor magnetice

Studiul polarizării statice a LM din clasa considerată nu se poate face decât în baza unei descrieri microscopică adecvate.

Astfel, se admite că LM reprezintă la scară microscopică un material dielectric heterogen, compus din trei submateriale dielectrice omogene și izotrope :

- particula coloidală de magnetită, avind o formă sferică (respectiv sferoidală), o permittivitate constantă  $\epsilon_p$  și o distribuție de sarcină electrică superficială și imobilă (a anionilor chemosorbiți), cu densitatea  $\rho_p^S$  constantă, indiferent de prezența sau absența cimpului electric extern;

- SDE din jurul fiecărei particule coloidale, reprezentând în cazul LM considerate, doar un strat (compact) Stern, de permittivitate constantă  $\epsilon_s$ , fără distribuție de sarcină în volumul său, delimitat de două suprafețe sferice concentrice (respectiv, sferoidale confocale și asemenea) apropiate, una,  $\Sigma_p$ , a particulei, iar cealaltă,  $\Sigma_s$ , exterioară și încărcată cu sarcina (contraionilor  $NH_4^+$ ) de densitate  $\rho_s^S$ , constantă doar în absența cimpului electric; în aproxiماția stratului Stern subțire, grosimea acestuia se neglijiază în raport cu raza de curbură a particulei coloidale, adică  $\Sigma_s \rightarrow \Sigma_p$ ;

- mediul lichid de suspensie, de permittivitate constantă  $\epsilon_m$  ( $\epsilon_m < \epsilon_p$ ) cu elemente microstructurale identice, nepolare și neîncărcate electric; se admite că în procesul polarizării temporare a LM, interacțiunile electrostatice ale particulelor coloidale de magnetită cu elementele microstructurale ale mediului de suspensie sunt nesemnificative.

Pentru aceste trei submateriale dielectrice constitutive ale LM considerate, se pot invoca următoarele mecanisme microscopice de polarizare statică:

(i) Fiecare particulă coloidală de magnetită din LM reprezintă, în fapt, un sistem dinamic de sarcini electrice, lipsit de moment electric permanent. Sub acțiunea unui cimp electrostatic uniform, particula se polarizează temporar prin deplasarea centrului sarcinilor ei pozitive în raport cu cel al sarcinilor negative, particula dobândind, astfel, un moment electric microscopic inducție (mecanism de polarizare de tip deformațional). În ceea ce urmează, se adoptă pentru particula coloidală polarizată în cimp electrostatic uniform modelul dipolului ei electric inducție echivalent, localizat în centrul ei de masă și avind momentul dipolar  $\bar{p}_p$  de o asemenea intensitate, încit potențialul electrostatic al acestui dipol echivalent să

fie asymptotic egal cu potențialul datorat particulei reale polarizate, la distanță suficient de mare de aceasta.

Dacă particula coloidală suspendată prezintă simetrie sferică și se polarizează independent, atunci momentul ei dipolar induc echivalent  $\bar{p}_p$  este omoparalel și proporțional cu cîmpul electric activ sau intern (static și uniform)  $\bar{E}_p^a$ , efectiv polarizant al particulei:

$$\bar{p}_p = \alpha_p \bar{E}_p^a , \quad (1.1.1)$$

factorul de proporționalitate  $\alpha_p$  definind scalarul polarizabilității statice dipolare a particulei sferice respective.

Dacă particula coloidală prezintă doar simetrie axială, datorită formei sale sferoidale, atunci vectorii  $\bar{p}_p$  și  $\bar{E}_p^a$  posedă, în general, direcții diferite, adică:

$$\bar{p}_p = \bar{\alpha}_p \bar{E}_p^a , \quad (1.1.2)$$

polarizabilitatea statică dipolară a particulei fiind specificată prin tensorul simetric  $\bar{\alpha}_p$  (anizotropia polarizabilității). Ca urmare, cîmpul electric activ  $\bar{E}_p^a$  nu numai că polarizează temporar deformațional particulele sferoidale (inducind în fiecare dintre ele cîte un moment dipolar echivalent  $\bar{p}_p$ ), dar exercită asupra lor și cuprul  $\bar{p}_p \times \bar{E}_p^a$ , tinzind să le orienteze (cu axa principală, de polarizabilitate maximă, a tensorului  $\bar{\alpha}_p$ ) pe direcția lui, adică într-o stare ordonată în care energia potențială a particulei singulare este minimă (*mecanism de polarizare de tip orientațional*). Desigur, această tendință de electroorientare pe direcția cîmpului activ a particulelor sferoidale suspendate din LM este perturbată de agitația lor termică.

(ii) Întrucît s-a admis că, pentru LM considerate, SDE atașat particulei coloidale suspendate se reduce, practic, la stratul (compact) Stern, polarizarea acestuia în cîmp electrostatic uniform se manifestă prin deplasarea contraiionilor din SEH și, deci, perturbarea distribuției superficiale inițiale (în absența cîmpului) a acestora (*mecanism de polarizare de tip deformațional*).

Să poată ține seama de această polarizare deformațională a stratului Stern atașat particulei coloidale de magnetită din LM prin modificarea corespunzătoare a expresiei momentului dipolar

indus echivalent ( $\bar{p}_p \rightarrow \bar{p}_{pe}$ ) al particulei.

În continuare, este formulată ipoteza suplimentară că datorită forțelor de atracție electrostatică exercitate de sarcinile fixe de pe suprafața particulei coloidale de magnetită asupra contraiionilor asociați, aceștia nu se pot deplasa decât în lungul suprafeței exterioare  $\Sigma_e$  a stratului Stern, sub acțiunea componentei tangențiale a cimpului electrostatic aplicat. Se exclude, astfel, orice interacțiune prin schimb ionic între stratul Stern atașat particulei coloidale și mediul lichid de suspensie din jurul acesteia.

Nu se exclude, însă, polarizarea mutuală a particulelor coloidale adiacente (cu SDE atașate) datorită interacțiunii lor dipolare în cimp electrostatic uniform (adică, între momentele lor electrice dipolare induse echivalente). Pentru LM suficient de diluate, aceste interacțiuni electrostatice dipolare se pot limita la dubletul de particule coloidale polarizate.

De asemenea, se consideră că particula coloidală și stratul Stern asociat nu posedă polarizare remanentă, adică  $(\bar{p}_{pe})_{E_p=0}^a = 0$ .

(iii) Fiind un material dielectric organic nepolar, mediul lichid de suspensie al LM se polarizează static conform unui mecanism de tip deformațional aplicat elementelor sale microstructurale. În consecință, cimpul electrostatic uniform induce în fiecare dintre aceste elemente microstructurale cîte un moment electric (microscopic) dipolar echivalent  $\bar{p}_m$ . Se admite că polarizabilitatea statică dipolară  $\alpha_m$  a elementelor microstructurale ale mediului lichid de suspensie este constantă, astfel că

$$\bar{p}_m = \alpha_m \bar{E}_m^a , \quad (1.1.3)$$

unde  $\bar{E}_m^a$  definește cimpul electric activ (static și uniform) efectiv polarizant al constituenților elementari ai mediului de suspensie. Interacțiunile electrostatice dipolare dintre elementele microstructurale polarizate ale mediului lichid de suspensie sint neglijabile.

În sfîrșit, în studiul comportării dielectrice a LM se ignorează efectele datorate atît mișcării electroforetice în cimp electrostatic uniform a particulelor coloidale cu strat Stern atașat, cît și curgerii lichidului de suspensie din jurul particulelor.

## 1.2. Permitivitatea statică efectivă a lichidelor magnetice

Parametrul constitutiv macroscopic al LM supuse acțiunii polarizante a cîmpului electrostatic uniform îl reprezintă permitivitatea statică efectivă, pentru a cărei introducere autorul propune următorul procedeu de mediere.

Se consideră o celulă dielectrometrică pentru lichide, conținind un condensator de măsurare cu armături plane, paralele, imersate în LM. Condensatorul plan are distanța d dintre armături suficient de mică față de dimensiunile acestora și este prevăzut cu inel de gardă pentru evitarea efectului de margine. În aceste condiții, prin aplicarea unei tensiuni constante U la bornele condensatorului, pe armăturile acestuia rezultă o distribuție de sarcină electrică liberă cu densitatea superficială  $\rho^S$ , în spațiul dintre armături, umplut cu LM, stabilindu-se un cîmp electrostatic uniform. Valoarea măsurabilă macroscopică  $U/d$  a acestuia poate fi identificată cu modulul mediei volumice

$$\tilde{E} = \left( \int_V \tilde{E} dv \right) / V , \quad (1.2.1)$$

a vectorului-cîmp electric local (microscopic)  $\tilde{E}$  pe volumul (infinit mic fizic) V al unui eșantion reprezentativ de LM, volum suficient de mic în raport cu dimensiunea celulei dielectrometrice, dar conținind un număr semnificativ statistic de particule coloidale de magnetită.

Într-o interpretare microscopică analogă, valoarea măsurabilă  $\rho^S$  a inducției electrice în LM dintre armături poate fi identificată cu modulul mediei volumice

$$\tilde{D} = \left( \int_V \tilde{D} dv \right) / V , \quad (1.2.2)$$

a vectorului inducției electrice locale (microscopice)  $\tilde{D}$ .

Corespunzător mărimilor medii  $\tilde{E}$  și  $\tilde{D}$ , LM poate fi echivalat macroscopic cu un dielectric omogen și izotrop (statistic), de permitivitate statică efectivă :

$$\varepsilon = \tilde{D} / \tilde{E} = \tilde{D} / \tilde{E} . \quad (1.2.3)$$

Pentru ca definiția teoretică (1.2.3) să fie operațională,  $\varepsilon$  se va exprima în funcție de parametrii fazelor componente ale LM, adoptându-se ipoteze adecvate pentru proprietățile dielec-

trice ale acestora.

Polarizația statică (macroscopică)  $\tilde{P}$  a LM se poate introduce prin legea legăturii dintre inducție, intensitate și polarizație, care, ținând seama de (1.2.3), se scrie:

$$\tilde{D} = \epsilon_0 \tilde{E} + \tilde{P} \quad (1.2.4)$$

Conform acestei relații, polarizația  $\tilde{P}$  este interpretabilă microscopic prin procedeul de mediere volumică definit în (1.2.1) și (1.2.2), adică:

$$\tilde{P} = \left( \int_V \tilde{P} dV \right) / V = \left( \sum_k \int_{V_{pk}} \tilde{P} dV \right) / V + \left( \int_{V - \sum V_{pk}} \tilde{P} dV \right) / V, \quad (1.2.5)$$

unde suma  $\sum_k$  se extinde asupra tuturor particulelor coloidale (cu stratul Stern atașat) din volumul (infinit mic fizic)  $V$  al LM și unde  $V_{pk}$  reprezintă volumul particulei coloidale (cu stratul Stern atașat)  $k$  din  $V$ .

În baza ipotezelor microscopicice adoptate anterior, se poate considera că polarizația statică medie (macroscopică)  $\tilde{P}$  a LM conține doi termeni aditivi, independenți:  $\tilde{P}_m$ , datorat mediului lichid de suspensie și  $\tilde{P}_p$ , datorat particulelor coloidale (cu stratul Stern atașat), deci :

$$\tilde{P} = \tilde{P}_m + \tilde{P}_p \quad (1.2.6)$$

$$\text{cu } \tilde{P}_m = \left( \int_{V - \sum V_{pk}} \tilde{P} dV \right) / V, \quad \tilde{P}_p = \left( \sum_k \int_{V_{pk}} \tilde{P} dV \right) / V, \quad (1.2.7)$$

conform relației anterioare (1.2.5).

Dacă se adoptă modelul continuu pentru mediul lichid de suspensie, atunci se poate scrie legea polarizării sale temporare macroscopice în aproximarea liniară:

$$\tilde{P}_m = (\epsilon_m - \epsilon_0) \tilde{E}. \quad (1.2.8)$$

Referitor la contribuția  $\tilde{P}_p$  a particulelor coloidale (cu stratul Stern atașat) la polarizarea statică a LM, aceasta se poate interpreta microscopic conform modelului dielectric dipolar (1.1.1) sau (1.1.2), astfel că :

$$\tilde{\bar{P}}_p = \left( \sum_k \int_{V_{pk}} \bar{P} dV \right) / V = \left( \sum_k \bar{P}_{pk} \right) / V = n_p^V \tilde{\bar{P}}_p , \quad (1.2.9)$$

unde s-a identificat  $\int_{V_{pk}} \bar{P} dV = \bar{P}_{pk}$  și s-a notat cu  $n_p^V$  densitatea numerică (de volum) medie a particulelor coloidale, iar cu  $\tilde{\bar{P}}_p$ , momentul dipolar inducție mediat pe ansamblul particulelor coloidale din volumul (infinit mic fizic)  $V$  de LM. Această medie se efectuează conform mecanicii statistice clasice asupra tuturor configurațiilor posibile ale particulelor coloidale (cu strat Stern atașat).

Prin combinarea relațiilor anterioare (1.2.3), (1.2.4), (1.2.6), (1.2.8), (1.2.9) rezultă, pentru permisivitatea statică efectivă a LM, expresia:

$$\epsilon = \epsilon_m + n_p^V \tilde{\bar{P}}_p / \tilde{E} . \quad (1.2.10)$$

Ea reduce determinarea parametrului constitutiv macroscopic  $\epsilon$  la calculul incrementului dielectric static  $n_p^V \tilde{\bar{P}}_p / \tilde{E}$  al LM în raport cu permisivitatea mediului de suspensie  $\epsilon_m$ . La rîndul său, acest calcul comportă evaluarea momentului dipolar inducție mediu  $\tilde{\bar{P}}_p$  al particulelor coloidale (cu stratul Stern atașat) din LM.

O expresie de calcul alternativă a permisivității statice efective a LM se poate obține prin extinderea modelului dielectric dipolar și asupra mediului lichid de suspensie, ceea ce permite interpretarea microscopică a polarizației statice mediei  $\tilde{\bar{P}}_m$  a acestuia într-un mod analog cu (1.2.9), adică :

$$\tilde{\bar{P}}_m = \left( \int_{V - \sum_k V_{pk}} \bar{P} dV \right) / V = \left( \sum_j \int_{V_{mj}} \bar{P} dV \right) / V = \left( \sum_j \bar{P}_{mj} \right) / V = n_m^V \bar{P}_m . \quad (1.2.11)$$

În relația (1.2.11) suma  $\sum_j$  se extinde asupra tuturor elementelor microstructurale polarizate  $j$  (de volum  $V_{mj}$ ) ale mediului de suspensie din  $V$ , a căror densitate numerică (de volum) medie este  $n_m^V$ , iar momentul dipolar inducție  $\bar{P}_m$ , identificat cu  $\int_{V_{mj}} \bar{P} dV$ , se presupune constant și același pentru toți constituenții elementari ai mediului de suspensie.

Ținând seama de relațiile anterioare (1.2.3), (1.2.4), (1.2.6), (1.2.9) și (1.2.11) rezultă, pentru permisivitatea sta-

tică efectivă  $\epsilon$  a LM, o a doua expresie de calcul:

$$\epsilon = \epsilon_0 + \left( n_m^V \frac{1}{P_m} + n_p^V \frac{\tilde{\epsilon}}{P_p} \right) / \tilde{E}, \quad (1.2.12)$$

în care apar explicit parametrii microstructurali ai fazelor componente ale LM.

Experimental, permittivitatea statică efectivă a LM se poate determina măsurind forța normală de atracție dintre armăturile condensatorului plan imersat în LM, cînd se aplică la bornele condensatorului tensiunea constantă U. Dispozitivul de măsurare propus se bazează pe principiul electrometrului absolut al lui Thomson (fig.1.2.1). Astfel, condensatorul plan considerat se

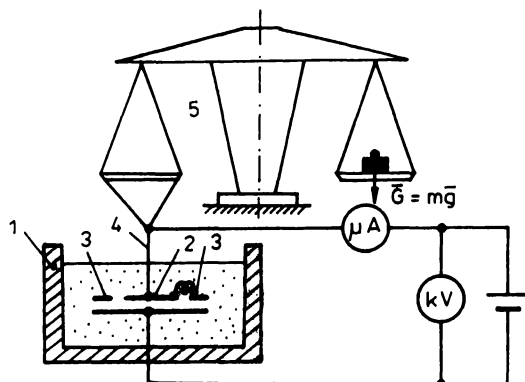


Fig.1.2.1. Schema de principiu a dispozitivului de măsurare a permittivității statice efective a LM.

compune din două armături (de oțel inoxidabil) circulare, paralele, cea inferioară 1, fixă, iar cea superioară 2, mobilă, de diametru mai mic, prevăzută, în planul ei, cu inelul de gardă exterior fix 3 (de lățime aproximativ de două ori mai mare decît distanța d dintre armături). Armătura mobilă este suspendată prin firul conductor 4 de unul din platanele balanței analitice cu brațe egale 5.

Aplicînd la bornele condensatorului plan tensiunea constantă U (furnizată de o sursă de înaltă tensiune și măsurată cu un kilovoltmetru), armătura superioară mobilă, de arie A, este atrasă spre cea inferioară fixă, cu o forță lagrangeană  $F$ , de modul [T2]:

$$F = \epsilon A (U/d)^2 / 2. \quad (1.2.13)$$

Măsurarea acestei forțe electrostatice se face reducind armătura superioară mobilă în planul inelului ei de gardă cu ajutorul greutății  $\bar{G}$ , de modul:

$$\bar{G} = mg, \quad (1.2.14)$$

corespunzătoare unei mase  $m$ , puse pe celălalt platan al balanței analitice pentru echilibrarea acesteia. Din egalitatea relațiilor anterioare (1.2.13) și (1.2.14) rezultă definiția experimentală adoptată pentru permisivitatea statică efectivă a LM

$$\varepsilon = (2mg/A) (d/U)^2, \quad (1.2.15)$$

în care mărimile de măsurat sunt  $m$  ( $\sim 10^{-4}$  kg) și  $U$  ( $\sim 10^3$  V), geometria condensatorului plan ( $d^2/A$ ) și accelerarea gravitațională ( $g$ ) fiind date.

Definiția experimentală (1.2.15) nu necesită măsurări pretențioase de capacitate electrică, dar presupune determinarea lui  $\varepsilon$  în prezența unui cimp electrostatic relativ intens ( $\sim 10^5$  V/m), evaluarea precisă a tensiunii înalte  $U$ , existența unei caracteristici voltamperice liniare a circuitului celulei de măsurare, precum și absența încălzirii și străpunerii dielectrice a probei de LM.

Rămîne de dovedit că definițiile, teoretică (1.2.3) și experimentală (1.2.15), ale permisivității statice efective a LM sunt compatibile. În acest scop, forța de atracție  $F$  se mai poate calcula prin integrala de arie a presiunii electrostatice  $f_s$  la interfața metal-dielectric a armăturii pozitive mobile a condensatorului plan imersat în LM [D4,R11]:

$$f_s = \tilde{D} \tilde{E} / 2 \quad (1.2.16)$$

Pentru forță normală exercitată la suprafața de arie  $A$  a armăturii mobile rezultă, atunci, modulul:

$$F = f_s A = \tilde{D} \tilde{E} A / 2. \quad (1.2.17)$$

Cu (1.2.17) în (1.2.13) și ținând seama de definiția intensității  $\tilde{E}$  a cimpului mediu macroscopic din LM, se obține:

$$\varepsilon = \tilde{D} \tilde{E} A / A(U/d)^2 = \tilde{D} \tilde{E} / \tilde{E}^2 = \tilde{D} / \tilde{E}, \quad (1.2.18)$$

ceea ce probează consistența celor două definiții, teoretică și experimentală, ale permisivității statice efective a LM.

**1.3. Polarizarea statică a lichidelor magnetice  
cu particule coloidale izometrice**

Studiul teoretic al polarizării statice a LM se efectuează considerind, mai intii, cazul simplu al unei particule coloidale singulare, neîncărcată electric și fără SDE atașat, de forma unei sfere omogene de rază  $r=R$  și de permisivitate statică  $\epsilon_p$ , imersată în mediul de suspensie izotrop și omogen, de permisivitate statică  $\epsilon_m$  și aflată în prezența cîmpului electric activ (static și uniform)  $\bar{E}_p^a$ . Se consideră un sistem de coordonate sferice  $(r, \theta, \varphi)$  cu originea O în centrul particulei și cu axa Oz ( $\theta=0$ ) orientată în sensul cîmpului activ  $\bar{E}_p^a$  (fig.1.3.1).

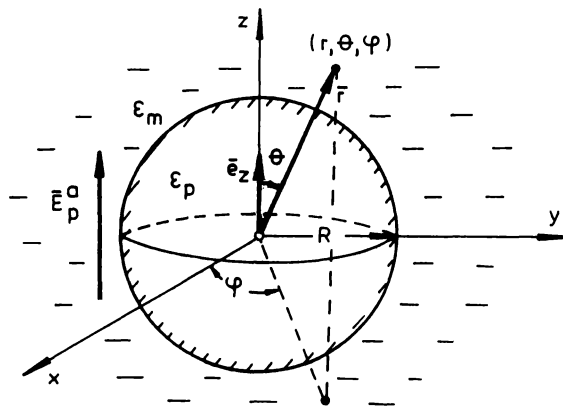


Fig.1.3.1. Particulă coloidală sferică imersată în mediul lichid de suspensie și aflată în prezența cîmpului electric activ.

Datorită simetriei (azimutale) în raport cu axa polară Oz, potențialul electrostatic este independent de  $\varphi$ . Identificind formele asymptotice (pentru distanțe suficient de mari de centrul particulei) ale potențialului datorat polarizării statice a particulei sferice (neîncărcate) și, respectiv, ale potențialului dipolului electric echivalent, rezultă expresia cunoscută [D2,J1,S2] a momentului dipolar induș,

$$\bar{p}_p = v_p \epsilon_m (\epsilon_p - \epsilon_m) [\epsilon_m + (\epsilon_p - \epsilon_m)/3]^{-1} \bar{E}_p^a , \quad (1.3.1)$$

unde  $V_p = 4\pi R^3/3$  definește volumul particulei sferice. Se observă că, în acest caz,  $\bar{p}_p$  este omoparalel și proporțional cu cîmpul activ  $\bar{E}_p^a$ .

Din comparația relațiilor (1.1.1) și (1.3.1), rezultă polarizabilitatea statică dipolară (deformatională) a particulei coloidale sferice,

$$\alpha_p = V_p \varepsilon_m (\varepsilon_p - \varepsilon_m) [\varepsilon_m + (\varepsilon_p - \varepsilon_m)/3]^{-1} = V_p \varepsilon_m \beta_p , \quad (1.3.2)$$

unde cu  $\beta_p = (\varepsilon_p - \varepsilon_m) [\varepsilon_m + (\varepsilon_p - \varepsilon_m)/3]^{-1}$  s-a notat coeficientul adimensional al acestei polarizabilități.

Introducind (1.3.1), (1.3.2) în definiția teoretică a permisivității statice efective a LM (1.2.10), se obține:

$$\varepsilon = \varepsilon_m \left(1 + \varphi_p \beta_p \frac{\bar{E}_p^a}{\bar{E}}\right) , \quad (1.3.3)$$

unde s-a ținut seama că  $\frac{V}{V_p} = \varphi_p$  reprezintă fracția unea volumică a fazei suspendate din LM și că  $\bar{E}_p^a$ ,  $\bar{E}$  sunt omoparaleli, intrucît relativ la mărimele medii  $\bar{p}_p = \bar{p} = \alpha_p \bar{E}_p^a$  și  $\bar{E}$ , LM este echivalent unui dielectric omogen și izotrop (statistic).

Forma explicită a relației (1.3.3) depinde de expresia de calcul a cîmpului electric activ (static și uniform)  $\bar{E}_p^a$ , efectiv polarizant al fiecărei din particulele coloidale suspendate ale LM. El rezultă, de fapt, prin medierea cîmpului electric local (microscopic) în punctele în care se află centrele de masă ale particulelor coloidale, respectiv centrele dipolilor induși echivalenți ai acestora [T1]. Ca urmare,  $\bar{E}_p^a$  diferă, în general, de cîmpul macroscopic  $\bar{E}$ , intrucît acesta din urmă rezultă prin medierea cîmpului local (microscopic) în toate punctele din volumul infinit mic fizic  $V$  al dielectricului reprezentat de LM.

Dacă se admite ipoteza simplificatoare  $\bar{E}_p^a \approx \bar{E}$ , neglijindu-se, astfel, orice interacțiuni electrostatice ale particulelor coloidale sferice în suspensie, atunci din (1.3.3) rezultă cunoscuta formulă Rayleigh-Wagner [B4,L1,R13,T3] pentru permisivitatea statică a unei suspensii diluate de particule sferice neîncărcate și polarizate independent:

$$\varepsilon = \varepsilon_m \left(1 + \varphi_p \beta_p\right) . \quad (1.3.4)$$

În continuare, pentru calculul concret al cîmpului electric

activ  $\bar{E}_{p,1}^a$  se va utiliza metoda lui Lorentz [B1]. Conform acestei

ia,  $\bar{E}_{p,1}^a$  insumează

- cimpul electric  $\bar{E}_{p,1}^a$  dintr-o cavitate sferică virtuală  $\Sigma$ , de volum infinit mic fizic, umplută cu mediul (continuu) de suspensie de permisivitate  $\epsilon_m$  și centrată pe particula coloidală al cărei cimp activ se calculează;

- cimpul electric  $\bar{E}_{p,2}^a$  datorat celorlalte particule coloide polarizate din interiorul sferei  $\Sigma$ , respectiv dipolilor induși echivalenți ai acestora.

La rîndul său, cimpul electric  $\bar{E}_{p,1}^a$  se compune din doi termeni aditivi: (i) cimpul electric mediu (macroscopic)  $\bar{E}$ , ce există înainte de practicarea cavității sferice  $\Sigma$  și (ii) cimpul electric suplimentar  $\bar{E}_\Sigma$  datorat acțiunii dipolilor induși echivalenți ai particulelor coloide polarizate din afară cavității  $\Sigma$ ;  $\bar{E}_\Sigma$  corespunde, în fapt, cimpului unei distribuții superficiale  $\bar{P}_{p,\Sigma}$  de sarcini de polarizație de pe fața interioară a cavității sferice  $\Sigma$  (avind normală interioară  $\bar{n}_{\Sigma}$ ). Așadar, cimpul  $\bar{E}_{p,1}^a$  din mediul lichid de suspensie al cavității  $\Sigma$  se poate scrie [T2]:

$$\bar{E}_{p,1}^a = \bar{E} + \bar{E}_\Sigma = \bar{E} + \int_{\Sigma} \left( \bar{P}_{p,\Sigma} \bar{n}_{\Sigma} \right) \bar{r} d\Sigma / 4\pi\epsilon_m r^3, \quad (1.3.5)$$

unde vectorul de poziție  $\bar{r}$  este dirijat spre centrul sferei  $\Sigma$ , iar polarizația medie  $\bar{P}_p$  (corespunzătoare exclusiv particulelor coloide din exteriorul lui  $\Sigma$ ) poate fi considerată constantă în punctele suprafeței foarte mici  $\Sigma$  a cavității sferice. Din motive de simetrie,  $\bar{E}_\Sigma$  este dirijat după axa polară  $z$  a sferei  $\Sigma$  și integrandul din (1.3.5) depinde numai de unghiul  $\theta$  dintre raza vectoare  $\bar{r}$  și versorul  $\bar{e}_z$  al axei Oz, așadar:

$$\begin{aligned} \bar{E}_\Sigma &= \bar{e}_z \int_0^\pi \bar{P}_p \cos\theta r \cos\theta 2\pi r^2 \sin\theta d\theta / 4\pi\epsilon_m r^3 \\ &= -\bar{e}_z \bar{P}_p \int_0^\pi \cos^2\theta d(\cos\theta) / 2\epsilon_m = \bar{P}_p / 3\epsilon_m, \end{aligned} \quad (1.3.6)$$

de unde, ținând seama și de (1.2.9),

$$\bar{E}_{p,1}^a = \bar{E} + \bar{P}_p / 3\epsilon_m = \bar{E} + n_v \bar{P}_p / 3\epsilon_m. \quad (1.3.7)$$

Particulele coloide polarizate din interiorul cavității sferice  $\Sigma$ , avind o distribuție complet dezordonată din cauza agitației lor termice, produc în centrul sferei  $\Sigma$  cimpuri electri-

că ce se compensează statistic din motive de simetrie, astfel că:

$$\bar{E}_{p,z}^a \approx 0 , \quad (1.3.8)$$

ceea ce semnifică absența oricărei corelații între pozițiile și momentele dipolare induse ale particulelor coloidale din interiorul lui  $\Sigma$ .

Ținând seama de relațiile anterioare de calcul (1.3.7) și (1.3.8), rezultă, în definitiv :

$$\bar{E}_p^a \approx \bar{E}_{p,i}^a = \tilde{\bar{E}} + n_p^V \frac{\tilde{\bar{P}}_p}{3\epsilon_m} . \quad (1.3.9)$$

Cu (1.3.9) în (1.3.1)-(1.3.3), se obține:

$$\frac{\tilde{\bar{P}}_p}{\bar{P}_p} = \frac{\tilde{\bar{E}}}{\bar{P}_p} = n_p^V \epsilon_m \beta_p \frac{\tilde{\bar{E}}}{(1 - \varphi_p \beta_p / 3)} , \quad (1.3.10)$$

respectiv

$$\epsilon = \epsilon_m [1 + \varphi_p \beta_p / (1 - \varphi_p \beta_p / 3)] , \quad (1.3.11)$$

adică tocmai formula Maxwell-Garnett [B4,B5,R14,T3] pentru permisitivitatea statică a unei suspensii diluate de particule sféricе neîncărcate, în interacțiune dipolară slabă, formulă propusă și pentru LM în [N1].

Conform unei sugestii din [V1], în lucrările [R1,R2] s-a adoptat un cimp electric activ unic, de tip Lorentz, atât în raport cu particulele coloidale suspendate, cât și cu constituenții elementari ai mediului lichid de suspensie, adică:

$$\bar{E}_p^a = \bar{E}_m^a = \bar{E}^a = \tilde{\bar{E}} + \frac{\tilde{\bar{P}}}{3\epsilon_0} = \tilde{\bar{E}} + \left( \frac{\tilde{\bar{P}}_m}{3\epsilon_0} + \frac{\tilde{\bar{P}}_p}{3\epsilon_0} \right) . \quad (1.3.12)$$

Din (1.1.1), (1.1.3), (1.3.12), rezultă pentru permisitivitatea statică efectivă a LM expresia de calcul alternativă (1.2.12) și forma explicită:

$$\epsilon = \epsilon_0 \epsilon_r = \epsilon_0 + (n_m^V \alpha_m + n_p^V \alpha_p) [1 - (n_m^V \alpha_m + n_p^V \alpha_p) / 3\epsilon_0]^{-1} , \quad (1.3.13)$$

care se mai scrie:

$$(\epsilon_r - 1) / (\epsilon_r + 2) = (n_m^V \alpha_m + n_p^V \alpha_p) / 3\epsilon_0 , \quad (1.3.14)$$

adică ecuația Clausius-Mossotti pentru amestecuri bifazice de dielectriți nepolari [B4,T3]. Ea exprimă o relație între permisitivitatea relativă statică efectivă  $\epsilon_r$ , reprezentând un parametru constitutiv macroscopic al LM și polarizabilitățile statice dipolare (în acest caz, scalare și de tip deformational)  $\alpha_m$ ,  $\alpha_p$ , reprezentând parametri microscopici ai celor două faze componente

ale LM.

Toate formulele permitivității statice efective a LM deduse mai sus (1.3.4), (1.3.11) și (1.3.14), în diverse aproximări ale cîmpului electric activ, ignoră SDE de tip Stern asociat particulelor coloidale suspendate și mecanismul său specific de polarizare statică.

### 1.3.1. Cazul particulelor sferice cu strat dublu electric.

#### Efectul polidispersiei

Studiul polarizării în cîmp electrostatic uniform a SDE de tip Stern, atașat particulelor coloidale sferice, se efectuează considerind mediu material al contraionilor din stratul Stern ca un mediu electrodifuziv [T4] asociat suprafetei sferice exterioare (de rază  $r = R + \delta$ ) a stratului Stern și aflat în echilibru electrostatic, adică în condiția unei densități superficiale de curent nule a contraionilor ce îl constituie [D2, G1, T4]:

$$\bar{J}_c + \bar{Y}_c = 0 , \quad (1.3.15)$$

unde  $\bar{J}_c = -\rho_s^S b_c [\text{grad}_\theta \phi(r, \theta)]_{r=R+\delta} \quad (1.3.16)$

reprezintă componenta de conductie a densității superficiale de curent a contraionilor,  $b_c$  fiind mobilitatea superficială a acestora,  $(\text{grad}_\theta)_{r=R+\delta} = (\partial/\partial\theta)/(R+\delta)$ , gradientul tangențial la suprafață sferică exterioară a stratului Stern, iar  $\phi(R+\delta, \theta)$ , potențialul electrostatic în lungul aceleiași suprafete;

$$\bar{Y}_c = -d_c [\text{grad}_\theta \rho_s^S]_{r=R+\delta} = -C_b k_B T / q_c [\text{grad}_\theta \rho_s^S]_{r=R+\delta} \quad (1.3.17)$$

definește componenta de difuzie a densității superficiale de curent a contraionilor,  $d_c$  fiind difuzivitatea superficială a acestora,  $k_B = 1,3807 \times 10^{-23}$  (J/K), constanta lui Boltzmann,  $T$ , temperatură absolută, iar  $q_c$ , sarcina electrică (pozitivă) a unui contraion.

Condiția de echilibru electrostatic (1.3.15) înseamnă, aşadar, compensarea reciprocă a componentelor de conductie și de difuzie ale densității superficiale de curent a contraionilor din stratul Stern, în prezența unui cîmp electric static și uniform. Cu definițiile anterioare (1.3.16), (1.3.17), această condiție

se poate exprima în forma

$$\left\{ \text{grad}_\theta [\phi(r, \theta) + (k_B T / q_c) \ln \rho_s^S] \right\}_{r=R+\delta} = 0. \quad (1.3.18)$$

Ecuatia (1.3.18) se integrează imediat, furnizind

$$\rho_s^S(\theta) = \rho_{s,0}^S \exp(-q_c \phi(R+\delta, \theta) / k_B T), \quad (1.3.19)$$

adică o repartiție de tip Boltzmann a densității supraficiale de sarcină a contraiionilor, în prezența cîmpului electrostatic uniform. În relația anterioară (1.3.19),  $\rho_{s,0}^S$  reprezintă densitatea superficială constantă a distribuției de sarcină a contraiionilor, în absența cîmpului electrostatic.

Dacă se limitează la ordinul intuii dezvoltarea în serie MacLaurin a repartiției Boltzmann (1.3.19), rezultă aproximarea liniară:

$$\begin{aligned} \rho_s^S &= \rho_{s,0}^S \exp(-q_c \phi(R+\delta, \theta) / k_B T) \approx \rho_{s,0}^S (1 - q_c \phi(R+\delta, \theta) / k_B T) \\ &= \rho_{s,0}^S + \delta \rho_s^S, \end{aligned} \quad (1.3.20)$$

unde  $\delta \rho_s^S = -\rho_{s,0}^S q_c \phi(R+\delta, \theta) / k_B T$  semnifică perturbația în densitatea superficială de sarcină electrică a contraiionilor din stratul Stern sub acțiunea componentei tangențiale a cîmpului electric activ.

Să deducem, în continuare, expresia momentului dipolar inducțional al particulei coloidale sferice cu strat Stern atașat. Conform modelului din fig. 1.3.2, particula sferică 1, de rază  $r = R$  și permisivitate statică  $\epsilon_p$ , posedă la suprafața ei un strat Stern de formă unei coji sferice concentrice 2, de grosime  $\delta$  și de permisivitate statică  $\epsilon_s$ . Particula coloidală cu strat Stern atașat este imersată în mediul lichid de suspensie 3, de permisivitate statică  $\epsilon_m$  și se află în prezența cîmpului electric activ (static și uniform)  $\bar{E}_p^a$ , dirijat în lungul axei pozitive Oz. Datorită simetriei în raport cu această axă (simetrie azimutală) soluția ecuației Laplace (în coordonate sferice) pe care o satisfacă potențialul electrostatic în cele trei medii dielectrice anterioar definite, omogene și fără distribuție volumică de sarcină, este:

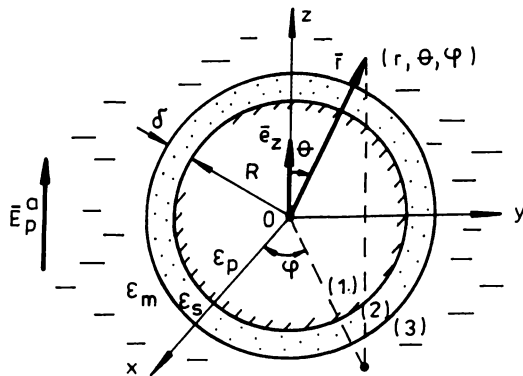


Fig. 1.3.2. Particulă coloidală sferică înconjurată cu strat Stern, imersată în mediul lichid de suspensie și aflată în prezența cimpului electric activ.

$$\phi_k(r, \theta) = \sum_{n=0}^{\infty} (A_{kn} r^n + B_{kn} r^{-(n+1)}) P_n(\cos\theta), \quad k=1,2,3, \quad (1.3.21)$$

unde  $P_n(\cos\theta)$  sunt polinoamile Legendre.

Condițiile la limită impuse potențialelor electrostatice  $\phi_k(r, \theta)$ ,  $k=1,2,3$ , din (1.3.21) sunt următoarele:

(i) condiția la infinit:

$$(\phi_s(r, \theta))_{r \rightarrow \infty} = -E_p^a r \cos\theta, \quad (1.3.22)$$

în ipoteza unui cimp electrostatic uniform, egal cu cimpul activ  $E_p^a$ , la distanțe suficiente de mari de particula coloidală considerată. Această condiție implică în (1.3.21)

$$A_{31} = -E_p^a \quad \text{și} \quad A_{3n} = 0, \quad \text{pentru } n \neq 1; \quad (1.3.23)$$

(ii) condiția de nesingularitate a potențialului  $\phi_i$  în centrul ( $r=0$ ) particulei sférici, ceea ce revine la

$$B_{1n} = 0, \quad n \geq 0; \quad (1.3.24)$$

(iii) condiția de continuitate a potențialului electrostatic, respectiv de discontinuitate a componentei normale (radiale) a inducției electrice, la interfața ( $r=R$ ) particulă coloidală – strat Stern atașat:

$$A_{1n} R^n - A_{zn} R^n - B_{zn} R^{-(n+1)} = 0, \quad n \geq 0, \quad (1.3.25)$$

respectiv

$$\sum_{n=0}^{\infty} [A_{1n} n R^{n-1} \epsilon_p - A_{2n} n R^{n-1} \epsilon_s + B_{2n} (n+1) R^{-(n+2)} \epsilon_s] P_n(\cos\theta) = \rho_p^s \quad (1.3.26)$$

(iv) condiția de continuitate a potențialului electrostatic, respectiv de discontinuitate a componentei radiale a inducției electrice la interfață ( $r=R+\delta$ ) strat Stern atașat particulei coloidale - mediu lichid de suspensie:

$$\begin{aligned} & \sum_{n=0}^{\infty} [A_{2n} (R+\delta)^n + B_{2n} (R+\delta)^{-(n+1)}] P_n(\cos\theta) \\ &= -E_p^a (R+\delta) \cos\theta + \sum_{n=0}^{\infty} B_{3n} (R+\delta)^{-(n+1)} P_n(\cos\theta) \quad (1.3.27) \end{aligned}$$

respectiv

$$\begin{aligned} & \sum_{n=0}^{\infty} [A_{2n} n (R+\delta)^{n-1} \epsilon_s - B_{2n} (n+1) (R+\delta)^{-(n+1)} \epsilon_s] P_n(\cos\theta) \\ &+ \epsilon_m E_p^a \cos\theta + \sum_{n=0}^{\infty} B_{3n} (n+1) (R+\delta)^{-(n+2)} \epsilon_m P_n(\cos\theta) = \rho_s^s, \\ & + (\rho_{s,o}^s q_c / k_B T) [E_p^a (R+\delta) \cos\theta - \sum_{n=0}^{\infty} B_{3n} (R+\delta)^{-(n+1)} P_n(\cos\theta)], \quad (1.3.28) \end{aligned}$$

în aproximarea liniară (1.3.20).

Prin particularizarea  $n = 0$  a relațiilor (1.3.26) și (1.3.28), rezultă:

$$B_{30} = [R^2 \rho_p^s + (R+\delta)^2 \rho_{s,o}^s] [\epsilon_m + (R+\delta) \rho_{s,o}^s q_c / k_B T]^{-1} \approx 0, \quad (1.3.29)$$

în ipoteza cvasi-electroneutralității globale a particulei coloidale sféricе cu strat Stern atașat, în absențа cimpului electrostatic,  $4\pi [R^2 \rho_p^s + (R+\delta)^2 \rho_{s,o}^s] \approx 0$ .

Eliminând succesiv constantele necunoscute  $A_{11}$ ,  $A_{21}$ ,  $B_{21}$  între relațiile (1.3.25)-(1.3.28) particularizate pentru  $n = 1$ , se obține:

$$B_{31} = (R+\delta)^3 (\epsilon_p - \epsilon_m) [\epsilon_m + (\epsilon_p - \epsilon_m) / 3]^{-1} E_p^a / 3, \quad (1.3.30)$$

unde s-au introdus notațiile

$$\epsilon_{pe} = \epsilon_s (1+2\kappa) / (1-\kappa) + (R+\delta) \rho_{s,o}^s q_c / k_B T, \quad (1.3.31)$$

$$\kappa = (\epsilon_p - \epsilon_s) / (\epsilon_p + 2\epsilon_s) (1+\delta/R)^3. \quad (1.3.32)$$

Pentru orice valoare  $n > 1$ , sistemul omogen cu necunoscutele ( $A_{1n}$ ,  $A_{2n}$ ,  $B_{2n}$ ,  $B_{3n}$ ), obținut din condițiile (1.3.25)-(1.3.28), are determinantul nenul și, ca urmare, admite doar soluția banală (0, 0, 0, 0).

Din cele precedente rezultă, pentru potențialul electrostatic  $\phi_s(r, \theta)$  în regiunea din exteriorul particulei sferice cu strat Stern atașat, expresia :

$$\phi_s(r, \theta) = -E_p^a r \cos\theta + B_{31} \cos\theta / r^2 . \quad (1.3.33)$$

Relațiile (1.3.30)-(1.3.33) permit identificarea intensității  $p_{pe}$  a momentului dipolar inducție echivalent al particulei coloidale sferice cu strat Stern atașat:

$$p_{pe} = 4\pi \epsilon_m B_{31} = \alpha_{pe} E_p^a = V_p \epsilon_m \beta_{pe} E_p^a , \quad (1.3.34)$$

unde

$$\alpha_{pe} = (1+\delta/R)^3 V_p \epsilon_m (\epsilon_{pe} - \epsilon_m) [\epsilon_m + (\epsilon_{pe} - \epsilon_m)/3]^{-1} = V_p \epsilon_m \beta_{pe} \quad (1.3.35)$$

dă definește polarizabilitatea dipolară echivalentă a unei astfel de particule cu  $\beta_{pe} = (1+\delta/R)^3 (\epsilon_{pe} - \epsilon_m) [\epsilon_m + (\epsilon_{pe} - \epsilon_m)/3]^{-1}$ , coeficientul adimensional de polarizabilitate al particulei.

Să constată că momentul dipolar inducție echivalent  $\bar{p}_{pe}$ , al particulei coloidale sferice încărcate și având strat Stern atașat, este proporțional și omoparalel cu cîmpul activ  $\bar{E}_p^a$ . De asemenea,  $\bar{p}_{pe}$  încorporează, prin permittivitatea statică echivalentă (1.3.31) a particulei sferice cu strat Stern, contribuția datorată contracionilor din acest strat.

În aproximarea stratului Stern subțire,  $\delta \rightarrow 0$ ,  $\epsilon_s = \epsilon_p$ ,  $x = 0$ , astfel că (1.3.31) devine

$$\epsilon_{pe} = \epsilon_p + R \rho_{s,o}^S q_c / k_B T . \quad (1.3.36)$$

Cazul particulei coloidale sferice neîncărcate și fără strat Stern atașat presupune:  $\delta \rightarrow 0$ ,  $\epsilon_s = \epsilon_p$ ,  $x = 0$ , și  $\rho_{s,o}^S = 0$ , astfel că  $\epsilon_{pe} \rightarrow \epsilon_p$ ,  $\beta_{pe} \rightarrow \beta_p$  și, deci, relația (1.3.34) degenerăză în (1.3.1).

Introducind expresia (1.3.34) în definiția teoretică a permittivității statice efective a LM (1.2.10), se obține o relație ce generalizează pe (1.3.3):

$$\epsilon = \epsilon_m \left( 1 + \varphi_p \beta_{pe} E_p^a / \tilde{E} \right) . \quad (1.3.37)$$

În ipoteza  $E_p^a \approx \tilde{E}$ , din (1.3.37) rezultă o formulă de tip Rayleigh-Wagner pentru permittivitatea statică efectivă a LM cu particule coloidale sferice încărcate, polarizate individual și

avind strat Stern atașat:

$$\epsilon = \epsilon_m (1 + \varphi_p \beta_{pe}) . \quad (1.3.38)$$

Pentru cîmpul electric activ  $\bar{E}_p^a$  de forma (1.3.9), expresia (1.3.34) devine

$$P_{pe} = V_p \epsilon_m \beta_{pe} \tilde{E} (1 - \varphi_p \beta_{pe} / 3)^{-1} . \quad (1.3.39)$$

Cu (1.3.39) în (1.2.10), se obține o formulă de tip Maxwell-Garnett pentru permitivitatea statică efectivă a LM cu particule coloidale sferice încărcate și, avind strat Stern la suprafața lor:

$$\epsilon = \epsilon_m [1 + \varphi_p \beta_{pe} (1 - \varphi_p \beta_{pe} / 3)^{-1}] . \quad (1.3.40)$$

În sfîrșit, în ipoteza cîmpului activ Lorentz (1.3.12), rezultă din (1.2.12) și (1.3.34) ecuația de tip Clausius-Mossotti:

$$(\epsilon_r - 1) / (\epsilon_r + 2) = (n_m^\vee \alpha_m + n_p^\vee \alpha_{pe}) / 3\epsilon_0 . \quad (1.3.41)$$

Relațiile (1.3.38), (1.3.40), (1.3.41), deduse mai sus pentru permitivitatea statică efectivă a LM cu particule coloidale sferice, generalizează pe (1.3.4), (1.3.11), respectiv (1.3.14).

Studiul polarizării statice a LM cu particule sferice de magnetită în petrol și acid oleic ca surfactant s-a efectuat în ipoteza sistemului coloidal monodispers. Din analiza micrograficilor electronice ale LM reale din clasa considerată, rezultă, însă, că particulele magnetice suspendate nu sunt egale ca mărime și că funcția statistică lognormală descrie bine distribuția dimensională experimentală a particulelor [B3, O4].

În scopul determinării efectului polidispersiei LM asupra permitivității lui statice efective, se consideră o distribuție normalizată continuă a razelor particulelor coloidale, admise sferice, din LM. Fie aceasta distribuția lognormală

$$f_{LN}(x) = (\lambda_{LN} / \pi)^{1/2} \exp[-\lambda_{LN} (\ln x)^2] / x , \quad (1.3.42)$$

caracterizată de parametrul  $\lambda_{LN}$  ( $\lambda_{LN} \rightarrow \infty$ , în cazul LM monodispers) astfel încît  $n_p^\vee f_{LN}(x) dx$  reprezintă densitatea numerică a particulelor sferice cu razele cuprinse între  $xR$  și  $(x+dx)R$ . Fracția volumică totală a particulelor coloidale sferice din LM rezultă, atunci, de forma

$$(4\pi/3) n_p^{V_R^3} \int_0^\infty x^3 f_{LN}(x) dx = \varphi_p \exp(9/4\lambda_{LN}) , \quad (1.3.43)$$

în care s-a introdus expresia de calcul a momentului de selecție de ordinul 3 al repartiției lognormale (1.3.42) [F4, G3, 04, R1].

Conform relației anterioare (1.3.43), în expresiile (1.3.4), (1.3.11), (1.3.14), respectiv (1.3.38), (1.3.40), (1.3.41) ale permisibilității statice efective și a LM cu particule sféricе, trebuie aplicată corecția de polidispersie a LM:

$$\varphi_p \beta_{p(e)} \rightarrow \alpha_p \beta_{p(e)} \exp(9/4\lambda_{LN}) , \quad (1.3.44)$$

în ipoteza că parametrii  $\varphi_p$  și  $\beta_{p(e)}$  nu depind de variabila aleatoare adimensională  $x$ .

### 1.3.2. Cazul dubletului de particule sféricе

În paragrafele anterioare s-au studiat mecanisme de polarizare de tip deformațional, intrinseci particulei coloidale sféricе și stratului Stern asociat ei. De interacțiunea electrostatică a particulelor sféricе suspendate din LM s-a ținut seama, într-o carecare măsură, la calculul cîmpului activ  $\bar{E}_p^a$  conform (1.3.9) sau (1.3.12). Micrografiile electronice au confirmat, însă, că în cazul LM suficient de diluate, interacțiunea slabă a particulelor sféricе suspendate poate determina ordonarea lor locală limitată sub formă de agregate mici, constînd, cel mai adesea, din perechi (dublete) de particule. Dubletul de particule sféricе suspendate (dimerul) poate fi preexistent sau se poate forma prin atracția electrostatică a două particule adiacente, ce se polarizează în cîmpul activ  $\bar{E}_p^a$  [E1].

În cele ce urmează, se studiază polarizarea statică mutuală a particulelor coloidale din LM diluate pe modelul dubletului de particule sféricе în interacțiune electrostatică dipolară. Se consideră, astfel, perechea (dubletul) de particule coloidale adiacente, identice, de forma unor sfere de rază  $r = R$ , avînd vectorul  $\vec{l} = \vec{l}_{12}$  al liniei centrelor lor inclinat cu unghiul  $\gamma$  față de direcția cîmpului electric activ  $\bar{E}_p^a$  (fig.1.3.3).

Să admite că  $|\vec{l}| = l \geq 2(R+\delta)$ , adică particulele coloidale din cadrul dubletului sănt apropiate pînă la, cel mult, limita straturilor Stern atașate, fără suprapunerea acestora.

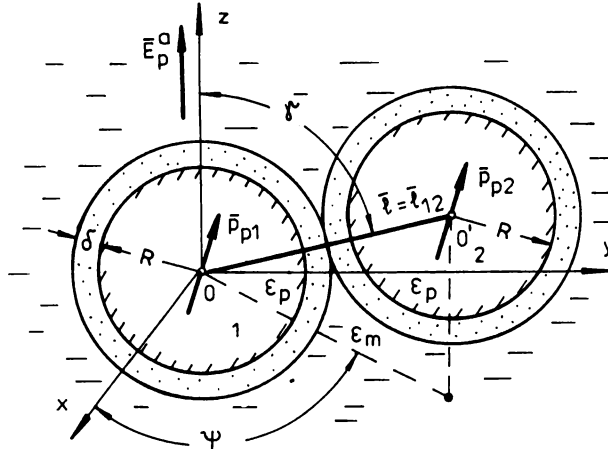


Fig. 1.3.3. Dublet de particule coloidale sferice imersate in mediul lichid de suspensie si aflate in prezență cîmpului electric activ.

În prezență unui cîmp electrostatic uniform, particula coloidală sferică 1 din dublet se polarizează sub acțiunea atât a cîmpului activ  $\bar{E}_p^0$ , cât și a cîmpului creat de momentul dipolar induș  $\bar{P}_{pz}$  al particulei 2, adiacentă ei în cadrul dubletului. Momentul dipolar rezultant induș în particula sferică 1 are, astădat, expresia

$$\bar{P}_{p1} = \alpha_{p(e)} (\bar{E}_p^0 + \mathbb{U}_{1z} \bar{P}_{pz}) , \quad (1.3.45)$$

unde  $\mathbb{U}_{1z}$  reprezintă operatorul de interacțiune electrică dipolară a celor două particule coloidale sferice din dublet:

$$\mathbb{U}_{1z} \bar{P}_{pz} = [3(\bar{P}_{p1} \cdot \bar{l}_{1z}) \bar{l}_{1z} / l^{12} - \bar{P}_{pz}] / 4\pi\epsilon_m l^3 . \quad (1.3.46)$$

La rîndul ei, polarizabilitatea dipolară echivalentă  $\alpha_{p(e)}$  din relația anterioară (1.3.45) se definește conform (1.3.2), respectiv (1.3.35) în cazul particulelor sferice cu SDE atașat.

O relație analogă cu (1.3.45) se poate scrie pentru momentul electric dipolar induș în particula sferică 2 din dublet:

$$\bar{P}_{pz} = \alpha_{p(e)} (\bar{E}_p^0 + \mathbb{U}_{2z} \bar{P}_{p1}) . \quad (1.3.47)$$

că

$$\mathbb{U}_{2z} \bar{P}_{p1} = [3(\bar{P}_{p1} \cdot \bar{l}_{2z}) \bar{l}_{2z} / l^{12} - \bar{P}_{p1}] / 4\pi\epsilon_m l^3 \quad (1.3.48)$$

și  $\bar{l}_{2z} = -\bar{l}_{1z}$ .

Din (1.3.45)-(1.3.48) se obține ecuația vectorială:

$$\begin{aligned}\bar{P}_{p_1} &= \alpha_{p(e)} \bar{E}_p^a + \alpha_{p(e)}^2 \bar{T}_{12} \bar{E}_p^a + \alpha_{p(e)}^2 \bar{T}_{12} (\bar{T}_{21} \bar{P}_{p_1}) \\ &= \alpha_{p(e)} \left( 1 - \alpha_{p(e)} / 4\pi\epsilon_m l^3 \right) \bar{E}_p^a + \left( 3\alpha_{p(e)}^2 / 4\pi\epsilon_m l^3 \right) (\bar{E}_p^a \cdot \bar{T}_{12}) \bar{T}_{12} \\ &\quad + \left( \alpha_{p(e)} / 4\pi\epsilon_m l^3 \right) \bar{P}_{p_1} + 3 \left( \alpha_{p(e)} / 4\pi\epsilon_m l^3 \right)^2 (\bar{P}_{p_1} \cdot \bar{T}_{12}) \bar{T}_{12} / l^2, \quad (1.3.49)\end{aligned}$$

Care prin multiplicare scalară cu  $\bar{T}_{12}$  în ambii membri conduce la

$$\bar{P}_{p_1} \cdot \bar{T}_{12} = \alpha_{p(e)} \left( 1 - \alpha_{p(e)} / 2\pi\epsilon_m l^3 \right)^{-1} \bar{E}_p^a \cdot \bar{T}_{12}. \quad (1.3.50)$$

Introducind (1.3.50) în (1.3.49), rezultă, în final, expresia momentului dipolar inducță în particula coloidală sferică 1:

$$\begin{aligned}\bar{P}_{p_1} &= \alpha_{p(e)} \bar{E}_p^a + \left( \alpha_{p(e)}^2 / 4\pi\epsilon_m l^3 \right) \left( 1 + \alpha_{p(e)} / 4\pi\epsilon_m l^3 \right)^{-1} \\ &\quad [3 \left( 1 - \alpha_{p(e)} / 2\pi\epsilon_m l^3 \right)^{-1} (\bar{E}_p^a \cdot \bar{T}_{12}) \bar{T}_{12} / l^2 - \bar{E}_p^a] = \bar{P}_{p(e)} + \bar{P}_p^d. \quad (1.3.51)\end{aligned}$$

În relația anterioară (1.3.51) s-a evidențiat pe lîngă momentul dipolar inducță  $\bar{P}_{p(e)} = \alpha_{p(e)} \bar{E}_p^a$  al particulei sferice polarizate static independent ( $\bar{P}_{p(e)}$  având expresia dezvoltată (1.3.1), respectiv (1.3.34)) și momentul dipolar inducță suplimentar  $\bar{P}_p^d$ , datorat interacțiunii electrostatice dipolare a particulelor sferice adiacente din dublet.

Conform (1.3.51),  $\bar{P}_{p_1}$  nu este, în general omoparalel cu cîmpul electric activ  $\bar{E}_p^a$ , astfel că asupra particulei sferice 1 din dublet se exercită de către acest cîmp un cuplu de modul

$$\begin{aligned}|\bar{P}_{p_1} \times \bar{E}_p^a| &= \left( 3\alpha_{p(e)}^2 / 8\pi\epsilon_m l^3 \right) \left( 1 + \alpha_{p(e)} / 4\pi\epsilon_m l^3 \right)^{-1} \\ &\quad \times \left( 1 - \alpha_{p(e)} / 2\pi\epsilon_m l^3 \right)^{-1} (E_p^a)^2 \sin 2\gamma, \quad (1.3.52)\end{aligned}$$

Care tende să orienteze particula, astfel încît linia centrelor celor două particule sferice din cadrul dubletului să ajungă paralelă cu direcția cîmpului activ  $\bar{E}_p^a$ . Acest cuplu de electroorientare este maxim pentru  $\gamma = \pm \pi/4$  și nul pentru  $\gamma = 0$  și  $\gamma = \pm \pi/2$ , adică atunci cînd vectorul  $\bar{T}$  al liniei centrelor celor două particule sferice este paralel, respectiv ortogonal, cu  $\bar{E}_p^a$ . Starea pentru  $\gamma = \pm \pi/2$  fiind instabilă, se poate excepta.

O expresie analogă cu (1.3.52) se obține pentru modulul cuplului exercitat de cimpul  $\bar{E}_p^a$  asupra particulei sferice 2 din dublet. Ambele cupluri rotesc particulele sferice ale perechii în același sens și în planul determinat de vectorii  $\bar{E}_p^a$  și  $\bar{l}$ .

Se poate conchide, că dubletului de particule coloidale sferice în interacțiune dipolară îi este specific un mecanism de polarizare statică de tip orientațional. Corespunzător acestuia, momentul dipolar induc mediu  $\bar{p}_p^a$  al particulelor coloidale sferice asociate în dublete are intensitatea egală cu media statistică la echilibru termic  $[R_1, T_2, V_1]$ :

$$\begin{aligned} \langle \bar{p}_{p_1} \cdot \bar{E}_p^a / E_p^a \rangle &= \int d\tau (\bar{p}_{p_1} \cdot \bar{E}_p^a / E_p^a) \exp(-W_p / k_B T) \\ &\quad [\int d\tau \exp(-W_p / k_B T)]^{-1}, \end{aligned} \quad (1.3.53)$$

unde  $d\tau$  reprezintă elementul de volum din spațiul coordonatelor pozitionale și orientaționale ale particulei coloidale sferice considerate, iar  $W_p$  definește energia potențială totală a particulei în configurația (starea)  $\tau$ . În cazul de față  $W_p$ , insu-meză două contribuții principale: (i) energia datorită prezenței cimpului electric activ  $\bar{E}_p^a$ ,

$$W_i = -\bar{p}_{p_1} \cdot \bar{E}_p^a / 2 \quad (1.3.54)$$

și (ii) energia de interacțiune electrostatică dipolară cu particula adiacentă din dublet,

$$W_{ii}^d = -\bar{p}_{p_1} \cdot (\bar{p}_{p_2} \bar{p}_{p_2}). \quad (1.3.55)$$

Să precizează că în (1.3.53) energia potențială datorită repulsiei entropice a SDE atașate particulelor coloidale s-a neglijat, întrucît, prin ipoteză,  $1 \geq 2(R+6)$ .

Medierea statistică (1.3.53) se efectuează pe ansamblul dimenzionat al particulelor coloidale sferice din volumul infinit mic fizic  $V$  de LM, în următoarele ipoteze simplificatoare:

- interacțiunile dintre dubletele de particule conținute în  $V$  se neglijă;
- nu există nici o corelație între configurația dubletului și distribuția contracionilor din SDE atașate particulelor acestuia;
- distanța dintre centrele celor două particule sferice ale

perechii este specificată prin  $|\bar{l}_{12}| = 1 = \text{const.}$

Că urmăre, în (1.3.53) se va integra numai în raport cu variabilele orientaționale ale particulei 1 considerate, adică

$$\int d\tau = \int_0^{\pi} d\psi \int_0^{\pi} d(\cos\gamma), \quad (1.3.56)$$

$\psi$  fiind unghiul dintre axa  $x$  a unui plan  $xOy$  ortogonal la  $\bar{E}_p^a$  și proiecția lui  $\bar{l}_{12} = \bar{l}$  pe acest plan (fig. 1.3.3).

Din (1.3.51) și (1.3.53) se deduce:

$$\begin{aligned} \langle \bar{p}_{p1} \cdot \bar{E}_p^a / E_p^a \rangle &= \alpha_{p(e)}^d E_p^a + \langle \bar{p}_p^d \cdot \bar{E}_p^a / E_p^a \rangle \\ &= (\alpha_{p(e)} + \tilde{\alpha}_{p(e)}^d) E_p^a = v_p \epsilon_m (\beta_{p(e)} + \tilde{\beta}_{p(e)}^d) E_p^a, \end{aligned} \quad (1.3.57)$$

unde

$$\begin{aligned} \tilde{\alpha}_{p(e)}^d &= (\alpha_{p(e)}^z / 4\pi\epsilon_m l^3) (1 + \alpha_{p(e)} / 4\pi\epsilon_m l^3)^{-1} \\ [3(1 - \alpha_{p(e)} / 2\pi\epsilon_m l^3)^{-1} \langle \cos^2\gamma \rangle - 1] &= v_p \epsilon_m \tilde{\beta}_{p(e)}^d = \\ v_p \epsilon_m (R/l)^3 (\beta_{p(e)}^z / 3) [1 + (R/l)^3 (\beta_{p(e)} / 3)]^{-1} & \\ \left\{ 3[1 - 2(R/l)^3 (\beta_{p(e)} / 3)]^{-1} \langle \cos^2\gamma \rangle - 1 \right\} & \end{aligned} \quad (1.3.58)$$

rezintă polarizabilitatea statică medie suplimentară a particulelor coloidale sférici datorită interacțiunii lor dipolare din cadrul dubletului. În relația anterioară (1.3.58),  $\beta_{p(e)}$  sunt definite (1.3.2), respectiv (1.3.35), iar

$$\begin{aligned} \langle \cos^2\gamma \rangle &= \int_0^{\pi} d\psi \int_0^{\pi} \cos^2\gamma \exp(-w_p/k_B T) d(\cos\gamma) \\ &= \left[ \int_0^{\pi} d\psi \int_0^{\pi} \exp(-w_p/k_B T) d(\cos\gamma) \right]^{-1} \\ &= \int_0^{\pi} \cos^2\gamma [1 - (w_p/k_B T) + (w_p/k_B T)^2/2 - \dots] d(\cos\gamma) \\ &\quad \left\{ \int_0^{\pi} [1 - (w_p/k_B T) + (w_p/k_B T)^2/2 - \dots] d(\cos\gamma) \right\}^{-1} \\ &= \int_0^{\pi} \cos^2\gamma [1 + s \cos^2\gamma + (s^2 \cos^4\gamma)/2 + \dots] d(\cos\gamma) \\ &\quad \left\{ \int_0^{\pi} [1 + s \cos^2\gamma + (s^2 \cos^4\gamma)/2 + \dots] d(\cos\gamma) \right\}^{-1} \\ &= [(2/3) + (2/5)s + \dots] [2 + (2/3)s + \dots]^{-1} \end{aligned}$$

$$= (1/3) + (4/45)s + \dots, \quad (1.3.59)$$

unde s-a dezvoltat în serie Maclaurin funcția exponențială a integrandului și s-a făcut explicitarea

$$\begin{aligned} - W_p &= \bar{p}_{p1} \cdot \bar{E}_p^a / 2 + \alpha_{p(e)} \bar{p}_{p1} \\ &\times [T_{12} (1 + \alpha_{p(e)} T_{21} + \alpha_{p(e)}^2 T_{21} T_{12} + \dots) \bar{E}_p^a], \end{aligned} \quad (1.3.60)$$

reținindu-se doar primii doi termeni din seria rapid convergentă aflată între paranteze, astfel că a rezultat din calcul parametrul adimensional

$$s = V_p \epsilon_m K_s (\bar{E}_p^a)^2 / 2k_B T \quad (1.3.61)$$

cum

$$\begin{aligned} K_s &= (R/1)^3 \beta_{p(e)}^2 [4(R/1)^a (\beta_{p(e)} / 3)^2 + 2(R/1)^3 (\beta_{p(e)} / 3) + 3] \\ &\times [1 + (R/1)^3 (\beta_{p(e)} / 3)]^{-1} [1 - 2(R/1)^3 (\beta_{p(e)} / 3)]^{-1}. \end{aligned} \quad (1.3.62)$$

Introducind (1.3.57) în definiția teoretică a permisivității statice efective a LM (1.2.10), se obține:

$$\epsilon = \epsilon_m (1 + \varphi_p \tilde{\beta}_{pe} \bar{E}_p^a / \bar{E}) \quad (1.3.63)$$

cum  $\tilde{\beta}_{pe} = \beta_{p(e)} + \beta_{p(e)}^d$ , coeficientul adimensional al polarizabilității statice dipolare medie a particulelor coloidale sferice grupate perechi. Conform (1.3.58), este evident că  $\beta_{pe} \rightarrow \beta_{p(e)}$  (respectiv,  $\beta_{p(e)}^d \rightarrow 0$ ) pentru  $(R/1) \rightarrow 0$ , adică în cazul particulelor coloidale sferice singulare.

Pe de altă parte, din (1.3.58) și (1.3.59) rezultă că la limita  $s \ll 1$ ,  $\tilde{\beta}_{pe}$  variază cu pătratul intensității cimpului electric activ:

$$\begin{aligned} (\tilde{\beta}_{pe})_{s \ll 1} &= \beta_{p(e)} + (R/1)^3 (\beta_{p(e)}^2 / 3) [1 + (R/1)^3 (\beta_{p(e)} / 3)]^{-1} \\ &\times \left\{ [1 - 2(R/1)^3 (\beta_{p(e)} / 3)]^{-1} [1 + (2V_p \epsilon_m K_s / 15k_B T) (\bar{E}_p^a)^2]^{-1} \right\}, \end{aligned} \quad (1.3.64)$$

unde factorul adimensional  $K_s$  are definiția (1.3.62).

În ipoteza  $\bar{E}_p^a \approx \bar{E}$ , din (1.3.63) se obține pentru permisivitatea statică efectivă a LM cu particule coloidale sferice

asociate în dubletă:

$$\varepsilon = \varepsilon_m (1 + \varphi_p \tilde{\beta}_{pe}). \quad (1.3.65)$$

Pentru cîmpul activ  $\bar{E}_p^a$  de forma (1.3.9), cu (1.3.57) și

$$\tilde{\beta}_{pe} = \beta_{p(e)} + \tilde{\beta}_{p(e)}^d \text{ în (1.2.10), rezultă:}$$

$$\varepsilon = \varepsilon_m [1 + \varphi_p \tilde{\beta}_{pe} / (1 - \varphi_p \tilde{\beta}_{pe} / 3)]. \quad (1.3.66)$$

În sfîrșit, în ipoteza cîmpului activ Lorentz (1.3.12), se deduce din (1.3.57), pentru LM conținînd particule coloidale sferice grupate perechi în interacțiune dipolară:

$$(\varepsilon_r - 1) / (\varepsilon_r + 2) = [n_m^V \alpha_m + n_p^V (\alpha_{p(e)} + \tilde{\alpha}_{p(e)}^d) / 3\varepsilon_0]. \quad (1.3.67)$$

Expresiile anterioare (1.3.65)-(1.3.67) pentru permisivitatea statică efectivă a LM, ca suspensie coloidală cu fază dispersă dimerizată, generalizează relațiile (1.3.4), (1.3.11) și (1.3.14), respectiv (1.3.38), (1.3.40) și (1.3.41).

### 1.3.3. Cazul lanțului lung de particule sferice

În prezența unui cîmp electrostatic uniform, suficient de intens, particulele coloidale din LM se pot distribui în lanțuri lungi. Pentru studiul acestui caz, se admit următoarele ipoteze simplificatoare:

- în cadrul fiecărui lanț lung coexistă  $n_{pl}$  particule sferice identice, aflate numai în interacțiune electrostatică dipolară de tip dublet;

- fiecare lanț lung de particule coloidale are formă unei bare rigide, astfel încît vectorul  $\vec{l}_{ij}$  ( $|l_{ij}| \geq 2(R+\delta)$ ) al liniei centrelor oricărora două particule sferice adiacente i și j din lanț este un vector coliniar cu axa de simetrie a lanțului (fig.1.3.40);

- interacțiunile electromagnetice dintre lanțurile de particule se neglijăază.

În ipotezele anterioare, expresia momentului electric dipolar induș al particulei coloidale sferice carecarea i din cadrul unui lanț lung se obține prin generalizarea relaiei (1.3.45):

$$\bar{p}_{pi} = \alpha_{pe} \bar{E}_p^a + \sum_{\substack{j=1 \\ j \neq i}}^{n_{pl}} p_{p,ij}^d, \quad (1.3.68)$$

unde polarizabilitatea statică dipolară  $\alpha_{pe}$  se definește conform (1.3.2), respectiv (1.3.35), iar

$$\begin{aligned} \bar{p}_{p,ij}^d &= (\alpha_{p(e)}^2 / 4\pi\epsilon_m l_{ij}^3) (1 + \alpha_{p(e)} / 4\pi\epsilon_m l_{ij}^3)^{-1} \\ &\times [-\bar{E}_p^a + 3(1 - \alpha_{p(e)} / 2\pi\epsilon_m l_{ij}^3)^{-1} (\bar{E}_p^a, \bar{l}_{ij}) \bar{l}_{ij} / l_{ij}^2] \end{aligned} \quad (1.3.69)$$

reprezintă momentul dipolar inducțional suplimentar al particulei  $i$ , datorat interacțiunii sale electrostatice dipolare (de tip dublet) cu orice altă particulă  $j$  ( $j = 1, n_{pl}, j \neq i$ ) din cadrul aceluiași lanț lung.

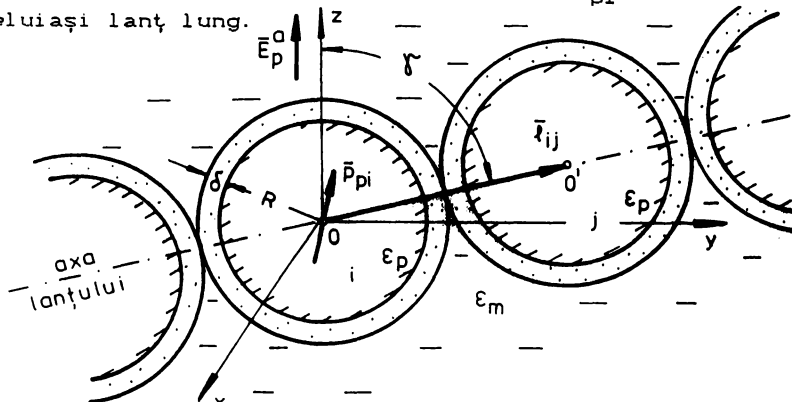


Fig.1.3.4. Lanț lung rigid de particule coloidale sféricе imersate în mediul lichid de suspensie și aflate în prezența cîmpului electric activ.

Din (1.3.68)-(1.3.69) rezultă că asupra particulelor coloidale sféricе dintr-un lanț lung și, ca urmare, asupra întregului lanț se exercită un cuplu de electroorientare, tinzind să aducă axa lanțului rigid de particule pe direcția cîmpului activ  $\bar{E}_p^a$  (mecanism de polarizare de tip orientațional). Corespunzător, polarizabilitatea statică dipolară medie a particulelor coloidale sféricе asociate în lanțuri lungi și coeficientul adimensional al acestei polarizabilități au expresii analoge cu (1.3.57)-(1.3.58):

$$\tilde{\alpha}_{pe}^l = \alpha_{p(e)} + \sum_{\substack{j=1 \\ j \neq l}}^{n_{pl}} \left\{ \left( \alpha_{p(e)}^2 / 4\pi\varepsilon_m l_{ij}^3 \right) \left( 1 + \alpha_{p(e)} / 4\pi\varepsilon_m l_{ij}^3 \right)^{-1} \times [3(1 - \alpha_{p(e)} / 2\pi\varepsilon_m l_{ij}^3)^{-1} \langle \cos^2 \gamma \rangle - 1] \right\}, \quad (1.3.70)$$

respectiv

$$\tilde{\beta}_{pe}^l = \beta_{p(e)} + (\beta_{p(e)}^2 / 3) \sum_{\substack{j=1 \\ j \neq l}}^{n_{pl}} \left\{ \left( R/l_{ij} \right)^3 \left( \beta_{p(e)} / 3 \right)^{-1} \times (3[1 - 2(R/l_{ij})^3 (\beta_{p(e)} / 3)^{-1} \langle \cos^2 \gamma \rangle - 1]) \right\}, \quad (1.3.71)$$

unde  $\beta_{p(e)}$  menține definiția (1.3.2), respectiv (1.3.35), iar media parametrului de ordonare orientațională se poate approxima prin

$$\langle \cos^2 \gamma \rangle = \langle \cos^2(\bar{E}_p^a, \bar{l}_{ij}) \rangle \approx 1/3 + k_\beta (E_p^a)^2, \quad (1.3.72)$$

întrucit raportul energetic ( $-W_p/k_B T$ ) rămîne mult inferior unității, chiar pentru cîmpuri electrostatice intenșe. În relația anterioară (1.3.72), constanta adimensională  $k_\beta$  are o expresie complicată.

Relațiile (1.3.65) - (1.3.67) se păstrează formal și pentru permitivitatea statică efectivă a LM cu particule sferice grupate în lanțuri lungi, dacă se face substituția simplă  $\tilde{\beta}_{pe} \rightarrow \tilde{\beta}_{pe}^l$  cu  $\tilde{\beta}_{pe}^l$  dat de (1.3.71).

#### 1.4. Polarizarea statică a lichidelor magnetice cu particule coloidale anizometrice

În cele precedente, LM s-a presupus un sistem dispers izometric, particulele coloidale în suspensie având formă sférică. Mecanismele specifice de polarizare statică au rezultat de tip deformațional, în cazul particulelor coloidale singulare, respectiv de tip deformațional și orientațional, în cazul agregatelor constituite din perechi sau lanțuri lungi de particule.

În continuare, se efectuează studiul polarizării statice a LM cu particule coloidale anizometrice, având forma sferoidului alungit, obținut prin rotația unei elipse în jurul axei sale mari.

Fie, astfel, o particulă sferoidală, neîncărcată electric și fără SDE atașat, cu centrul de simetrie și axele principale (axe de simetrie) coincidente cu originea O, respectiv cu axe Ox, Oy, Oz ale unui reper cartezian (fig.1.4.1.). Se asociază

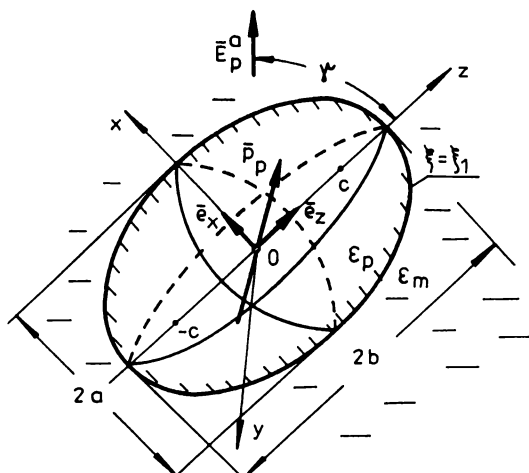


Fig.1.4.1. Particulă coloidală de formă sferoidului alungit, imersată în mediul lichid de suspensie și aflată în prezența cimpului electric activ.

particulei coloidale sistemul de coordonate ale sferoidului alungit ( $\xi$ ,  $\eta$ ,  $\psi$ ), definite în funcție de coordonatele  $x$ ,  $y$ ,  $z$ , prin ecuațiile [A2]:

$$x = c \operatorname{sh} \xi \sin \eta \cos \psi ,$$

$$y = c \operatorname{sh} \xi \sin \eta \sin \psi, \quad (1.4.1)$$

$$z = c \operatorname{ch} \xi \cos \eta,$$

$0 \leq \xi < \infty, 0 \leq \eta \leq \pi, 0 \leq \psi \leq 2\pi$ . Cele trei familii de suprafețe de coordonate reprezentă sferoizi alungiți confocali,

$$(x^2 + y^2)/c^2 \operatorname{sh}^2 \xi + z^2/c^2 \operatorname{ch}^2 \xi - 1 = 0, \xi = \text{const.}, \quad (1.4.2)$$

hiperboiloizi de rotație cu două pînze, confocali,

$$(x^2 + y^2)/c^2 \sin^2 \eta - z^2/c^2 \cos^2 \eta + 1 = 0, \eta = \text{const.}, \quad (1.4.3)$$

respectiv plane ce trec prin axa de rotație Oz,

$$y/x = \operatorname{tg} \psi, \psi = \text{const.} \quad (1.4.4)$$

La rîndul ei, suprafața particulei sferoidale se definește prin ecuația  $\xi = \xi_1$ . Constantele c și  $\xi_1$  rezultă din (1.4.2):

$$c \operatorname{sh} \xi_1 = a_1, c \operatorname{ch} \xi_1 = b_1, \quad (1.4.5)$$

dе unde  $c = (b_1^2 - a_1^2)^{1/2}$  și  $\xi_1 = \arg \operatorname{th}(a_1/b_1)$   $\quad (1.4.6)$

cu  $a_1$  reprezentînd lungimea semiaxelor mici (egale și aliniat cu Ox și Oy) ale particulei sferoidale,  $b_1$ , lungimea semiaxe sale mari (aliniată cu Oz), iar  $2c$ , distanța dintre focarele sale (situate pe Oz) (fig.1.4.1).

Să consideră că axa de simetrie Oz (de versor  $\bar{e}_z$ ) a particulei sferoidale este orientată arbitrar în raport cu cîmpul electric activ  $\bar{E}_p^a$ , static și uniform, presupus în planul xOz astfel încît

$$\bar{E}_p^a = E_{p,x}^a \bar{e}_x + E_{p,z}^a \bar{e}_z = \bar{E}_{p\parallel}^a + \bar{E}_{p\perp}^a, \quad (1.4.7)$$

unde  $\bar{E}_{p\parallel}^a = E_{p,z}^a \bar{e}_z = E_p^a \cos \gamma \bar{e}_z$  definește componenta vectorială longitudinală a cîmpului activ, avînd direcția axei Oz, iar  $\bar{E}_{p\perp}^a = E_{p,x}^a \bar{e}_x = E_p^a \sin \gamma \bar{e}_x$ , componenta vectorială transversală cîmpului activ, avînd direcția axei Ox (de versor  $\bar{e}_x$ ), deci orizontală axei Oz. Cu  $\gamma$  s-a notat unghiul dintre direcțiile vectorului cîmp  $\bar{E}_p^a$  și axei mari, aliniate cu Oz, a particulei sferoidale (fig.1.4.1).

Pentru determinarea momentului dipolar echivalent al particulei sferoidale  $\bar{P}_{p\parallel}$ , induș de componenta vectorială longitudinală

nală de cimp activ  $\bar{E}_{p\parallel}^a$  trebuie găsită soluția de potențial scalar  $\phi_{\parallel}^a$  la distanțe mari de sfEROIDUL ALUNGIT, dielectric (de permittivitate statică  $\epsilon_p$ ) neîncărcat, imersat într-un mediu de suspensie (de permittivitate statică  $\epsilon_m$ ) și polarizat în cimpul electrostatic uniform  $\bar{E}_{p\parallel}^a$  (avind direcția axei mari a sfEROIDULUI).

În domeniile (fără sarcini electrice de volum) din interiorul (i) și exteriorul (e) particulei sfEROIDALE SUSPENDEATE DIN LM, potențialul electrostatic  $\phi$  satisfac ecuația Laplace în coordonatele sfEROIDULUI ALUNGIT [A2,D7,P1]:

$$\Delta\phi(\xi, \eta, \psi) = \left\{ (\partial^2\phi/\partial\xi^2) + (\partial\phi/\partial\xi) \operatorname{cth}\xi \right. \\ \left. + (\partial^2\phi/\partial\eta^2) + (\partial\phi/\partial\eta) \operatorname{ctg}\eta \right\} (\operatorname{ch}^2\xi - \cos^2\eta)^2 \\ + (\partial^2\phi/\partial\psi^2)/c^2 \operatorname{sh}^2\xi \sin^2\eta = 0. \quad (1.4.8)$$

Datorită simetriei în raport cu axa de rotație Oz, soluția de potențial  $\phi_{\parallel}^a$  a ecuației (1.4.8), corespunzătoare componentei longitudinale de cimp electrostatic  $\bar{E}_{p\parallel}^a$ , nu depinde de unghiul azimutal  $\psi$ , fiind, deci, de forma:

$$\phi_{\parallel}^{(e)}(\xi, \eta) = \sum_{n=1}^{\infty} A_n^{\parallel} P_n(\operatorname{ch}\xi) P_n(\cos\eta) \quad (1.4.9)$$

$$\phi_{\parallel}^{(i)}(\xi, \eta) = \sum_{n=1}^{\infty} [B_n^{\parallel} P_n(\operatorname{ch}\xi) + C_n^{\parallel} \tilde{Q}_n(\operatorname{ch}\xi)] P_n(\cos\eta), \quad (1.4.10)$$

unde  $P_n$  și  $\tilde{Q}_n$  definesc funcțiile Legendre de prima specie (polinoamele Legendre), respectiv de specie a doua cu argument de modul supraunitar [A2]. Soluția de potențial electrostatic (1.4.9) nu conține funcțiile  $\tilde{Q}_n(\operatorname{ch}\xi)$ , care prezintă singularități în puncte din interiorul particulei sfEROIDALE ( $0 \leq \xi \leq \xi_1$ ).

Condițiile la limită, ce trebuie satisfăcute de potențialele electrostatice (1.4.9), (1.4.10), sunt:

$$(i) \quad \cdot(\phi_{\parallel}^{(e)})_{\xi \rightarrow \infty} = -E_{p\parallel}^a \quad z = -c E_{p\parallel}^a \operatorname{ch}\xi \cos\eta, \quad (1.4.11)$$

ceea ce implică în (1.4.10)

$$B_1^{\parallel} = -c E_{p\parallel}^a \quad \text{și} \quad B_n^{\parallel} = 0, \quad \text{pentru } n > 1, \quad (1.4.12)$$

$$(ii) \quad (\phi_{||}^{(i)})_{\xi=\xi_1} = (\phi_{||}^{(\infty)})_{\xi=\xi_1}, \quad (1.4.13)$$

care determină în (1.4.9) și (1.4.10)

$$-A_1^{\parallel} \operatorname{ch}\xi_1 + C_1^{\parallel} \tilde{Q}_1(\operatorname{ch}\xi_1) = cE_p^a \operatorname{ch}\xi_1, \quad (1.4.14)$$

$$-A_n^{\parallel} P_n(\operatorname{ch}\xi_1) + C_n^{\parallel} \tilde{Q}_n(\operatorname{ch}\xi_1) = 0, \text{ pentru } n > 1, \quad (1.4.15)$$

unde s-a ținut seama de (1.4.12);

$$(iii) \quad \varepsilon_p \left( \frac{\partial \phi_{||}^{(i)}}{\partial \xi} \right)_{\xi=\xi_1} = \varepsilon_m \left( \frac{\partial \phi_{||}^{(\infty)}}{\partial \xi_1} \right)_{\xi=\xi_1}, \quad (1.4.16)$$

condiție ce impune în (1.4.9) și (1.4.10)

$$-A_1^{\parallel} \operatorname{sh}\xi_1 + C_1^{\parallel} \varepsilon_m \tilde{Q}'_1(\operatorname{ch}\xi_1) = c\varepsilon_m E_p^a \operatorname{sh}\xi_1, \quad (1.4.17)$$

$$-A_n^{\parallel} \varepsilon_p P'_n(\operatorname{ch}\xi_1) + C_n^{\parallel} \varepsilon_m \tilde{Q}'_n(\operatorname{ch}\xi_1) = 0, \text{ pentru } n > 1, \quad (1.4.18)$$

unde s-a notat  $P'_n(\operatorname{ch}\xi_1) = [\partial P_n(\operatorname{ch}\xi)/\partial \xi]_{\xi=\xi_1}$  și  $\tilde{Q}'_n(\operatorname{ch}\xi_1) = [\partial \tilde{Q}_n(\operatorname{ch}\xi)/\partial \xi]_{\xi=\xi_1}$ ,  $n \geq 1$  și s-a ținut cont că  $P'_1(\operatorname{ch}\xi_1) = (\operatorname{ch}\xi)'_{\xi=\xi_1} = \operatorname{sh}\xi_1$ .

Din relațiile anterioare (1.4.14) și (1.4.17), se obține

$$C_1^{\parallel} = cE_p^a (\varepsilon_p - \varepsilon_m) [\varepsilon_p \tilde{Q}_1(\operatorname{ch}\xi_1)/\operatorname{ch}\xi_1 - \varepsilon_m \tilde{Q}'_1(\operatorname{ch}\xi_1)/\operatorname{sh}\xi_1]^{-1}. \quad (1.4.19)$$

Pe de altă parte, sistemul liniar și omogen (1.4.15), (1.4.17), cu necunoscutele  $A_n^{\parallel}$ ,  $C_n^{\parallel}$ ,  $n > 1$ , are determinanțul nenul și, deci, admite numai soluția banală

$$A_n^{\parallel} = C_n^{\parallel} = 0, \text{ pentru orice } n > 1. \quad (1.4.20)$$

Ținind seama de (1.4.10), (1.4.11) și (1.4.20), rezultă pentru soluția de potențial  $\phi_{||}^{(\infty)}(\xi, \eta)$  în exteriorul particulei sferoideale

$$\phi_{||}^{(\infty)}(\xi, \eta) = -cE_p^a \operatorname{ch}\xi \cos\eta + C_1^{\parallel} \tilde{Q}_1(\operatorname{ch}\xi) \cos\eta. \quad (1.4.21)$$

Momentul dipolar induc longitudinal  $\bar{P}_{p\parallel}$  al particulei sferoideale suspendate din LM se obține din comportarea potențialului electrostatic (1.4.21) la distanțe mari de centrul

particulei,

$$\phi_{\parallel}^{(\infty)} \approx -E_p^{\alpha} r \cos\theta + (C_1^{\parallel} c^2/3) \cos\theta / r^2, \quad (1.4.22)$$

unde s-a ținut seama de formele asymptotice [A2,L2]  $\cos\eta \approx \cos\theta$ ,  $\text{ch}\xi \approx r/c$ ,  $Q_1(\text{ch}\xi) \approx 1/3 \text{ch}^2\xi \approx c^2/3r^2$ , cu  $r$  și  $\theta$  reprezentând coordonatele sferice. Se identifică imediat, în relația anterioară (1.4.22), intensitatea momentului dipolar induș longitudinal

$$\begin{aligned} P_{p\parallel} &= 4\pi\epsilon_m c^2 C_1^{\parallel} / 3 = V_p \epsilon_m E_p^{\alpha} (\epsilon_p - \epsilon_m) [\epsilon_m + (\epsilon_p - \epsilon_m) L_{\parallel}]^{-1} \\ &= \alpha_{p\parallel} E_p^{\alpha} = V_p \epsilon_m \beta_{p\parallel} E_p^{\alpha}, \end{aligned} \quad (1.4.23)$$

unde s-a introdus expresia (1.4.19) pentru  $C_1^{\parallel}$ , ținindu-se cont de identitatea, ușor de verificat,  $\tilde{Q}_1(\text{ch}\xi_1) \text{sh}^2\xi_1 - \tilde{Q}'_1(\text{ch}\xi_1) \text{sh}\xi_1 \text{ch}\xi_1 = 1$  și unde s-a notat cu  $V_p = 4\pi c^3 \text{sh}^2\xi_1 \text{ch}\xi_1 / 3 = 4\pi a_1^2 b_1 / 3$ , volumul particulei sferoidale, cu

$$\begin{aligned} L_{\parallel} &= \tilde{Q}_1(\text{ch}\xi_1) \text{sh}^2\xi_1 = \left\{ (1/2) \text{ch}\xi_1 \ln[(\text{ch}\xi_1 + 1) / (\text{ch}\xi_1 - 1)] - 1 \right\} \text{sh}^2\xi_1 \\ &= (1/\epsilon^2 - 1) \left\{ (1/2\epsilon) \ln[(1+\epsilon) / (1-\epsilon)] - 1 \right\}, \end{aligned} \quad (1.4.24)$$

factorul de depolarizare longitudinală al particulei sferoidale ( $\epsilon = [1 - (a_1/b_1)^2]^{1/2}$  fiind excentricitatea acesteia), iar cu

$$\alpha_{p\parallel} = V_p \epsilon_m (\epsilon_p - \epsilon_m) [\epsilon_m + (\epsilon_p - \epsilon_m) L_{\parallel}]^{-1}, \quad (1.4.25)$$

$$\text{și } \beta_{p\parallel} = (\epsilon_p - \epsilon_m) [\epsilon_m + (\epsilon_p - \epsilon_m) L_{\parallel}]^{-1}, \quad (1.4.26)$$

polarizabilitatea dipolară statică longitudinală a particulei sferoidale, respectiv coeficientul adimensional al acestei polarizabilități.

Corespunzător componentei vectoriale transversale  $\bar{E}_{p\perp}^{\alpha}$  a cimpului activ, soluția de potențial electrostatic a ecuației Laplace (1.4.8) depinde și de coordonata azimutală  $\psi$ , adică

$$\phi_{\perp}^{(\infty)} = \sum_{n,m=1}^{\infty} A_{n,m} \tilde{P}_n^m(\text{ch}\xi) P_n^m(\cos\eta) \cos m\psi, \quad (1.4.27)$$

$$\phi_{\perp}^{(\infty)} = \sum_{n,m=1}^{\infty} [B_{n,m} \tilde{P}_n^m(\text{ch}\xi) + C_{n,m} \tilde{Q}_n^m(\text{ch}\xi)] P_n^m(\cos\eta) \cos m\varphi, \quad (1.4.28)$$

unde  $\tilde{P}_n^m$ ,  $\tilde{Q}_n^m$  reprezintă funcțiile Legendre asociate de prima și a doua specie, pentru indici întregi pozitivi  $1 \leq m \leq n$  și argument de modul supraunitar, iar  $P_n^m(\cos\eta)$ , funcția Legendre asociată de prima specie, pentru argument  $-1 \leq \cos\eta \leq 1$ . Prin definiție [A2]

$$\tilde{P}_n^m(\text{ch}\xi) = \text{sh}^{m/2} \xi \frac{d^m}{d(\text{ch}^m \xi)}, \quad (1.4.29)$$

$$\tilde{Q}_n^m(\text{ch}\xi) = \text{sh}^{m/2} \xi \frac{d^m}{d(\text{ch}^m \xi)}, \quad (1.4.30)$$

În (1.4.27),  $\phi_{\perp}^{(i)}$  nu conține funcția  $\tilde{Q}_n^m(\text{ch}\xi)$ , din același motiv ca și ceea ce soluție de potențial interior  $\phi_{||}^{(i)}$ , dată de (1.4.9).

Condițiile la limită ce trebuie asigurate de potențialele electrostatice (1.4.27), (1.4.28) sunt :

$$(i) \quad (\phi_{\perp}^{(\infty)})_{\xi \rightarrow \infty} = -E_{p\perp}^a x = -c E_{p\perp}^a \text{sh}\xi \sin\eta \cos\varphi, \quad (1.4.31)$$

ceea ce implică în (1.4.27) și (1.4.28):  $m = 1$ , permitând notațiile

$$A_{n,1} = A_n^1, \quad B_{n,1} = B_n^1, \quad C_{n,1} = C_n^1, \quad n \geq 1, \quad (1.4.32)$$

precum și identificările

$$B_1^1 = -c E_{p\perp}^a \quad \text{și} \quad B_n^1 = 0, \quad n > 1; \quad (1.4.33)$$

$$(ii) \quad (\phi_{\perp}^{(i)})_{\xi=\xi_1} = (\phi_{\perp}^{(\infty)})_{\xi=\xi_1}, \quad (1.4.34)$$

care determină în (1.4.27) și (1.4.28)

$$-A_1^1 \text{sh}\xi_1 + C_1^1 \tilde{Q}_1^1(\text{ch}\xi_1) = c E_{p\perp}^a \text{sh}\xi_1, \quad (1.4.35)$$

$$A_n^1 \tilde{P}_n^1(\text{ch}\xi_1) + C_n^1 \tilde{Q}_n^1(\text{ch}\xi_1) = 0, \quad n > 1, \quad (1.4.36)$$

unde s-a ținut seama de relațiile (1.4.29) și (1.4.33);

$$(iii) \quad \varepsilon_p (\partial \phi_{\perp}^{(i)} / \partial \xi)_{\xi=\xi_1} = \varepsilon_m (\partial \phi_{\perp}^{(\infty)} / \partial \xi)_{\xi=\xi_1}, \quad (1.4.37)$$

care impune în (1.4.27) și (1.4.28)

$$-A_1^\perp \varepsilon_p \operatorname{ch} \xi_1 + C_1^\perp \varepsilon_m [\tilde{Q}_1^1(\operatorname{ch} \xi_1)]' = c \varepsilon_m E_{p\perp}^a \operatorname{ch} \xi_1 , \quad (1.4.38)$$

$$-A_n^\perp \varepsilon_p [\tilde{P}_n^1(\operatorname{ch} \xi_1)]' + C_n^\perp \varepsilon_m [\tilde{Q}_n^1(\operatorname{ch} \xi_1)]' = 0 . \quad (1.4.39)$$

Relațiile anterioare (1.4.35), (1.4.38) conduc la

$$C_1^\perp = c E_{p\perp}^a (\varepsilon_p - \varepsilon_m) \left\{ \varepsilon_p \tilde{Q}_1^1(\operatorname{ch} \xi_1) / \operatorname{sh} \xi_1 - \varepsilon_m [\tilde{Q}_1^1(\operatorname{ch} \xi_1)]' / \operatorname{ch} \xi_1 \right\}^{-1} , \quad (1.4.40)$$

în vreme ce relațiile (1.4.36), (1.4.39) constituie un sistem liniar și omogen cu determinant nenul, deci, cu soluția banală

$$A_n^\perp = C_n^\perp = 0 , \text{ pentru orice } n > 1 . \quad (1.4.41)$$

Conform (1.4.28), (1.4.33) și (1.4.41), soluția de potențial  $\phi_\perp^{(e)}$  în exteriorul particulei sferoidale este

$$\phi_\perp^{(e)}(\xi, \eta, \psi) = [-c E_{p\perp}^a \operatorname{sh} \xi + C_1^\perp \tilde{Q}_1^1(\operatorname{ch} \xi)] \sin \eta \cos \psi . \quad (1.4.42)$$

Momentul dipolar induc transversal  $\bar{P}_{p\perp}$  al particulei sferoidale suspendate din LM rezultă din comportarea potențialului electrostatic (1.4.42) la distanțe mari de centrul particulei,

$$\phi_\perp^{(e)} \approx -E_{p\perp}^a r \sin \theta \cos \varphi - (2c^2 C_1^\perp / 3) \sin \theta \cos \varphi / r^2 , \quad (1.4.43)$$

unde s-a ținut seama de formele asymptotice [A2, E2]:  $\sin \eta \approx \sin \theta$ ,  $\operatorname{sh} \xi \approx r / c$ ,  $\tilde{Q}_1^1(\operatorname{ch} \xi) \approx -2 / 3 \operatorname{ch}^2 \xi \approx -2c^2 / 3r^2$ ,  $\cos \psi \approx \cos \varphi$ , cu  $(r, \theta, \varphi)$  reprezentând coordonatele sférice. În relația anterioară (1.4.43), se identifică imediat intensitatea momentului dipolar induc transversal:

$$\begin{aligned} P_{p\perp} &= -8\pi \varepsilon_m c^2 C_1^\perp / 3 = V_p \varepsilon_m E_{p\perp}^a (\varepsilon_p - \varepsilon_m) [\varepsilon_m + (\varepsilon_p - \varepsilon_m) L_\perp]^{-1} \\ &= \alpha_{p\perp} E_{p\perp}^a = V_p \varepsilon_m \beta_{p\perp} E_{p\perp}^a , \end{aligned} \quad (1.4.44)$$

unde s-a introdus expresia (1.4.40) pentru  $C_1^\perp$ , ținindu-se cont de identitatea, ușor de verificat,

$$[\tilde{Q}_1^1(\operatorname{ch} \xi_1)]' \operatorname{sh}^2 \xi_1 - \tilde{Q}_1^1(\operatorname{ch} \xi_1) \operatorname{sh} \xi_1 \operatorname{ch} \xi_1 = 2 \quad \text{și unde s-a notat cu}$$

$$\begin{aligned}
 L_{\perp} &= -(1/2) \tilde{Q}_1^1(\operatorname{ch}\xi_1) \operatorname{sh}\xi_1 \operatorname{ch}\xi_1 \\
 &= (1/2) \left\{ \operatorname{ch}\xi_1 - (1/2) \operatorname{sh}^2\xi_1 \ln [(\operatorname{ch}\xi_1 + 1)/(\operatorname{ch}\xi_1 - 1)] \right\} \operatorname{ch}\xi_1 \\
 &= (1 - L_{\parallel})/2 \quad (L_{\perp} > L_{\parallel}) , \tag{1.4.45}
 \end{aligned}$$

factorul de depolarizare transversală al particulei sferoidale, iar cu

$$\alpha_{p\perp} = v_p \epsilon_m (\epsilon_p - \epsilon_m) [\epsilon_m + (\epsilon_p - \epsilon_m) L_{\perp}]^{-1} \tag{1.4.46}$$

$$\text{și } \beta_{p\perp} = (\epsilon_p - \epsilon_m) [\epsilon_m + (\epsilon_p - \epsilon_m) L_{\perp}]^{-1} , \tag{1.4.47}$$

polarizabilitatea dipolară statică transversală a particulei sferoidale, respectiv coeficientul adimensional al acestei polarizabilități.

În baza relațiilor deduse mai sus (1.4.24) și (1.4.44), momentul dipolar inducție echivalent  $\bar{p}_p$  al particulei sferoidale suspendate din LM se poate scrie :

$$\bar{p}_p = \bar{p}_{p\parallel} + \bar{p}_{p\perp} = \alpha_{p\parallel} \bar{E}_{p\parallel}^a + \alpha_{p\perp} \bar{E}_{p\perp}^a = v_p \epsilon_m (\beta_{p\parallel} \bar{E}_{p\parallel}^a + \beta_{p\perp} \bar{E}_{p\perp}^a) . \tag{1.4.48}$$

Intrucit  $\alpha_{p\parallel} \neq \alpha_{p\perp}$  (respectiv  $\beta_{p\parallel} \neq \beta_{p\perp}$ ),  $\bar{p}_p$  și  $\bar{E}_p^a = \bar{E}_{p\parallel}^a + \bar{E}_{p\perp}^a$  au, în general, direcții diferite, astfel că asupra particulei sferoidale suspendate se exercează un cuplu de electroorientare, având modulul :

$$\begin{aligned}
 |\bar{p}_p \times \bar{E}_p^a| &= (1/2) (\alpha_{p\parallel} - \alpha_{p\perp}) (E_p^a)^2 \sin 2\gamma \\
 &= (1/2) v_p \epsilon_m (\beta_{p\parallel} - \beta_{p\perp}) (E_p^a)^2 \sin 2\gamma . \tag{1.4.49}
 \end{aligned}$$

Sub acțiunea acestui cuplu (care este maxim pentru  $\gamma = \pm\pi/4$ ), particulele anizometrice (sferoidale) tind să se orienteze cu axa de simetrie Oz (coincidentă cu axa mare, de polarizabilitate maximă, a particulei) pe direcția cimpului activ  $E_p^a$ , adică într-o poziție în care cuplul se anulează, energia potențială în cimp electrostatic a particulei

$$\begin{aligned}
 W_p^* &= -(\bar{p}_p \bar{E}_p^a)/2 = -(\alpha_{p\perp} + \Delta\alpha_p \cos^2\gamma) (E_p^a)^2/2 \\
 &= -v_p \epsilon_m (\beta_{p\perp} + \Delta\beta_p \cos^2\gamma) (E_p^a)^2/2 , \tag{1.4.50}
 \end{aligned}$$

fiind minimă (mechanism de polarizare de tip orientațional).

În relația anterioară (1.4.50), s-au notat cu  $\Delta\alpha = \alpha_{p\parallel} - \alpha_{p\perp}$  și  $\Delta\beta_p = \beta_{p\parallel} - \beta_{p\perp}$  anizotropia polarizabilității dipolare statice a particulei sferoidale, respectiv anizotropia coeficientului adimensional al acestei polarizabilități. Înținind seama de definițiile (1.4.24), (1.4.26), respectiv (1.4.45), (1.4.47), mărimea adimensională  $\Delta\beta_p = \beta_{p\parallel} - \beta_{p\perp}$ , din expresia (1.4.49) a cuplului de electroorientare a particulei sferoidale, reprezintă o funcție de coeficientul de sféricitate  $a_1/b_1$  al particulei, precum și de raportul  $\epsilon_p/\epsilon_m$  dintre permisivitățile statice ale particulei și mediului ei de suspensie (fig.1.4.2). Cum era de așteptat, în cazul  $(a_1/b_1) \rightarrow 1$  al particulei coloidale sférici,  $(\beta_{p\parallel} - \beta_{p\perp}) \rightarrow 0$  și, evident, cuplul de electro orientare a particulei se anulează (fig.1.4.2,a).

Dacă LM se presupune o suspensie coloidală suficient de diluată, în care particulele anizometrice (sferoidale) suspendate sunt orientate haptic (în absența cimpului electrostatic) datorită agitației termice, atunci momentul dipolar mediu, induș de cimpul electric activ (static și uniform)  $\bar{E}_p^a$  în particulele

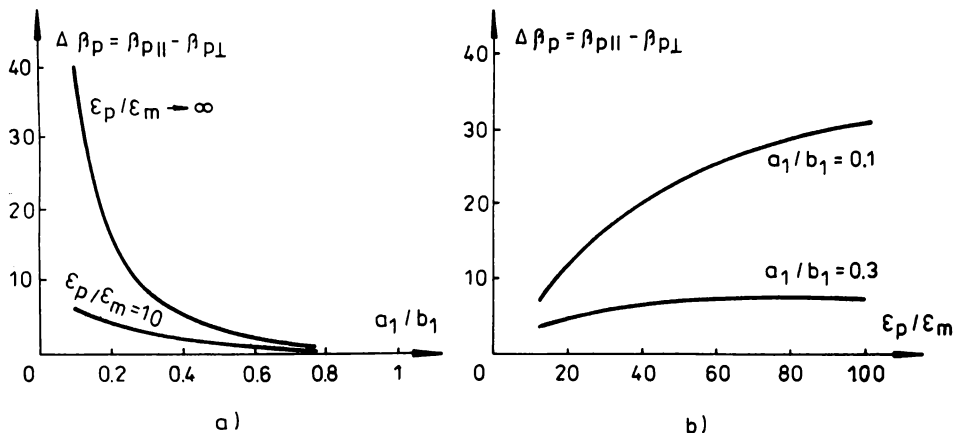


Fig.1.4.2. Dependența anizotropiei  $\Delta\beta_p = \beta_{p\parallel} - \beta_{p\perp}$  de coeficientul de sféricitate  $a_1/b_1$  (a), respectiv de raportul permisivităților statice  $\epsilon_p/\epsilon_m$  (b).

coloidale din LM, are intensitatea

$$\tilde{\rho}_p = \langle \tilde{p}_p \cdot \tilde{E}_p^a \rangle / E_p^a = (\alpha_{p\perp} + \Delta\alpha_p \langle \cos^2 \gamma \rangle) E_p^a = V_p \epsilon_m (\beta_{p\perp} + \Delta\beta_p \langle \cos^2 \gamma \rangle) E_p^a, \quad (1.4.51)$$

unde s-a notat cu  $\langle \cos^2 \gamma \rangle$  media statistică, de tipul (1.3.59), în care insă,  $s \rightarrow \zeta = V_p \epsilon_m \Delta\beta_p (E_p^a)^2 / k_B T$ .

La limita (uzuală în practică)  $\zeta \ll 1$ , se deduce din relația (1.4.51), în aproximarea de ordinul unu în  $\zeta$ ,

$$\begin{aligned} (\tilde{\rho}_p)_{\zeta \ll 1} &= V_p \epsilon_m [\beta_{p\perp} + \Delta\beta_p (1/3 + (4/45)\zeta)] E_p^a \\ &= V_p \epsilon_m [(\beta_{p\parallel} + 2\beta_{p\perp})/3] E_p^a + [2(\Delta\beta_p)^2 / 45k_B T] (E_p^a)^2. \quad (1.4.52) \end{aligned}$$

Introducind expresia (1.4.51) în definiția teoretică a permisivității statice efective a LM (1.2.10), rezultă:

$$\epsilon = \epsilon_m (1 + \varphi_p \tilde{\beta}_p^* E_p^a / \tilde{E}), \quad (1.4.53)$$

unde s-a notat cu

$$\tilde{\beta}_p^* = \beta_{p\perp} + \Delta\beta_p \langle \cos^2 \gamma \rangle \quad (1.4.54)$$

coeficientul adimensional al polarizabilității statice dipolare medie a particulelor coloidale anizometrice (sferoidale) din LM.

La limita  $\zeta \ll 1$ ,  $\tilde{\beta}_p^*$  variază cu pătratul intensității cîmpului electric activ,

$$(\tilde{\beta}_p^*)_{\zeta \ll 1} = (\beta_{p\parallel} + 2\beta_{p\perp})/3 + [2(\Delta\beta_p)^2 \epsilon_m V_p / 45k_B T] (E_p^a)^2, \quad (1.4.55)$$

la fel ca  $(\tilde{\beta}_p)_{s \ll 1}$  la LM cu perechi de particule coloidale sferice în interacțiune dipolară de tip dublet.

În ipoteza  $\tilde{E}_p^a \approx \tilde{E}$ , din (1.4.53) se poate obține o formulă de tip Polder - van Santen [B1, D2, R13]:

$$\epsilon = \epsilon_m (1 + \varphi_p \tilde{\beta}_p^*). \quad (1.4.56)$$

Pentru cîmpul activ  $E_p^a$  de forma (1.3.9), cu (1.4.51) și (1.4.54) în (1.2.10), rezultă

$$\epsilon = \epsilon_m [1 + \varphi_p \tilde{\beta}_p^* / (1 - \varphi_p \tilde{\beta}_p^* / 3)]. \quad (1.4.57)$$

În sfîrșit, în ipoteza cîmpului activ Lorentz (1.3.12), se deduce din (1.4.51) ecuația de tip Clausius-Mossotti [R1, R2]:

$$(\varepsilon_r - 1)/(\varepsilon_r + 2) = (n_m^V \alpha_m + n_p^V \tilde{\alpha}_p^*)/3\varepsilon_0 . \quad (1.4.58)$$

unde  $\tilde{\alpha}_p^* = V_p \varepsilon_m \tilde{\beta}_p^*$ , cu  $\tilde{\beta}_p^*$  definit în (1.4.54).

Relațiile anterioare (1.4.56)-(1.4.58) reprezintă expresii de calcul alternative ale permittivității statice efective a LM cu particule coloidale anizometrice (sferoidale). Toate aceste relații presupun un mecanism de polarizare statică prin electroorientarea individuală a particulelor coloidale anizometrice, neîncărcate electric și fără SDE atașat.

#### 1.4.1. Cazul particulelor anizometrice cu strat dublu electric.

##### Efectul polidispersiei

Particula coloidală de magnetită din LM se consideră de forma sferoidului alungit, de permittivitate statică  $\varepsilon_p$  și încărcată cu sarcina electrică superficială fixă, de densitate constantă  $\rho_p^S$ . Centrul de simetrie și axele principale (de simetrie) ale particulei sferoidale se adoptă coincidente cu originea O, respectiv cu axele Ox, Oy, Oz ale unui reper cartezian. Se asociază particulei coloidale sistemul de coordonate sferoidale ( $\xi, \eta, \psi$ ), astfel încît suprafața particulei se definește prin sferoidul de ecuație  $\xi=\xi_1$ . Se notează cu  $a_1, b_1$  lungimile semiaxelor mică, respectiv mare, ale acestui sferoid, iar cu  $2c$ , distanța lui focală (fig.1.4.3).

Particula suspendată prezintă în jurul ei un SDE de tip Stern, de permittivitate statică  $\varepsilon_s$ , delimitat la exterior de o suprafață sferoidală, avind ecuația  $\xi=\xi_2$  și semiaxele  $a_2, b_2$  ( $a_2 < b_2$ ), încărcată cu sarcina electrică (a contracionilor) de densitate  $\rho_s^S$  (fig.1.4.3). Sferoizii  $\xi=\xi_1$  și  $\xi=\xi_2$  se admit confocali și asemenea, astfel că

$$a_2/a_1 = b_2/b_1 = c\lambda_2/c\lambda_1 = \nu = \text{const. } (>1) , \quad (1.4.59)$$

unde  $c\lambda_1, c\lambda_2$  sunt unitățile locale de lungime corespunzătoare celor două suprafețe sferoidale [A2,M3]. Față de direcția cîmpu-

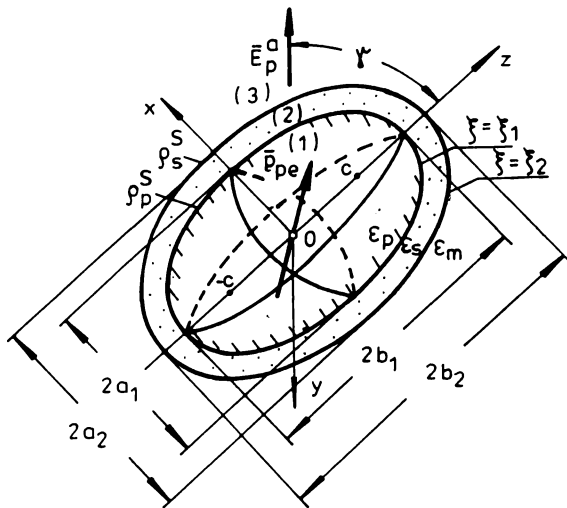


Fig.1.4.3. Particulă sferoidală cu strat Stern atașat, imersată în mediul lichid de suspensie și aflată în prezența cimpului electric activ.

lui electric activ  $\bar{E}_p^a$  (static și uniform), particula sferoidală cu strat Stern atașat este orientată cu un unghi arbitrar  $\gamma$ , în planul  $xOz$  (fig.1.4.3), permitând, astfel, definiția vectorială (1.4.7) pentru  $\bar{E}_p^a$ .

Corespunzător componentei longitudinale a cimpului activ  $\bar{E}_p^a$ , momentul dipolar inducție echivalent  $\bar{P}_{pe}^{\parallel}$  al particulei sferoidale cu strat Stern atașat se determină din soluția ecuației Laplace a potențialului electrostatic la distanțe mari de particulă. Astfel, în regiunile de cimp (lipsite de sarcini electrice de volum) din interiorul particulei sferoidale (1), din stratul Stern atașat (2) și din exteriorul particulei (3), soluția de potențial a ecuației Laplace (1.4.8) fiind axial-simetrică, se caută de forma:

$$\phi_k^{\parallel}(\xi, \eta) = \sum_{n=0}^{\infty} [A_{kn}^{\parallel} P_n(ch\xi) + B_{kn}^{\parallel} \tilde{Q}_n(ch\xi)] P_n(\cos\eta), \quad k=1, 2, 3. \quad (1.4.60)$$

Potențialul  $\phi_k^{\parallel}(\xi, \eta)$  nu conține, însă, funcția  $\tilde{Q}_n(ch\xi)$ , care prezintă singularități în puncte interioare particulei sferoidale ( $0 \leq \xi \leq \xi_1$ ), astfel că în (1.4.60)

$$B_{in}^{\parallel} = 0, \quad n \geq 0. \quad (1.4.61)$$

La rîndul său, potențialul exterior  $\phi_a^{\parallel}(\xi, \eta)$  se comportă la infinit conform (1.4.11), astfel că în (1.4.60)

$$A_{az}^{\parallel} = -cE_p^a \quad \text{și} \quad A_{an}^{\parallel} = 0, \quad \text{pentru } n \neq 1. \quad (1.4.62)$$

Condițiile de interfață, ce trebuie satisfăcute de potențialele (1.4.60), sunt următoarele:

$$(i) \quad (\phi_1^{\parallel})_{\xi=\xi_1} = (\phi_2^{\parallel})_{\xi=\xi_1}, \quad (1.4.63)$$

Ceea ce implică în (1.4.60)

$$A_{1n}^{\parallel} P_n(\operatorname{ch}\xi_1) - A_{zn}^{\parallel} P_n(\operatorname{ch}\xi_1) - B_{zn}^{\parallel} \tilde{Q}_n(\operatorname{ch}\xi_1) = 0, \quad n \geq 0; \quad (1.4.64)$$

$$(ii) \quad \varepsilon_p (\partial \phi_1^{\parallel} / \partial \xi)_{\xi=\xi_1} - \varepsilon_e (\partial \phi_2^{\parallel} / \partial \xi)_{\xi=\xi_1} = c \lambda_1 \rho_p^s, \quad (1.4.65)$$

condiție ce impune în (1.4.60)

$$B_{zo}^{\parallel} = c \lambda_1 \rho_p^s \operatorname{sh}\xi_1 / \varepsilon_e, \quad (1.4.66).$$

$$A_{1n}^{\parallel} \varepsilon_p P'_n(\operatorname{ch}\xi_1) - A_{zn}^{\parallel} \varepsilon_e P'_n(\operatorname{ch}\xi_1) + B_{zn}^{\parallel} \tilde{Q}'_n(\operatorname{ch}\xi_1) = 0, \quad n \geq 1, \quad (1.4.67)$$

unde s-a ținut seama că, prin definiție [A1, A2],

$$\tilde{[Q_o]}(\operatorname{ch}\xi) = (\partial \{ (1/2) \ln [(1+\operatorname{ch}\xi)/(1-\operatorname{ch}\xi)] \} / \partial \xi) = -1/\operatorname{sh}\xi;$$

$$(iii) \quad (\phi_2^{\parallel})_{\xi=\xi_2} = (\phi_a^{\parallel})_{\xi=\xi_2}, \quad (1.4.68)$$

care determină în (1.4.60)

$$A_{z1}^{\parallel} \operatorname{ch}\xi_2 + B_{z1}^{\parallel} \tilde{Q}_1(\operatorname{ch}\xi_2) - B_{z1}^{\parallel} \tilde{Q}_1(\operatorname{ch}\xi_2) = -cE_p^a \operatorname{ch}\xi_2, \quad (1.4.69)$$

$$A_{zn}^{\parallel} P_n(\operatorname{ch}\xi_2) + B_{zn}^{\parallel} \tilde{Q}_n(\operatorname{ch}\xi_2) - B_{zn}^{\parallel} \tilde{Q}_n(\operatorname{ch}\xi_2) = 0, \quad n \neq 1; \quad (1.4.70)$$

$$(iv) \quad \varepsilon_e (\partial \phi_2^{\parallel} / \partial \xi)_{\xi=\xi_2} - \varepsilon_m (\partial \phi_a^{\parallel} / \partial \xi)_{\xi=\xi_2} = c \lambda_2 \rho_e^s, \quad (1.4.71)$$

Ceea ce, în (1.4.60), conduce la

$$\begin{aligned} B_{zo}^{\parallel} \tilde{Q}_o'(\operatorname{ch}\xi_2) + B_{zo}^{\parallel} [(c \lambda_2 \rho_e^s q_c / k_B T) \tilde{Q}_o'(\operatorname{ch}\xi_2) - \varepsilon_m \tilde{Q}_o'(\operatorname{ch}\xi_2)] \\ = c \lambda_2 \rho_e^s, \end{aligned} \quad (1.4.72)$$

$$A_{z_1}^{\parallel} \varepsilon_s \operatorname{sh} \xi_z + B_{z_1}^{\parallel} \varepsilon_s \tilde{Q}'_1(\operatorname{ch} \xi_z) + B_{z_1}^{\parallel} [(c\lambda_2 \rho_{s,o}^s q_c / k_B T) Q_1(\operatorname{ch} \xi_z)] = \varepsilon_m \tilde{Q}'_1(\operatorname{ch} \xi_z) - \varepsilon_m \operatorname{sh} \xi_z] cE_p^a , \quad (1.4.73)$$

$$A_{zn}^{\parallel} \varepsilon_s P_n'(\operatorname{ch} \xi_z) + B_{zn}^{\parallel} \varepsilon_s \tilde{Q}'_n(\operatorname{ch} \xi_z) + B_{zn}^{\parallel} [(c\lambda_2 \rho_{s,o}^s q_c / k_B T) Q_n(\operatorname{ch} \xi_z) - \varepsilon_m \tilde{Q}'_n(\operatorname{ch} \xi_z)] = 0 , \quad n > 1 , \quad (1.4.74)$$

unde s-a ținut seama de (1.4.62) și s-a adoptat aproximarea liniară (1.3.20) pentru distribuția de sarcină a contraionilor din stratul Stern cu  $\delta\rho_s^s = -\rho_{s,o}^s q_c \phi_s^{\parallel}(\xi_z, \eta) / k_B T$ .

Din relațiile (1.4.66) și (1.4.72), se obține

$$B_{so}^{\parallel} = (c\lambda_1 \rho_p^s \operatorname{sh} \xi_1 + c\lambda_2 \rho_{s,o}^s \operatorname{sh} \xi_2) \times \left\{ [(c\lambda_2 \rho_{s,o}^s q_c / k_B T) Q_0(\operatorname{ch} \xi_z) - \varepsilon_m \tilde{Q}'_0(\operatorname{ch} \xi_z)] \operatorname{sh} \xi_z \right\}^{-1} . \quad (1.4.75)$$

Pe de altă parte, din condiția de cvasi-electroneutralitate a particulei sferoidale cu strat Stern atașat, în absența cimpului electric, rezultă

$$2\pi [a_1^2 f(a_1/b_1) \rho_p^s + a_2^2 f(a_2/b_2) \rho_{s,o}^s] \approx 0 , \quad (1.4.76)$$

unde  $2\pi a_k^2 f(a_k/b_k)$ ,  $k=1,2$ , reprezintă ariile sferoidilor  $\xi=\xi_1$  și  $\xi=\xi_2$  [P5]. Ținând cont că, din (1.4.59),  $a_1/b_1 = a_2/b_2$ , relația anterioară (1.4.76) conduce la

$$a_1^2 \rho_p^s + a_2^2 \rho_{s,o}^s \approx 0 , \quad (1.4.77)$$

care împreună cu (1.4.59) determină în (1.4.75)

$$a_1 \lambda_1 \rho_p^s + a_2 \lambda_2 \rho_{s,o}^s = (\lambda_1/a_1) (a_1^2 \rho_p^s + a_2^2 \rho_{s,o}^s) \approx 0 ,$$

adică  $B_{so}^{\parallel} \approx 0$ . (1.4.78)

Sistemul de ecuații (1.4.64) și (1.4.67), pentru  $n=1$ , (1.4.69), (1.4.73) cu necunoscutele  $A_{z_1}^{\parallel}$ ,  $A_{z_1}^{\parallel}$ ,  $B_{z_1}^{\parallel}$ ,  $B_{z_1}^{\parallel}$ , permite să se obțină, după eliminări succeseive,

$$B_{z_1}^{\parallel} = cE_p^a (\varepsilon_{pe}^{\parallel} - \varepsilon_m) [\varepsilon_{pe}^{\parallel} \tilde{Q}'_1(\operatorname{ch} \xi_z) / \operatorname{ch} \xi_z - \varepsilon_m \tilde{Q}'_1(\operatorname{ch} \xi_z) / \operatorname{sh} \xi_z]^{-1} , \quad (1.4.79)$$

unde s-a notat

$$\begin{aligned} \varepsilon_{pe}^{\parallel} &= \varepsilon_e [1 + x_{\parallel} \tilde{Q}_1'(\operatorname{ch}\xi_z) / \operatorname{sh}\xi_z] [1 + x_{\parallel} \tilde{Q}_1(\operatorname{ch}\xi_z) / \operatorname{ch}\xi_z]^{-1} \\ &\quad + (c \lambda_z \rho_{e,o}^s q_c / k_B T) \operatorname{cth}\xi_z \end{aligned} \quad (1.4.80)$$

cu

$$x_{\parallel} = (\varepsilon_p - \varepsilon_e) [\varepsilon_e \tilde{Q}_1'(\operatorname{ch}\xi_1) / \operatorname{sh}\xi_1 - \varepsilon_p \tilde{Q}_1(\operatorname{ch}\xi_1) / \operatorname{ch}\xi_1]^{-1} \quad (1.4.81)$$

și s-a ținut cont că sferele confocale și asemenea  $\xi=\xi_1$  și  $\xi=\xi_2$  au aceeași excentricitate  $e$ .

La rîndul său, sistemul liniar și omogen (1.4.64), (1.4.67), (1.4.70), (1.4.74) cu necunoscutele  $A_{1n}^{\parallel}$ ,  $A_{zn}^{\parallel}$ ,  $B_{zn}^{\parallel}$ ,  $B_{an}^{\parallel}$ , pentru orice  $n>1$ , are determinantul nenul și, deci, admite doar soluția banală

$$A_{1n}^{\parallel} = A_{zn}^{\parallel} = B_{zn}^{\parallel} = B_{an}^{\parallel} = 0, \quad \text{pentru orice } n>1. \quad (1.4.82)$$

Tinind seama de (1.4.60), (1.4.62), (1.4.78) și (1.4.82), rezultă pentru soluția de potențial  $\phi_a^{\parallel}(\xi, \eta)$  în exteriorul particulei sferoïdale cu strat Stern atașat:

$$\phi_a^{\parallel}(\xi, \eta) = [-c E_p^a / \operatorname{ch}\xi + B_{a1}^{\parallel} \tilde{Q}_1(\operatorname{ch}\xi)] \cos\eta. \quad (1.4.83)$$

Comportarea asymptotică a potențialului electrostatic (1.4.83) la distanțe mari de centrul particulei, este analogă cu (1.4.22), adică

$$\phi_a^{\parallel}(\xi, \eta) \approx -E_p^a / r \cos\theta + (B_{a1}^{\parallel} c^2 / 3) \cos\theta / r^2. \quad (1.4.84)$$

Ea permite identificarea imediată a intensității momentului dipolar longitudinal  $\bar{p}_{pe}^{\parallel}$  al particulei sferoïdale cu strat Stern atașat:

$$\begin{aligned} \bar{p}_{pe}^{\parallel} &= 4\pi \varepsilon_m c^2 B_{a1}^{\parallel} / 3 = \nu^3 V_p \varepsilon_m E_p^a (\varepsilon_{pe}^{\parallel} - \varepsilon_m) [\varepsilon_m + (\varepsilon_{pe}^{\parallel} - \varepsilon_m) L_{\parallel}]^{-1} \\ &= \alpha_{pe}^{\parallel} E_p^a = V_p \varepsilon_m \beta_{pe}^{\parallel} E_p^a, \end{aligned} \quad (1.4.85)$$

unde s-a introdus expresia (1.4.79) pentru  $B_{a1}^{\parallel}$ , s-a menținut definiția lui  $L_{\parallel}$  și s-a notat cu

$$\alpha_{pe}^{\parallel} = \nu^3 V_p \varepsilon_m (\varepsilon_{pe}^{\parallel} - \varepsilon_m) [\varepsilon_m + (\varepsilon_{pe}^{\parallel} - \varepsilon_m) L_{\parallel}]^{-1} \quad (1.4.86)$$

$$\text{și } \beta_{pe}^{\parallel} = \nu^3 (\varepsilon_{pe}^{\parallel} - \varepsilon_m) [\varepsilon_m + (\varepsilon_{pe}^{\parallel} - \varepsilon_m) L_{\parallel}]^{-1}, \quad (1.4.87)$$

polarizabilitatea dipolară statică longitudinală a particulelor sferoidale cu strat Stern atașat, respectiv coeficientul adimensional al acestei polarizabilități.

Corespondator componentei vectoriale transversale  $\tilde{E}_{p\perp}^a$  cimpului activ (static și uniform), soluția de potențial a ecuației Laplace (1.4.8) depinde și de coordonata azimutală  $\psi$ , adică

$$\phi_k^{\perp}(\xi, \eta, \psi) = \sum_{n,m=0}^{\infty} [A_{k,nm}^{\perp} \tilde{P}_n^m(\operatorname{ch}\xi) + B_{k,nm}^{\perp} \tilde{Q}_n^m(\operatorname{ch}\xi)] \\ \times P_n^m(\cos\eta) \cos m\psi, \quad k=1, 2, 3. \quad (1.4.88)$$

Potențialul  $\phi_3^{\perp}$  se comportă la infinit conform (1.4.31), ceea ce implică în (1.4.88):  $m=1, 1 \leq m \leq n$ , permitind notațiile

$$A_{k,n1}^{\perp} = A_{kn}^{\perp}, \quad B_{k,n1}^{\perp} = B_{kn}^{\perp}, \quad k=1, 2, 3, \quad n \geq 1, \quad (1.4.89)$$

precum și identificările

$$A_{31}^{\perp} = -cE_{p\perp}^a \quad \text{și} \quad A_{an}^{\perp} = 0, \quad n > 1. \quad (1.4.90)$$

La rîndul său potențialul  $\phi_1^{\perp}$  nu conține funcția  $\tilde{Q}_n^m(\operatorname{ch}\xi)$  din același motiv ca și cealaltă soluție de potențial interior  $\phi_1^{\parallel}$ , astfel că în (1.4.88)

$$B_{1n}^{\perp} = 0, \quad n \geq 0. \quad (1.4.91)$$

Din condițiile de interfață ce trebuie satisfăcute de potențialele electrostatice (1.4.88), se obțin, analog cazului cimpului activ longitudinal:

$$A_{1n}^{\perp} \tilde{P}_n^1(\operatorname{ch}\xi_1) - A_{zn}^{\perp} \tilde{P}_n^1(\operatorname{ch}\xi_1) - B_{zn}^{\perp} \tilde{Q}_n^1(\operatorname{ch}\xi_1) = 0, \quad n \geq 1; \quad (1.4.92)$$

$$A_{1n}^{\perp} \varepsilon_p [\tilde{P}_n^1(\operatorname{ch}\xi_1)]' - A_{zn}^{\perp} \varepsilon_s [\tilde{P}_n^1(\operatorname{ch}\xi_1)]' - B_{zn}^{\perp} \varepsilon_s [\tilde{Q}_n^1(\operatorname{ch}\xi_1)]' = 0, \quad n \geq 1; \quad (1.4.93)$$

$$A_{z1}^{\perp} \tilde{P}_1^1(\operatorname{ch}\xi_2) + B_{z1}^{\perp} \tilde{Q}_1^1(\operatorname{ch}\xi_2) - B_{11}^{\perp} \tilde{Q}_1^1(\operatorname{ch}\xi_2) = -cE_{p\perp}^a \operatorname{sh}\xi_2, \quad (1.4.94)$$

$$A_{zn}^{\perp} \tilde{P}_n^1(\operatorname{ch}\xi_2) + B_{zn}^{\perp} \tilde{Q}_n^1(\operatorname{ch}\xi_2) - B_{sn}^{\perp} \tilde{Q}_n^1(\operatorname{ch}\xi_2) = 0, \quad n > 1; \quad (1.4.95)$$

$$A_{z_1}^{\perp} \varepsilon_s [\tilde{P}_1^1(\operatorname{ch}\xi_z)]' + B_{z_1}^{\perp} \varepsilon_s [\tilde{Q}_1^1(\operatorname{ch}\xi_z)]' + B_{s_1}^{\perp} \left\{ (c\lambda_z \rho_{s,o}^s q_c / k_B T) \tilde{Q}_1^1(\operatorname{ch}\xi_z) - \varepsilon_m [\tilde{Q}_1^1(\operatorname{ch}\xi_z)]' \right\} = [(c\lambda_z \rho_{s,o}^s q_c / k_B T) \operatorname{sh}\xi_z - \varepsilon_m \operatorname{ch}\xi_z] cE_{p\perp}^a, \quad (1.4.96)$$

$$A_{z_n}^{\perp} \varepsilon_s [\tilde{P}_n^1(\operatorname{ch}\xi_z)]' + B_{z_n}^{\perp} \varepsilon_s [\tilde{Q}_n^1(\operatorname{ch}\xi_z)]' + B_{s_n}^{\perp} \left\{ (c\lambda_z \rho_{s,o}^s q_c / k_B T) \tilde{Q}_n^1(\operatorname{ch}\xi_z) - \varepsilon_m [\tilde{Q}_n^1(\operatorname{ch}\xi_z)]' \right\} = 0, \quad n>1. \quad (1.4.97)$$

Eliminind succesiv pe  $A_{11}^{\perp}$ ,  $A_{z_1}^{\perp}$ , și  $B_{z_1}^{\perp}$  între ecuațiile (1.4.92), (1.4.93), scrise pentru  $n=1$ , (1.4.94) și (1.4.96), se obține, în final:

$$B_{s_1}^{\perp} = cE_{p\perp}^a (\varepsilon_{pe}^{\perp} - \varepsilon_m) \left\{ \varepsilon_{pe}^{\perp} \tilde{Q}_1^1(\operatorname{ch}\xi_z) / \operatorname{sh}\xi_z - \varepsilon_m [\tilde{Q}_1^1(\operatorname{ch}\xi_z)]' / \operatorname{ch}\xi_z \right\}^{-1}, \quad (1.4.98)$$

unde s-a notat

$$\begin{aligned} \varepsilon_{pe}^{\perp} &= \varepsilon_s \left\{ 1 + \varepsilon_{\perp} [\tilde{Q}_1^1(\operatorname{ch}\xi_z)]' / \operatorname{ch}\xi_z \right\} [1 + \varepsilon_{\perp} \tilde{Q}_1^1(\operatorname{ch}\xi_z) / \operatorname{sh}\xi_z]^{-1} \\ &\quad + (c\lambda_z \rho_{s,o}^s q_c / k_B T) \tilde{Q}_1^1(\operatorname{ch}\xi_z) \end{aligned} \quad (1.4.99)$$

cu

$$\varepsilon_{\perp} = (\varepsilon_p - \varepsilon_s) \left\{ \varepsilon_s [\tilde{Q}_1^1(\operatorname{ch}\xi_1)]' / \operatorname{ch}\xi_1 - \varepsilon_p \tilde{Q}_1^1(\operatorname{ch}\xi_1) / \operatorname{sh}\xi_1 \right\}^{-1}. \quad (1.4.100)$$

Pe de altă parte, relațiile (1.4.92), (1.4.93), (1.4.95), (1.4.97), pentru orice  $n>1$ , constituie un sistem liniar și omogen, cu necunoscutele  $A_{1n}^{\perp}$ ,  $A_{zn}^{\perp}$ ,  $B_{zn}^{\perp}$ ,  $B_{sn}^{\perp}$  și cu determinantul nenul, astfel că soluția sistemului este cea banală:

$$A_{1n}^{\perp} = A_{zn}^{\perp} = B_{zn}^{\perp} = B_{sn}^{\perp} = 0, \quad \text{pentru orice } n>1. \quad (1.4.101)$$

Conform (1.4.88), (1.4.90) și (1.4.101), soluția de potențial  $\phi_a^{\perp}$  în exteriorul particulei sferoidale cu strat Stern atașat este

$$\phi_a^{\perp}(\xi, \eta, \psi) = [-cE_{p\perp}^a \operatorname{sh}\xi + B_{s_1}^{\perp} \tilde{Q}_1^1(\operatorname{ch}\xi)] \sin\eta \cos\psi. \quad (1.4.102)$$

Comportarea asymptotică a potențialului electrostatic (1.4.102), la distanțe mari de centrul particulei, este analogă cu (1.4.43), adică

$$\phi_a^\perp \approx -E_{p\perp}^a r \sin\theta \cos\varphi - (2c^2 B_{a1}^\perp / 3) \sin\theta \cos\varphi / r^2. \quad (1.4.103)$$

Ea permite identificarea intensității momentului dipolar induș transversal  $\bar{P}_{pe}^\perp$ , echivalent particulei sferoidale cu strat Stern atașat:

$$\begin{aligned} \bar{P}_{pe}^\perp &= -8\pi\varepsilon_m c^2 B_{a1}^\perp / 3 = \nu^3 V_p \varepsilon_m (\varepsilon_{pe}^\perp - \varepsilon_m) [\varepsilon_m + (\varepsilon_{pe}^\perp - \varepsilon_m) L_\perp]^{-1} E_{p\perp}^a \\ &= \alpha_{pe}^\perp E_{p\perp}^a = V_p \varepsilon_m \beta_{pe}^\perp E_{p\perp}^a, \end{aligned} \quad (1.4.104)$$

unde s-a introdus expresia (1.4.98) pentru  $B_{a1}^\perp$ , s-a menținut definiția (1.4.45) pentru  $L_\perp$  (sferoizii  $\xi = \xi_1$  și  $\xi = \xi_2$  având aceeași excentricitate  $\epsilon$ ) și s-a notat cu

$$\alpha_{pe}^\perp = \nu^3 V_p \varepsilon_m (\varepsilon_{pe}^\perp - \varepsilon_m) [\varepsilon_m + (\varepsilon_{pe}^\perp - \varepsilon_m) L_\perp]^{-1} \quad (1.4.105)$$

și

$$\beta_{pe}^\perp = \nu^3 (\varepsilon_{pe}^\perp - \varepsilon_m) [\varepsilon_m + (\varepsilon_{pe}^\perp - \varepsilon_m) L_\perp]^{-1}, \quad (1.4.106)$$

polarizabilitatea dipolară statică transversală a particulei sferoidale cu strat Stern atașat, respectiv coeficientul adimensional al acestei polarizabilități.

În aproximarea stratului Stern subțire,  $\nu \rightarrow 1$ ,  $\varepsilon_e = \varepsilon_p$ ,  $\varepsilon_{||} = \varepsilon_\perp = 0$ , astfel că relațiile (1.4.80), (1.4.99) devin

$$\varepsilon_{pe}^{||} = \varepsilon_p + (c\lambda_1 \rho_{s,o}^S q_c / k_B T) \operatorname{cth} \xi_1, \quad (1.4.107)$$

respectiv

$$\varepsilon_{pe}^\perp = \varepsilon_p + (c\lambda_1 \rho_{s,o}^S q_c / k_B T) \tilde{Q}_1^1 (\operatorname{ch} \xi_1). \quad (1.4.108)$$

Este ușor de observat, că în cazul particular:  $\rho_{s,o}^S = 0$ ,  $\nu \rightarrow 1$ ,  $\varepsilon_e = \varepsilon_p$ , al particulei sferoidale neîncărcate electric și fără SDE atașat, relațiile deduse anterior (1.4.85), (1.4.104) se simplifică la (1.4.23), respectiv (1.4.44).

Momentul dipolar induș echivalent  $\bar{P}_{pe}^*$  al particulei sferoidale cu strat Stern atașat obține, conform (1.4.85) și (1.4.104), expresia:

$$\bar{P}_{pe}^* = \bar{P}_{pe}^{||} + \bar{P}_{pe}^\perp = \alpha_{pe}^{||} \bar{E}_{p\parallel}^a + \alpha_{pe}^\perp \bar{E}_{p\perp}^a = V_p \varepsilon_m (\beta_{pe}^{||} \bar{E}_{p\parallel}^a + \beta_{pe}^\perp \bar{E}_{p\perp}^a). \quad (1.4.109)$$

Deoarece  $\alpha_{pe}^{\parallel} \neq \alpha_{pe}^{\perp}$  (respectiv,  $\beta_{pe}^{\parallel} \neq \beta_{pe}^{\perp}$ ), rezultă că vectorii  $\bar{p}_{pe}^*$  și  $\bar{E}_p^a = \bar{E}_{pe}^a + \bar{E}_{pe}^{\perp}$  au, în general, direcții diferite și, deci, asupra particulei sferoidale cu strat Stern atașat se exercită un cuplu, de modul

$$\begin{aligned} |\bar{p}_{pe}^* \times \bar{E}_p^a| &= (1/2) (\alpha_{pe}^{\parallel} - \alpha_{pe}^{\perp}) (E_p^a)^2 \sin 2\gamma \\ &= (1/2) V_p \epsilon_m (\beta_{pe}^{\parallel} - \beta_{pe}^{\perp}) (E_p^a)^2 \sin 2\gamma, \quad (1.4.110) \end{aligned}$$

care trebuie să orienteze particula cu axa ei mare (coincidentă cu axa de simetrie Oz) pe direcția cimpului activ  $\bar{E}_p^a$ , adică într-o poziție în care energia potențială în cimp electrostatic a particulei,

$$\begin{aligned} W_{pe}^* &= -(\bar{p}_{pe}^* \cdot \bar{E}_p^a)/2 = -(\alpha_{pe}^{\perp} + \Delta\alpha_{pe} \cos^2\gamma) (E_p^a)^2/2 \\ &= -V_p \epsilon_m (\beta_{pe}^{\perp} + \Delta\beta_{pe} \cos^2\gamma) (E_p^a)^2/2, \quad (1.4.111) \end{aligned}$$

dăvăind minimă (mechanism de polarizare statică de tip orientațional).

În relația anterioară (1.4.111),  $\Delta\alpha_{pe} = \alpha_{pe}^{\parallel} - \alpha_{pe}^{\perp}$  și  $\Delta\beta_{pe} = \beta_{pe}^{\parallel} - \beta_{pe}^{\perp}$  semnifică anizotropia polarizabilității dipolare statice a particulei sferoidale cu strat Stern atașat, respectiv anizotropia coeficientului adimensional al acestei polarizabilități.

În cazul LM suficient de diluate, conținând particule anizometrice (sferoidale) cu strat Stern atașat orientate haptic (în absența cimpului electric) datorită agitației termice, momentul dipolar mediu, induș de cimpul activ  $\bar{E}_p^a$  în particulele coloidale din LM, are intensitatea

$$\begin{aligned} \tilde{P}_{pe}^* &= \langle \bar{p}_{pe}^* \cdot \bar{E}_p^a \rangle / E_p^a = (\alpha_{pe}^{\perp} + \Delta\alpha_{pe} \langle \cos^2\gamma \rangle) E_p^a \\ &= V_p \epsilon_m (\beta_{pe}^{\perp} + \Delta\beta_{pe} \langle \cos^2\gamma \rangle) E_p^a, \quad (1.4.112) \end{aligned}$$

unde  $\langle \cos^2\gamma \rangle$  reprezintă media statistică, de tipul (1.3.59), cu  $s \rightarrow \zeta_0 = \Delta\alpha_{pe} (E_p^a)^2 / 2k_B T = V_p \epsilon_m \Delta\beta_{pe} (E_p^a)^2 / 2k_B T$ .

În ipoteza  $\bar{E}_p^a \approx \bar{E}$ , din (1.2.10) și (1.4.112) se obține o formulă de tip Polder - van Santen pentru permitivitatea statică

efectivă a LM conținând particule coloidale anizometrice (sferoide) cu strat Stern atașat:

$$\varepsilon = \varepsilon_m (1 + \varphi_p \tilde{\beta}_{pe}^*), \quad (1.4.113)$$

unde

$$\tilde{\beta}_{pe}^* = \beta_{pe}^\perp + \Delta\beta_{pe} \langle \cos^2 \gamma \rangle. \quad (1.4.114)$$

La limita  $\zeta_o \ll 1$ , se deduce din (1.4.114), în aproximativă (1.3.59) de ordinul unu în  $s \rightarrow \zeta_o$ ,

$$(\tilde{\beta}_{pe}^*)_{\zeta_o \ll 1} = (\beta_{pe}^\parallel + 2\beta_{pe}^\perp)/3 + [2(\Delta\beta_{pe})^2 \varepsilon_m V_p / 45k_B T] (E_p^a)^2, \quad (1.4.115)$$

adică o dependență pătratică de cîmpul electric activ, analog cu (1.3.64) și (1.4.55).

Pentru cîmpul activ  $E_p^a$  de forma (1.3.9), cu (1.4.112) și (1.4.114) în (1.2.10), rezultă

$$\varepsilon = \varepsilon_m [1 + \varphi_p \tilde{\beta}_{pe}^* / (1 - \varphi_p \tilde{\beta}_{pe}^* / 3)]. \quad (1.4.116)$$

În sfîrșit, în ipoteza cîmpului activ Lorentz (1.3.12), se deduce din (1.4.112) ecuația de tip Clausius-Mossotti:

$$(\varepsilon_r - 1) / (\varepsilon_r + 2) = (n_m^V \alpha_m + n_p^V \tilde{\alpha}_{pe}^*) / 3\varepsilon_0, \quad (1.4.117)$$

unde  $\tilde{\alpha}_{pe}^* = V_p \varepsilon_p \tilde{\beta}_{pe}^*$ , cu  $\tilde{\beta}_{pe}^*$  definit în (1.4.114).

Relațiile anterioare (1.4.113), (1.4.116) și (1.4.117), deduse pentru permisivitatea statică efectivă a LM conținând particule coloidale anizometrice (sferoide) cu strat Stern atașat, generalizează pe (1.4.55), (1.4.56), respectiv (1.4.57).

În scopul determinării efectului polidispersiei LM cu particule anizometrice (sferoide) asupra permisivității sale statice efective, se introduce funcția de repartiție statistică lognormală, care modeliază cel mai bine distribuția volumică a acestor particule [B3,04]. Astfel, pentru fracțiunea de particule anizometrice suspendate din unitatea de volum a LM, care au volumele cuprinse între  $V_p$  și  $V_p + dV_p$ , se poate scrie expresia

$$n_p^V f_{LN}(V_p) dV_p, \text{ unde densitatea de repartiție lognormală [G3,04],}$$

$$f_{LN}(V_p) = (\sqrt{2\pi} \sigma_p^V V_p / V_{p,med})^{-1} \exp \{-[\ln(V_p/V_{p,med}) / \sqrt{2}\sigma_p^V]^2\},$$

este definită prin media geometrică  $v_{p,med}$  a selecției de valori măsurate  $v_{p1}, v_{p2}, \dots, v_{pn}$  ale variabilei aleatoare  $v_p$  și prin abaterea standard  $\sigma_p^V$  a lui  $\ln v_p$ ,

$$\sigma_p^V = [(1/n) \sum_{i=1}^n (\ln v_{pi} - \ln v_{p,med})^2]^{1/2}. \quad (1.4.119)$$

Factorul  $1/\sqrt{2\pi}$  a rezultat din condiția de normare  $\int_0^\infty f_{LN}(v_p) dv_p = 1$ . Înind seama de expresia analitică (1.4.118) a densității de repartiție lognormală, se obține fără dificultate, momentul de selecție de ordinul  $k$  [G3,04]:

$$m_k = \int_0^\infty v_k^p f_{LN}(v_p) dv_p = \exp [k \ln v_{p,med} + (k\sigma_p^V)^2/2]. \quad (1.4.120)$$

Introducind funcția  $f_{LN}(v_p)$  în relația (1.4.54), rezultă pentru coeficientul adimensional al polarizabilității statice medii a particulelor coloidale anizometrice din FM expresia corectată:

$$\beta_p^* = \beta_{p\perp} + \Delta\beta_p \int_0^\infty <\cos^2\gamma> f_{LN}(v_p) dv_p. \quad (1.4.121)$$

La limita  $\zeta \ll 1$ , în baza relațiilor (1.4.55), (1.4.120) și (1.4.121), se obține:

$$\begin{aligned} (\tilde{\beta}_p^*)_{\zeta \ll 1} &= (\beta_{p\parallel} + 2\beta_{p\perp})/3 + \{ 2(\Delta\beta_p)^2 \epsilon_m \exp[\ln v_{p,med} + (\sigma_p^V)^2/2]/ \\ &/45k_B T \} (E_p^a)^2. \end{aligned} \quad (1.4.122)$$

Făcind substituțiile simple  $\beta_{p\parallel} \rightarrow \beta_{pe}^{II}$ ,  $\beta_{p\perp} \rightarrow \beta_{pe}^I$  în (1.4.121) și (1.4.122), rezultă corecțiile relațiilor (1.4.114) și (1.4.115) datorită polidispersiei LM conținind particule anizometrice cu strat Stern atașat.

1.5 Comparația unor rezultate teoretice cu date experimentale dielectrometrice

Pentru a compara rezultatele teoretice referitoare la polarizarea statică a LM cu cele experimentale, singurele date dielectrometrice disponibile au fost cele din lucrarea [I1], selectate în tabelul 1.5.1. Măsurările efectuate în [I1] corespund definiției experimentale (1.2.15) a permisivității statice efective  $\epsilon = \epsilon_0 \epsilon_r$  pentru o probă de LM cu magnetită (de concentrație volumică  $\varphi_p = 0.22$ ) în petrol (de permisivitate relativă  $\epsilon_{rm} = 2.1$ ).

Tabelul 1.5.1

$\epsilon_r$ (exp.)	$\tilde{E}$ (exp.) $/10^5 \text{Vm}^{-1}/$	$\tilde{\beta}_{pe}^1$ (calc.)	$E_p^a$ (calc.) $/10^5 \text{Vm}^{-1}/$	$k_\beta$ (calc.)
4.3	1.5	3.53	2.02	$0.08 \times 10^{-10}$
4.75	1.75	4.04	2.49	$0.11 \times 10^{-10}$
5.15	2.0	4.44	2.98	$0.11 \times 10^{-10}$
5.5	2.25	4.78	3.46	$0.10 \times 10^{-10}$

Intrucit aceste rezultate experimentale s-au obținut în cimp electrostatic intens ( $\tilde{E} \cdot 10^5 / \text{Vm}^{-1}$ ), conform tabelului 1.5.1, modelul teoretic compatibil cu ele este cel al polarizării statice a LM monodisperse conținind particule coloidale sférici grupate în lanțuri lungi. Astfel, în baza relației (1.3.66) cu  $\tilde{\beta}_{pe} \rightarrow \tilde{\beta}_{pe}^1$  și a datelor experimentale din tabelul 1.5.1, s-a calculat coeficientul adimensional al polarizabilității statice

$$\tilde{\beta}_{pe}^1 = 3(\epsilon_r - \epsilon_{rm}) / \varphi_p (\epsilon_r + 2\epsilon_{rm}), \quad (1.5.1)$$

valorile corespunzătoare obținute fiind inscrise în tabelul 1.5.1.

Dacă se admite expresia teoretică (1.3.71) - (1.3.72) a lui  $\tilde{\beta}_{pe}^1$ , în care se consideră valorile uzuale  $\beta_{p(e)} \approx 3$  și

$R/l_{ij} \approx 1/2.5$ .  $l_{ij}$  fiind lungimea liniei centrelor a două particule sferice adiacente i și j din cadrul unui lanț lung, atunci se poate scrie dezvoltat:

$$\begin{aligned}\tilde{\beta}_{pe}^1 = & 3 - 3 \cdot 2 \left\{ (1/2.5)^3 [1 + (1/2.5)^3]^{-1} + (1/2.5 \cdot 2)^3 [1 + (1/2.5 \cdot 2)^3]^{-1} + \dots \right\} \\ & + 9 \cdot 2 [1/3 + k_\beta (\mathbf{E}_p^a)^2] \left\{ (1/2.5)^3 [1 + (1/2.5)^3]^{-1} [1 - 2(1/2.5)^3]^{-1} + \right. \\ & \left. + (1/2.5)^3 [1 + (1/2 \cdot 2.5)^3]^{-1} [1 - 2(1/2 \cdot 2.5)^3]^{-1} + \dots \right\}. \quad (1.5.2)\end{aligned}$$

Reținând numai primii patru termeni ai seriilor rapid convergente din (1.5.2), se obține, după efectuarea calculelor:

$$\tilde{\beta}_{pe}^1 \approx 2.572 + 1.447 [1/3 + k_\beta (\mathbf{E}_p^a)^2] = 3.054 + 1.447 k_\beta (\mathbf{E}_p^a)^2. \quad (1.5.3)$$

În relația anterioară (1.5.3), valorile cîmpului electric activ  $\mathbf{E}_p^a$  pot fi calculate în funcție de cele ale cîmpului electrostatic macroscopic  $\tilde{\mathbf{E}}$ , conform ecuației (1.3.9) – (1.3.10), rezultind

$$\mathbf{E}_p^a = \tilde{\mathbf{E}} / (1 - \varphi_p \tilde{\beta}_{pe}^1 / 3). \quad (1.5.4)$$

Valorile astfel obținute pentru  $\mathbf{E}_p^a$  sunt inscrise în tabelul 1.5.1.

Pentru ca expresia teoretică (1.5.3) să fie corectă, trebuie

– pentru diferitele valori ale lui  $\tilde{\beta}_{pe}^1$  și  $\mathbf{E}_p^a$  din tabelul 1.5.1, calculate cu (1.5.1) și în baza datelor experimentale din acel tabel – să se obțină o valoare practic constantă a parametrului adimensional  $k_\beta$ . Întrucît pentru  $k_\beta$  au rezultat din calcul valori suficient de apropiate, inscrise în ultima coloană a tabelului 1.5.1, modelul teoretic al polarizării statice a LM cu lanțuri lungi de particule coloidale sferice, în aproximarea (1.3.72), este validat.

## 2. CONDUCȚIA ELECTRICĂ ÎN REGIM STAȚIONAR A LICHIDELOR MAGNETICE

Conducția electrică în regim staționar a LM cu magnetită în petrol și acid oleic ca surfactant poate fi interpretată microscopic prin :

-deplasarea contraionilor ( pozitivi ) în SDE de tip Stern de la suprafața fiecărei particule coloidale , cu consecința încărcării electrice globale a particulei , care poate , astfel , efectua o mișcare electroforetică;

-migrarea ionilor de impurități introdusi în mediul de suspensie la prepararea chimică a LM. Aceste posibile mecanisme electroconductive de regim staționar ale LM din clasa considerată fost invocate atât în lucrările [ F2 , G4 ] , reprezentând studii exclusiv experimentale , cît și de autor în [ R3 , R6 ].

### 2.1. Conductivitatea electrică efectivă a lichidelor magnetice cu particule coloidale sferice

Ca parametru constitutiv macroscopic al LM , conductivitatea electrică (de regim staționar) efectivă  $\sigma$  se poate determina experimental cu ajutorul unei celule de măsurat cu electrozi perfecțiuni conductori , plani , paraleli , de suprafață activă A , situați la distanță d și supuși acțiunii unei tensiuni electrice continue U . Valoarea măsurată U/d poate fi identificată cu modulul mediei (1.2.1 ) a vectorului-cimp electric staționar local E pe volumul al unui eșantion reprezentativ de LM , volum suficient de mic să raport cu dimensiunile celulei conductometrice , dar conținând un număr semnificativ statistic de particule coloidale de magnetită . La rîndul ei , densitatea măsurată i/A a currentului electric net în ce străbate LM dintre electrozii celulei , poate fi identificată cu modulul mediei volumice :

$$\tilde{j} = (\int_V j dv) / V \quad (2.1.1)$$

a vectorului densității locale rezultante de curent electric.

Evident , mărurile macroscopice  $\tilde{E}$  și  $\tilde{j}$  nu depind de forma volumului infinit mic fizic V .

Dacă se admite cîmpul electric staționar , stabilit între cei doi electrozi ai celulei de măsurat , ca avînd o intensitate relativ mică , iar LM ca fiind un mediu omogen și izotrop statistic , atunci se poate adopta relația liniară :  $\tilde{j} = \sigma \tilde{E}$ , ca definiție operatională a conductivității electrice ( de regim staționar ) efective a LM :

Din punct de vedere experimental , relația ( 2.1.2 ) , în cazul celulei conductometrice cu electrozi plani , paraleli , revine la:

$$\sigma = \tilde{j} / \tilde{E} = (i/A) / (U/d) = (d/A) / (U/i), \quad (2.1.3)$$

în baza căreia  $\sigma$  se poate determina măsurînd rezistența electrică  $U/i$  a coloanei de LM din celulă , după ce , în prealabil , s-a evaluat constanta  $d/A$  a celulei.

Din punct de vedere teoretic , calculul lui  $\sigma$  conform definiției ( 2.1.2. ) impune interpretarea microscopică adekvată a mediei volumice a densității locale rezultante de curent electric din LM. În acest scop , LM se presupune o suspensie coloidală monodispersă , suficient de diluată , cu particule sferice înconjurate cu SDE de tip Stern de grosime neglijabilă . Fiecare particulă se consideră singură într-un mediu de suspensie infinit și în prezența cîmpului electric staționar și uniform . Se adoptă un sistem de referință centrat pe o particulă coloidală arbitrară și mobil odată cu aceasta cu viteza mișcării ei electroforetice . Față de acest referențial , în mediul de suspensie al LM ce include mai multe specii k de ioni , de ambele semne , provenind din impurități chimice , densitatea locală rezultantă de curent electric microscopic ( ionic ) are expresia generală :

$$\bar{j}_m = \sum_k (b_k | \rho_k^V | \bar{E} - d_k \text{grad } \rho_k^V + \rho_k^{V-} \bar{V}). \quad (2.1.4)$$

Aceasta conține :

- o componentă conductivă ( ohmică )  $\sum_k b_k | \rho_k^V | \bar{E}$ ,  $b_k$  și  $\rho_k^V$  fiind

mobilitatea volumică, respectiv densitatea volumică de sarcină electrică, a speciei k de ioni de impurități; întrucât s-a admis un cîmp electric staționar aplicat de intensitate slabă,  $\rho_k^V$  diferă nesemnificativ de valoarea de echilibru (în absență cîmpului)  $\rho_{k,0}^V$  și, deci, se poate face aproximăția:

$$b_k |\rho_k^V| \bar{E} \approx b_k |\rho_{k,0}^V| \bar{E}. \quad (2.1.5)$$

- o componentă difuzivă,  $-\sum_k d_k \text{grad } \rho_k^V$ , datorată

neuniformității locale a distribuțiilor concentrațiilor ionice,  $d_k$  fiind difuzivitatea volumică a ionilor de specie k; la scrierea relației de definiție (2.1.2), s-a făcut implicit ipoteza inexistenței gradientului macroscopic de concentrație pentru orice specie k de ioni, adică:

$$\int_V \text{grad } \rho_k^V dv = 0. \quad (2.1.6)$$

- o componentă convectivă,  $\sum_k d_k^{V\bar{v}}$ ,  $\bar{v}$  fiind viteza

locală a lichidului de suspensie în referențialul adoptat; impunînd condiția de electroneutralitate pentru repartițiile de echilibru ale concentrațiilor ionice, se poate scrie

$$\sum_k d_k^{V\bar{v}} \approx \sum_k d_{k,0}^V \bar{v} = \bar{v} \sum_k d_{k,0}^V = 0, \quad (2.1.7)$$

relație ce permite neglijarea, în continuare, a densității curentului ionic de convecție și, deci, definirea lichidului de suspensie a LM ca mediu electrodifuziv [T4].

În ipotezele anterioare, densitatea locală rezultantă a curentului electric microscopic (ionic) din mediul de suspensie este:

$$\bar{j}_m \approx \sigma_m \bar{E} - \sum_k d_k \text{grad } \rho_k^V, \quad (2.1.8)$$

unde cu  $\sigma_m = \sum_k b_k |\rho_{k,0}^V|$  s-a notat conductivitatea electrică a tuturor speciilor k de ioni de impurități conținute în mediul de suspensie. Evident, conductivitatea electrică intrinsecă a petrolului este neglijabilă față de  $\sigma_m$ .

În interiorul particulei coloidale de magnetită, densitatea curentului ionic este zero. Dimpotrivă, contraionii (pozitivi) din SDE de tip Stern atașat particulei coloidale creează o densitate superficială locală de curent,  $j_s^S$ , nenulă în regim stationar. Ea conține o componentă de conductie și una de difuzie conform (1.3.16), respectiv (1.3.17), pentru o particulă coloidală sferică. Față de aceste două componente ale lui  $j_s^S$ , cea convectivă (electroosmotică) datorată curgerii lichidului de suspensie din jurul particulei coloidale, se negligează.

În aproximarea adoptată a stratului Stern subțire, acesta se reduce la un mediu electrodifuziv asociat chiar suprafetei  $\Sigma_p$  a particulei coloidale sferice, astfel că expresia lui  $j_s^S$  se particularizează din (1.3.16) - (1.3.17):

$$\bar{j}_s^S \approx \sigma_s^S [\bar{E}_\theta]_{\Sigma_p} - d_c [\text{grad } \rho_s^S]_{\Sigma_p}, \quad (2.1.9)$$

unde  $[\bar{E}_\theta]_{\Sigma_p}$  definește componenta tangențială la suprafață a particulei sferice a cîmpului electric (local) stationar, iar  $\sigma_s^S = b_c \rho_{s,0}^S$ , conductivitatea electrică superficială a stratului Stern subțire (respectiv, a contraionilor conținuți în el) atașat particulei. În expresia lui  $\sigma_s^S$  s-a înlocuit  $\rho_s^S$  prin valoarea sa constantă (pozitivă) de echilibru,  $\rho_{s,0}^S$  (în absența cîmpului), deoarece s-a presupus că perturbația indușă de cîmpul electric stationar de slabă intensitate în distribuția densității superficiale de sarcină a contraionilor este redusă.

Tinind seama de relațiile anterioare (2.1.6) și (2.1.8), media volumică (2.1.1) a densității locale rezultante de curent electric din LM se poate scrie în forma:

$$\bar{j} = \left( \int_V j dv \right) / V = \left( \int_V j_m dv \right) + \left[ \int_V (j - j_m) dv \right] / V = \sigma_m (\int_V \bar{E} dv) / V$$

$$-\sum_k d_k \left( \int_V \text{grad } \rho_k^V dv \right) / V + \left[ \int_V (j - j_m) dv \right] / V = \sigma_m \bar{E} + \left[ \int_{V_p^!} (j - j_m) dv \right] / V. \quad (2.1.10)$$

Întrucit integrandul din (2.1.10) este aproximativ zero în partea din  $V$  situată în afara particulelor coloidale, relația (2.1.10)

$$\text{este echivalentă cu } \bar{j} = \sigma_m \bar{E} + n_p \int_{V_p^!} (j - j_m) dv, \quad (2.1.11)$$

unde  $V_p^!$  reprezintă un volum din  $V$  ce conține în interiorul lui numai particula coloidală sferică de referință cu stratul Stern subțire atașat.  $V$  este mărginit de o suprafață exterioară suficient de depărtată de suprafața  $\Sigma_p$  a particulei coloidale de referință conținute în  $V$ .

Calculul direct al integralei de volum din (2.1.11) poate fi evitat prin utilizarea ca variabilă auxiliară a funcției globale de potențial ionic  $\Phi$ , introdusă prin

$$\bar{j}_m = \sigma_m [\bar{E} - \sum_k (d_k / \sigma_m) \text{grad } \rho_k^V] = \sigma_m \text{grad } \Phi, \quad (2.1.12)$$

în punctele din  $V_p^!$  situate în afara particulei coloidale de referință, respectiv prin

$$\bar{j}_s^S = \sigma_s^S \{ [\bar{E}_\theta]_{\Sigma_p} - (d_c / \sigma_s^S) [\text{grad}_\theta \rho_s^S]_{\Sigma_p} \} = \sigma_s^S [\text{grad}_\theta \Phi]_{\Sigma_p}, \quad (2.1.13)$$

în punctele din  $V_p^!$  situate chiar pe suprafața  $\Sigma_p$  a particulei sferice și stratului Stern subțire atașat acesteia. Se demonstrează în [O1] că, dacă funcția  $\Phi$  are, la distanțe suficiente de mari de particula coloidală din  $V_p^!$ , comportarea

$$\Phi \approx \bar{E} \cdot \bar{r} + \bar{B}_1 \cdot \bar{r} / r^3, \quad (2.1.14)$$

$\bar{r}$  fiind vectorul de poziție în referentialul centrat pe particula

coloidală , atunci

$$\int_{V_p} (\bar{j} - \bar{j}_m) dV = -4\pi\sigma_m \bar{B}_1. \quad (2.1.15)$$

În cazul de față , forma asimptotică a funcției globale de potențial ionic  $\Phi$  se obține astfel . Deoarece, în regim stationar , fluxul ionic net în orice volum elementar al mediului de suspensie trebuie să fie zero , rezultă

$$\operatorname{div} \bar{j}_m = 0, \quad (2.1.16)$$

ceea ce , conform relației (2.1.12) , conduce la  $\Delta\Phi=0$ , (2.1.17), adică funcția  $\Phi$  satisface o ecuație Laplace în mediul de suspensie din afară particulei coloidale de referință din  $V_p$ . Condițiile la limită asociate acestei ecuații sunt:

$$(\Phi)_{r \rightarrow \infty} = \tilde{\mathbf{E}} \cdot \bar{r}, \quad (2.1.18)$$

adică suficient de departe de particula coloidală sferică, potențialul ionic global este determinat numai de cîmpul electric

stationar și uniform  $\tilde{\mathbf{E}}$  (întrucit  $(\tilde{\mathbf{E}})_{r \rightarrow \infty} \approx \tilde{\mathbf{E}}$ ,  $(\rho_k^V)_{r \rightarrow \infty} \approx \rho_{k,0}^V$ );

$$\operatorname{div}_s \bar{j}_m|_{\Sigma_p} - [\operatorname{div}^* \bar{j}_s^S]_{\Sigma_p} = 0, \quad (2.1.19)$$

adică legea conservării sarcinii electrice [D5,M3], în regim electrodifuziv stationar, la suprafața  $\Sigma_p$  a particulei coloidale sferice, pe care se definește divergența bidimensională  $\operatorname{div}^*$ . Dacă referențialul adoptat, centrat pe particula coloidală, este un sistem de coordonate sferice (  $r, \theta, \varphi$  ) cu axa  $\theta=0$  orientată în sensul cîmpului electric stationar și uniform  $\tilde{\mathbf{E}}$  , atunci  $\Sigma_p$  este chiar sferă de rază  $r = R$ , iar relația anterioară (2.1.19.) se scrie dezvoltat, ținind seama de (2.1.12), (2.1.13) și de simetria azimutală :

$$\partial \Phi / \partial r + (\sigma_s^S / \sigma_m R^2) \sin \theta \partial [\sin \theta \partial \Phi / \partial \theta] / \partial \theta = 0. \quad (2.1.20)$$

Din (2.1.17) și (2.1.18), se obține:

$$\Phi(r, \theta) = \tilde{E} r \cos \theta + \sum_{n=0}^{\infty} B_n r^{-(n+1)} P_n(\cos \theta). \quad (2.1.21)$$

Combinând (2.1.21) cu (2.1.20) și ținind cont că polinoamele Legendre sunt liniar independente, rezultă :

$$B_1 = R^3 \tilde{E} (1 - 2\Omega) / 2(1 + \Omega), \quad (2.1.22)$$

$$B_n = 0, \text{ pentru } n \neq 1, \quad (2.1.23)$$

unde cu  $\Omega$  s-a notat parametrul adimensional  $\sigma_s^S / \sigma_m R$ .

Relațiile deduse anterior (2.1.21)-(2.1.23) dovedesc că funcția globală de potențial ionic  $\Phi(r, \theta)$  are, în cazul considerat, o comportare de forma (2.1.14) la distanțe suficient de mari de particula coloidală de referință. Ca urmare, este justificată introducerea în (2.1.11) a relațiilor (2.1.15) și (2.1.22), obținându-se astfel:

$$\tilde{j} = \sigma_m \{1 + (3/2) \varphi_p [3\Omega / (1 + \Omega) - 1]\} \tilde{E}, \quad (2.1.24)$$

unde s-a utilizat definiția cunoscută

$$\varphi_p = n_p^V V_p = n_p^V (4\pi R^3 / 3).$$

În sfîrșit, din comparația relațiilor (2.1.2) și (2.1.24) rezultă expresia de calcul a conductivității electrice (de regim stationar) efective  $\sigma$  a LM diluate cu particule coloidale sferice:

$$\sigma = \sigma_m \{1 + (3/2) \varphi_p [3\Omega / (1 + \Omega) - 1]\}. \quad (2.1.25)$$

Ea evidențiază contribuția electroconductivă atât a mediului de suspensie cu ionii de impurități chimice conținuți în el, cât și a particulelor coloidale cu strat Stern ( subțire ) atașat.

Se observă, de asemenea, din (2.1.25), că  $\sigma$  poate varia între limitele:

$$\sigma|_{\Omega \ll 1} = \sigma_m (1 - 3\varphi_p / 2), \quad (2.1.26)$$

în cazul cînd LM ar conține particule coloidale sferice, neîncărcate electric și fără SDE atașat, respectiv

$$\sigma|_{\Omega \gg 1} = \sigma_m (1 + 3\varphi_p), \quad (2.1.27)$$

în cazul cînd concentrațiile ionilor de impurități din mediul de suspensie sunt foarte reduse, ca urmare a spălărilor repetate ale precipitatului de magnetită la prepararea chimică a LM.

## 2.2. Comparația rezultatelor teoretice cu date experimentale conductometrice

Conductivitatea electrică (de regim stationar) efectivă a LM se determină experimental, în baza relației (2.1.3), cu ajutorul unei celule conductometrice standard cu doi electrozi plani, paraleli, platinați prin depunere electrolitică pentru minimizarea rezistenței (parazite) de polarizare la electrozi.

În același scop, măsurătorile se pot efectua nu în c.c., ci în c.a. de foarte joasă frecvență, la care impedanța celulei este, practic, rezistivă (capacitatea proprie fiind neglijabilă). Se poate utiliza, astfel, fie puntea Kohlrausch, fie conductometrele specializate pentru lichide, ambele instalații de măsurare avînd schema electrică de principiu din fig. 2.2.1.

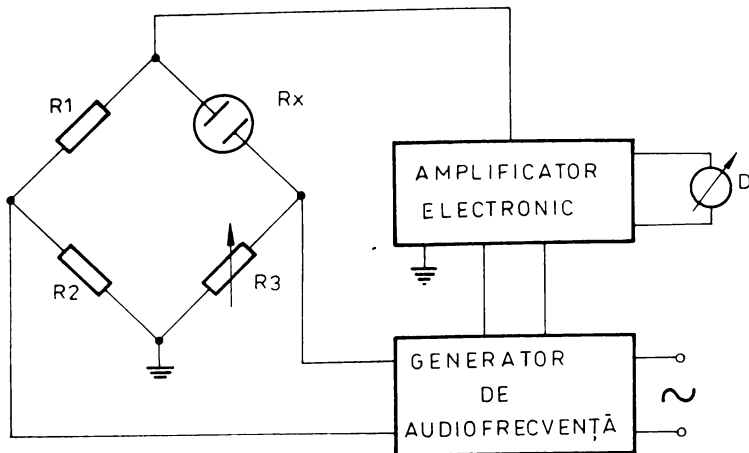


Fig.2.2.1. Schema electrică de principiu a instalației de măsurare a conductivității electrice efective a LM.

Aceasta conține ca elemente esențiale o punte Wheatstone alimentată de la rețea printr-un oscilator de audiofrecvență , un amplificator electronic și un detector (D). În brațele punții Wheatstone de măsurare , Rx reprezintă celula conductometrică standard de c.a. ,R1 și R2 , rezistoare etalon ( aflate într-un raport rezistiv variabil după legea  $10^n$  ) , iar R3 , un potențiometru de mare precizie pentru echilibrarea punții.

Autorul a utilizat un conductometru de c.a. cu citire directă , de tip LTB-Seibold (Austria) , realizat cu circuite integrate și permitînd compensarea manuală sau automată a influenței temperaturii asupra rezultatelor măsurătorilor. După determinarea prealabilă a constantei celulei de măsurare a aparatului cu ajutorul unei soluții etalon , s-au efectuat determinări conductometrice la frecvență joasă de 25 Hz și la temperatura ambientă (295 K) pentru patru probe de LM , avînd parametrii de bază din tabelul 2.2.1.

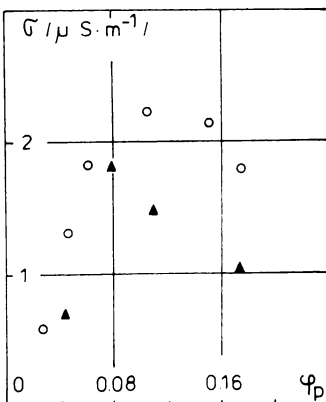
Se precizează , că primele trei probe de LM au fost fabricate la

Universitatea Tehnică din Timișoara , iar proba IV a fost preparată de autor prin diluția corespunzătoare cu petrol a probei II. Pentru aceste patru probe de LM s-au obținut datele conductometrice simbolizate cu triunghiuri înnegrite în fig. 2.2.2. Tot aici sunt reprezentate cu cerculete rezultatele experimentale similare din [F2,G4] , obținute , însă , în c.c. și la 323/K/ , prin diluția progresivă cu petrol a unei singure probe de LM. Deși apar unele diferențe datorate , în principal , temperaturilor de lucru diferite se poate observa același ordin de mărime ( $\mu\text{S}/\text{m}$ ) al conductivității electrice efective a LM.  $\sigma$  este mult inferioară conductivității magnetitei din care sunt constituite particulele coloidale . Pe de altă parte ,  $\sigma$  este cu aproximativ trei ordine de mărime superioară conductivității electrice intrinseci a petrolului ( $\sigma_{\text{petrol}} \sim 10^{-9} / \text{Sm}^{-1}$ /).

Tabelul 2.2.1

Proba de LM	Densitatea masică a probei $\text{gcm}^{-3}$ /	$\varphi_p$
I	1.53	0.175
II	1.254	0.11
III	1.13	0.08
IV	1.016	0.052

Fig. 2.2.2. Variatia conductivitatii electrice a LM in functie de concentratia volumica a fazei suspendate .



Conform fig.2.2.2 ,  $\sigma(\varphi_p)$  reprezintă o funcție nemonotonă. Astfel, pentru LM diluate ea crește cu  $\varphi_p$ , ceea ce este în concordanță cu relația (2.1.25) (respectiv , (2.1.27 )) dedusă teoretic pentru aceste LM.  $\sigma(\varphi_p)$  își atinge maximul pentru o valoare critică  $\varphi_{pk}$ ,  $0.08 \leq \varphi_{pk} \leq 0.16$ , iar apoi scade cu  $\varphi_p$  pentru LM mai concentrate.

Dacă sunt determinabile experimental ambele dependențe  $\sigma(\varphi_p)$  și  $\sigma_m(\varphi_p)$  pentru probe de LM suficient de diluate , relația de calcul (2.1.27) permite definirea unui indicator conductometric de calitate a acestor LM , prin care se poate controla , în fapt , procesul lor de preparare chimică. Astfel , reprezentind grafic incrementul conductivității electrice relative  $\sigma/\sigma_m - 1$ , în funcție de  $\varphi_p$ , conform relației (2.1.27) trebuie să se obțină o dreaptă trecând prin originea axelor și de pantă  $\approx 3$  pentru un LM diluat , dacă la prepararea chimică a acestuia s-a efectuat spălarea corespunzătoare a precipitatului de magnetită .

În sfîrșit , relația teoretică (2.1.25) , valabilă pentru LM diluate cu magnetită nespălată , evidențiază , principial , o metodă de estimare a conductivității electrice superficiale  $\sigma_s^S$  a stratului Stern subțire atașat particulelor coloidale (respectiv , a potențialului zeta al acestuia ), dacă se pot determina experimental conductivitățile  $\sigma(\varphi_p), \sigma_m$  și raza medie R a particulelor sferice suspendate.

### 3. COMPORTAREA LICHIDELOR MAGNETICE ÎN CÎMP ELECTRIC ARMONIC ȘI UNIFORM

În capitolile precedente au fost studiate teoretic și experimental proprietățile dielectrice ale LM în cîmp electric static și uniform, respectiv proprietățile lor electroconducțoare în cîmp electric staționar și uniform. Ca toate soluțiile coloidale, LM nu sunt, însă, nici dielectrici, nici conductori perfecti. De aceea, pentru caracterizarea macroscopică globală a proprietăților lor electrice este necesară utilizarea conceptului de conductivitate electrică generalizată (complexă) efectivă  $K$ , prin care se descrie răspunsul LM la acțiunea unui cîmp electric armonic în timp și uniform în spațiu. După cum se va arăta în continuare  $K$  reprezintă o funcție complexă de pulsări  $\omega$  ( $=2\pi f$ ,  $f$  fiind frecvența) a cîmpului electric aplicat. Studiul comportării LM cu magnetită în petrol și acid oleic ca surfactant în cîmp electric armonic a fost efectuat, din punct de vedere experimental, în lucrările [C7, D1, G4, R3, R5, R8]. Studiul a fost abordat teoretic, pentru prima dată, în lucrarea [S7], în baza unui model simplificat, în care LM s-a considerat o suspensie coloidală diluată, monodispersă, de particule sferice perfect conductoare.

Un alt model teoretic de studiu al proprietăților electrice de joasă și înaltă frecvență, specifice LM diluate conținind particule coloidale izometrice sau anizometrice cu SDE de tip Stern atașat, a fost propus de autor în lucrările [R6, R9].

#### 3.1. Conductivitatea electrică generalizată (complexă) efectivă a lichidelor magnetice

Parametrul constitutiv macroscopic al LM supuse acțiunii unui cîmp electric armonic în timp și uniform în spațiu îl reprezintă conductivitatea electrică generalizată (complexă) efectivă, dependență de frecvență,  $K(\omega)$ , pentru definirea căreia se procedează astfel.

Se consideră o celulă de măsurare conținând un condensator cu armături plane, paralele, de arie activă A, imersate în LM. Condensatorul plan are distanța d dintre armături reglabilă, dar oricum suficient de mică în raport cu dimensiunile armăturilor. Aplicind la bornele condensatorului o tensiune electrică sinusoidală, cu reprezentarea în complex  $U_{exp}(jwt)$  în spațiul dintre armături umplut cu LM se stabilește un cîmp electric armonic și uniform, a cărui medie volumică este de forma (1.2.1.), dar pentru  $\tilde{E}_{exp}(jwt)$ , amplitudinea vectorială  $\tilde{E}$  avind un modul ce poate fi identificat cu valoarea măsurabilă U/d.

Curentul total prin LM dintre armăturile condensatorului plan este  $I_{exp}(jwt) = \underline{Y}U_{exp}(jwt)$ ,  $\underline{Y}$  fiind admitanța complexă a celulei de măsurare. Densitatea locală a acestui curent (incluzând și densitatea curentului de deplasare) are media volumică de forma (2.1.1), dar pentru  $\tilde{j}_{exp}(jwt)$ , amplitudinea vectorială  $\tilde{j}$  avind un modul ce poate fi identificat cu mărimea măsurabilă  $I/A$ .

Dacă se admite cîmpul electric armonic și uniform, stabilit între armăturile condensatorului plan, ca fiind de slabă intensitate, iar LM diluat dintre armături, ca fiind un mediu omogen și izotrop statistic, atunci se poate adopta relația liniară

$$\tilde{j} = \underline{K}(\omega)\tilde{E}$$

ca definiție operațională a conductivității electrice generalizate (complexă) efective, dependente de frecvență,  $\underline{K}(\omega)$ , a LM.

Experimental,  $\underline{K}(\omega)$  se poate determina măsurind admitanța complexă  $\underline{Y}(\omega)$  a celulei umplute cu LM, întrucît:

$$\underline{K}(\omega) = \tilde{j}/\tilde{E} = (\underline{I}/A)/(\underline{U}/d) = (d/A)\underline{Y}(\omega). \quad (3.1.2)$$

După cum se observă din relația anterioară (3.1.2),  $\underline{K}(\omega)$  reprezintă, de fapt, admitanța complexă specifică a celulei de măsurare conținând proba de LM. La rîndul ei, constanta d/A se poate determina prin etalonarea celulei.

Conform schemei echivalente a condensatorului plan cu pierderi dielectrice din fig. 3.1.1, valabilă pentru celula de măsurare umplută cu LM,

$$Y(\omega) = G_d(\omega) + G_o(\omega) + j|B_d(\omega)|, \quad (3.1.3)$$

unde

$$G_d(\omega) = \omega\epsilon''(\omega)A/d \quad (3.1.4)$$

dă reprezentă conductanța așa-numitei conductivități dielectrice efective, dependente de frecvență,  $\omega\epsilon''(\omega)$ , a LM,

$$G_o(\omega) = \sigma'(\omega)A/d \quad (3.1.5)$$

reprezintă conductanța corespunzătoare conductivității ohmice (de regim armonic) efective, eventual dependente de frecvență,  $\sigma'(\omega)$ , a LM, iar

$$|B_d(\omega)| = \omega\epsilon''(\omega)A/d. \quad (3.1.6)$$

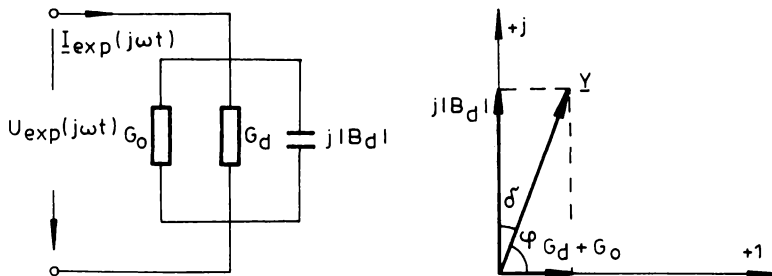


Fig. 3.1.1. Admitanța complexă a celulei de măsurare umplute cu LM.

Trebuie precizat că parametrii constitutivi  $\epsilon'(\omega)$ ,  $\sigma'(\omega)$  și  $\epsilon''(\omega)$  ai LM în cîmp electric armonic de pulsărie  $\omega$  se regăsesc în definiția cunoscută [B1, H1, R16] a permitivității complexe efective, dependente de frecvență, a LM:

$$\underline{\epsilon}(\omega) = \epsilon_0 \epsilon_r(\omega) = \epsilon'(\omega) - j(\epsilon''(\omega) + \sigma'(\omega)/\omega) =$$

$$= \epsilon_0 [\epsilon'_r(\omega) - j(\epsilon''_r(\omega) + \sigma'(\omega)/\epsilon_0 \omega)], \quad (3.1.7)$$

dе unde și denumirea de permittivitate reală efectivă (depinzintă de frecvență) atribuită lui  $\epsilon'(\omega) = \epsilon_0 \epsilon'_r(\omega)$ .

Înind seama de relațiile anterioare (3.1.2)-(3.1.7), rezultă pentru  $K(\omega)$  definiția experimentală:

$$K(\omega) = (d/A) Y(\omega) = [\sigma'(\omega) + \omega \epsilon''(\omega)] + j\omega \epsilon'(\omega) = j\omega \underline{\epsilon}(\omega). \quad (3.1.8)$$

Din punct de vedere teoretic, calculul conductivității electrice generalizate (complexă) efective, dependente de frecvență,  $K(\omega)$ , a LM, conform (3.1.1), impune interpretare microscopică adecvată a mediei volumice  $\tilde{j}$ . În acest scop, LM se presupune un sistem coloidal monodispers, suficient de diluat, cu particule suspendate înconjurate de SDE de tip Stern, astfel că fiecare particulă coloidală poate fi considerată singură într-un mediu de suspensie infinit și în prezență cimpului armonic și uniform  $\tilde{E} \exp(j\omega t)$ . După cum se va arăta în continuare, acest cimp induce în particula cu strat Stern atașat un moment electric dipolar alternativ, a cărui medie  $\tilde{p}_p \exp(j\omega t)$  pe ansamblul particulelor coloidale din volumul infinit mic fizic  $V$  de LM are amplitudinea  $\tilde{p}_p$  determinată asupra lui  $K(\omega)$ . Altfel spus, pentru descrierea comportării LM în cimpul electric armonic și uniform trebuie analizate procesele electrodinamice, care afectează amplitudinea momentului dipolar alternativ indus în particula coloidală de cimpul electric  $\tilde{E} \exp(j\omega t)$ .

Față de un referențial atașat particulei coloidal considerate și mobil odată cu aceasta cu viteza oscilațiilor electroforetice, de regim armonic, amplitudinea densității currentului electric total într-un punct din mediul de suspensie al LM (supus acțiunii cimpului electric armonic și uniform reprezentă suma vectorială:

$$\tilde{j}_m + j\omega \epsilon_m \tilde{E}, \quad (3.1.9)$$

unde  $\bar{j}_m$  are o expresie analogă cu (2.1.8), iar  $\epsilon_m$  definește permisivitatea mediului de suspensie. Se consideră, că ionii de

ambele semne, rezultați prin disocierea electrolitică a moleculelor de impurități chimice din mediul de suspensie, sunt într-o concentrație suficient de redusă și de lent variabilă în timp, încât se poate neglija difuzia lor macroscopică. Aceasta revine la aproximarea

$$\bar{j}_m \approx \sum_k b_k |\rho_{k,o}|^V \bar{E} = \sigma_m \bar{E}, \quad (3.1.10)$$

unde s-au păstrat notațiile și definițiile din (2.1.8).

În interiorul particulei coloidale de referință, densitatea de curent electric este nulă. Dimpotrivă, SDE de tip Stern atașat particulei posedă pe suprafața sa exterioară o densitate locală de curent (a contraionilor) nenulă în regim armonic,  $j_s^S \exp(j\omega t)$ . Aceasta conține în general o componentă de conductie și una de difuzie, similar regimului stationar. Cimpul electric armonic și uniform aplicat fiind presupus de slabă intensitate, perturbația indusă de el în densitatea superficială de sarcină a contraionilor din stratul Stern se poate admite că este de forma  $\delta\rho_s^S \exp(j\omega t)$  și că este datorată integral fluxurilor de conductie și de difuzie, tangențiale la suprafața exterioară a stratului Stern, ale contraionilor, adică

$$j\omega\delta\rho_s^S = -\operatorname{div} j_s^S. \quad (3.1.11)$$

Tinând seama de relațiile anterioare (3.1.9), (3.1.10), media volumică a amplitudinii densității rezultante de curent electric din LM se poate scrie, analog cu (2.1.10):

$$\tilde{j} = (\int_V \bar{j} dV)/V = [\int_V (\bar{j}_m + j\omega\epsilon_m \bar{E}) dV]/V +$$

$$+ [\int_V (j - \bar{j}_m - j\omega\epsilon_m \bar{E}) dV]/V = (\sigma_m + j\omega\epsilon_m)(\int_V \bar{E} dV)/V$$

$$\begin{aligned}
 & + n_p^V \left\langle \int_{V'_p} [j - (\sigma_m + j\omega\epsilon_m)E]dV \right\rangle \\
 & = K_m \tilde{E} + n_p^V \left\langle \int_{V'_p} (j - K_m \bar{E})dV \right\rangle, \quad (3.1.12)
 \end{aligned}$$

unde  $K_m = \sigma_m + j\omega\epsilon_m$  definește conductivitatea electrică generalizată (complexă), independentă de frecvență, a mediului de suspensie al LM,  $V'_p$  păstrează definiția din (2.1.10), iar parantezele unghiulare simbolizează medierea efectuată pe ansamblul particulelor coloidale din volumul infinit mic fizic  $V$  de LM. În expresia lui  $K_m$ , pot fi considerate conductivitatea electrică de regim staționar  $\sigma_m$  a mediului de suspensie și permisivitatea lui statică  $\epsilon_m$ .

Calculul direct al integralei de volum din (3.1.12) poate fi evitat prin introducerea ca variabilă a potențialului electric complex  $\Phi = \exp(j\omega t)$ . Se arată în [03] că, dacă amplitudinea  $\Phi$  a acestui potențial are la distanță suficient de mare de particula coloidală de referință forma asymptotică

$$\Phi \approx \tilde{E} \cdot r + \frac{\tilde{E}}{r} r / 4\pi\epsilon_m r^3, \quad (3.1.13)$$

atunci

$$\left\langle \int_{V'_p} (j - K_m \bar{E})dV \right\rangle \approx K_m \frac{\tilde{E}}{r} / \tilde{E}\epsilon_m \quad (3.1.14)$$

și introducind relațiile (3.1.12) și (3.1.14) în (3.1.10), se obține pentru  $K(\omega)$  definiția teoretică

$$K(\omega) = K_m (1 + n_p \frac{\tilde{E}}{r} / \tilde{E}\epsilon_m). \quad (3.1.15)$$

### 3.1.1. Cazul lichidelor magnetice izometrice

Pentru utilizarea expresiei (3.1.15), de calcul al

conductivității electrice efective generalizate  $K(\omega)$ , în cazul unui LM monodispers, conținind particule coloidale sferice și aflat sub acțiunea cimpului electric uniform și armonic, trebuie, mai întii, dovedit că potențialul  $\Phi$  are, în acest caz, forma asimptotică (3.1.13), iar, apoi, trebuie identificată în (3.1.13) amplitudinea  $\tilde{E}_p$  a momentului dipolar (alternativ) induc mediu al particulelor.

Să admite, în continuare, că densitățile volumice de sarcină ale ionilor de impurități în concentrație mică din mediul de suspensie al LM satisfac condiția de electronneutralitate.

Ca referențial atașat particulei singulare considerate, se adoptă sistemul de coordonate sferice  $(r, \theta, \varphi)$ , definit în figura 1.3.1, adică având originea în centrul particulei sferice și axa  $\theta=0$  orientată în sensul cimpului electric armonic și uniform  $\tilde{E} \exp(j\omega t)$ .

Să studiază, mai întii, cazul simplu al particulei coloidale singulare, neîncărcate electric și fără SDE atașat, având forma unei sfere omogene de rază  $r=R$  și conductivitatea electrică generalizată  $K_p = \sigma_p + j\omega\epsilon_p$ . Particula este imersată în mediul de suspensie, izotrop și omogen, de conductivitate electrică generalizată  $K_m = \sigma_m + j\omega\epsilon_m$ , și se află în prezența cimpului electric (armonic și uniform)  $\tilde{E} \exp(j\omega t)$ .

Analog regimului static, tratat în literatura standard de specialitate [B1, L1, R11, S2], în regimul armonic funcțiile de potențial electric (complex)  $\Phi \exp(j\omega t)$ , în interiorul ( $i$ ) și exteriorul ( $e$ ) particulei sferice considerate, sunt soluții ale ecuației Laplace și au amplitudinile de forma:

$$\underline{\Phi}^{(i)}(R, \theta) = A_1 r \cos\theta, \quad (3.1.16)$$

respectiv

$$\underline{\Phi}^{(e)}(r, \theta) = (-\tilde{E}r + B_1 r^{-2}) \cos\theta. \quad (3.1.17)$$

Condițiile la limită impuse potențialelor electrice complexe (3.1.16), (3.1.17) pe suprafața sferică  $r=R$  a particulei coloidale sunt:

$$\underline{\Phi}^{(i)}(R, \theta) = \underline{\Phi}^{(e)}(R, \theta), \quad (3.1.18)$$

$$\epsilon_p (\frac{\partial \underline{\Phi}^{(i)}}{\partial r})_{r=R} - \epsilon_m (\frac{\partial \underline{\Phi}^{(e)}}{\partial r})_{r=R} = \rho_{MW}, \quad (3.1.19)$$

$$\sigma_p (\frac{\partial \underline{\Phi}^{(i)}}{\partial r})_{r=R} - \sigma_m (\frac{\partial \underline{\Phi}^{(e)}}{\partial r})_{r=R} = -j\omega \rho_{MW}^S, \quad (3.1.20)$$

unde  $\rho_{MW}^S$  reprezintă densitatea superficială (complexă) a sarcinii electrice acumulate la interfața ( $r=R$ ) particula coloidală - mediu de suspensie, datorită conductivităților electrice de volum net diferite  $\sigma_p$  și  $\sigma_m$ ,  $\sigma_p \gg \sigma_m$ , mai exact, datorită mobilităților diferite ale purtătorilor de sarcină din materialul (magnetită) particulei, respectiv din mediul lichid în care aceasta este suspendată (efect Maxwell-Wagner). Multiplicând ecuația (3.1.19) cu  $j\omega$  și adunând-o, apoi, la (3.1.20), mărimea  $\rho_{MW}^S$ , deși implicită, dispare, obținindu-se condiția globală în complex:

$$K_p (\frac{\partial \underline{\Phi}^{(i)}}{\partial r})_{r=R} = K_m (\frac{\partial \underline{\Phi}^{(e)}}{\partial r})_{r=R}. \quad (3.1.21)$$

Relațiile anterioare (3.1.18), (3.1.21) permit calcularea coeficienților complecși  $A_1$  și  $B_1$  din expresiile potențialelor electrice (3.1.16), respectiv (3.1.17):

$$A_1 = -3K_m / (K_p + 2K_m), \quad (3.1.22)$$

$$B_1 = \tilde{E}R^3 (K_p - K_m) / (K_p + 2K_m). \quad (3.1.23)$$

Utilizând (3.1.16), (3.1.17), (3.1.19), (3.1.22) și (3.1.23), se poate determina densitatea superficială a sarcinii electrice acumulate la interfața  $r=R$  prin efect Maxwell-Wagner:

$$\rho_{MW}^S = 3\tilde{E}(\epsilon_m \sigma_p - \epsilon_p \sigma_m) \cos \theta / (K_p + 2K_m). \quad (3.1.24)$$

Să observăm din (3.1.24) că  $\rho_{MW}^S$  este nenulă, dacă timpii de relaxație a sarcinii electrice din materialul particulei coloidale ( $\tau_p = \epsilon_p / \sigma_p$ ), respectiv din mediu de suspensie ( $\tau_m = \epsilon_m / \sigma_m$ ) sunt diferenți, adică  $\tau_p \neq \tau_m$ . Evident, această condiție de existență a efectului Maxwell-Wagner este întotdeauna îndeplinită la LM considerate.

Din (3.1.17) și (3.1.23), rezultă că  $\underline{\Phi}(r, \theta)$  are, întradevar, comportarea asimptotică (3.1.13) la distanță suficient de mare de particula sferică de referință și, prin

identificare, se obține, pentru cazul studiat:

$$\underline{\epsilon}_p = \tilde{\epsilon}_p = 4\pi\epsilon_m B_1 = \alpha_p \tilde{E} = V_p \epsilon_m \beta_p \tilde{E}, \quad (3.1.25)$$

unde  $\alpha_p = V_p \epsilon_m \beta_p$  definește polarizabilitatea dipolară complexă a particulei sferice, avind coeficientul adimensional complex

$$\beta_p = (\underline{K}_p - \underline{K}_m) [\underline{K}_m + (\underline{K}_p - \underline{K}_m)/3]^{-1}. \quad (3.1.26)$$

Introducind relația (3.1.25) în expresia teoretică (3.1.15), rezultă pentru conductivitatea electrică generalizată (complexă) efectivă a LM diluate cu particule sferice neîncărcate

$$\underline{K}(\omega) = \underline{K}_m [1 + \varphi_p \beta_p]. \quad (3.1.27)$$

Din compatibilitatea definițiilor experimentală (3.1.8) și teoretică (3.1.27) ale lui  $\underline{K}(\omega)$  se obțin, prin identificare, expresiile permittivității reale efective și conductivității ohmice (de regim armonic) efective, în cazul considerat:

$$\epsilon'(\omega) = \epsilon_m [1 + 3\varphi_p (\text{Re}\{\lambda\} + (\omega_m/\omega)\text{Im}\{\lambda\})], \quad (3.1.28)$$

respectiv

$$\sigma'(\omega) = \sigma_m [1 + 3\varphi_p (\text{Re}\{\lambda\} - (\omega/\omega_m)\text{Im}\{\lambda\})], \quad (3.1.29)$$

unde s-a introdus notația

$$\lambda = (\underline{K}_p - \underline{K}_m)/(\underline{K}_p + 2\underline{K}_m).$$

Expresia anterioară (3.1.28) se poate scrie în forma :

$$\epsilon'(\omega) = \epsilon'_\infty + (\epsilon'_0 - \epsilon'_\infty)/[1 + \omega^2 \tau_{MW}^2] \quad (3.1.30)$$

că

$$\epsilon'_0 = \epsilon'(\omega \rightarrow 0) = \epsilon_m [1 + 3\varphi_p (\sigma_p - \sigma_m)/(\sigma_p + 2\sigma_m)] +$$

$$+ 9\varphi_p \sigma_m (\epsilon_p \sigma_m - \epsilon_m \sigma_p) / (\sigma_p + 2\sigma_m)^2 \quad (3.1.31)$$

$$\epsilon'_\infty = \epsilon'(\omega \rightarrow \infty) = \epsilon_m [1 + 3\varphi_p (\epsilon_p - \epsilon_m) / (\epsilon_p + 2\epsilon_m)], \quad (3.1.32)$$

$$\tau_{MW} = (\epsilon_p + 2\epsilon_m) / (\sigma_p + 2\sigma_m).$$

Functia  $\epsilon'(\omega)$ , data de (3.1.30), este monoton descrescatoare cu pulsatia  $\omega$  a cimpului electric armonic aplicat si evidențiază o relaxație dielectrică simplă de tip Debye [B1, D2, H1], avind pulsatia caracteristică

$$1/\tau_{MW} = (\sigma_p + 2\sigma_m) / (\epsilon_p + 2\epsilon_m).$$

Cauza acestei relaxații dielectrice o constituie efectul Maxwell-Wagner în LM, idealizate aici ca suspensii coloidale monodisperse diluate cu particule sferice neîncărcate și fără SDE atașat.

În contextul celor de mai sus, se poate da următoarea interpretare relațiilor (3.1.24) și (3.1.25). Acumularea prin efect Maxwell-Wagner a sarcinii electrice la interfața particula coloidală-mediul de suspensie și, corespunzător, apariția unui moment electric dipolar alternativ al particulei, sub acțiunea cimpului electric armonic, sunt fenomene de relaxație dielectrică (de tip Debye) în LM considerate.

Să studiază, în continuare, cazul general al particulei coloidale sferice cu sarcină electrică superficială și SDE de tip Stern. În același sistem de coordonate sferice  $(r, \theta, \varphi)$  funcția de potențial electric complex  $\Phi$  exp(jwt) are ca amplitudine  $\Phi(r, \theta)$ , soluția ecuației Laplace în subdomeniile materiale din fig. 1.3.2:(1), al particulei sferice de referință, (2), al stratului Stern de forma unei coji sferice concentrice, respectiv (3), al mediului de suspensie din afara particulei. Ca urmare, prin analogie cu (1.3.21), dar în complex, se poate scrie:

$$\Phi_k(r, \theta) = \sum_{n=0}^{\infty} (A_{kn} r^n + B_{kn} r^{-(n+1)}) P_n(\cos \theta), \quad k = 1, 2, 3. \quad (3.1.34)$$

Condițiile la limită, impuse amplitudinilor de potențial  $\underline{\Phi}_k(r, \theta)$ ,  $k=1, 2, 3$ , din (3.1.24), sunt următoarele:

(i) condiția de uniformitate a cîmpului electric armonic la distanțe suficient de mari de particula coloidală sferică de referință, condiție ce implică în (3.1.34)

$$\underline{A}_{31} = -\tilde{E} \text{ și } \underline{A}_{3n} = 0, \text{ pentru } n \neq 1; \quad (3.1.35)$$

(ii) condiția de nesingularitate a lui  $\underline{\Phi}_1$  în centrul ( $r=0$ ) particulei sferice, ceea ce revine la:

$$\underline{B}_{1n} = 0, \quad n \geq 0; \quad (3.1.36)$$

(iii) condiția de continuitate a potențialului electric la interfața ( $r=R$ ) particulă-strat Stern atașat:

$$\underline{A}_{1n} R^n - \underline{A}_{2n} R^n - \underline{B}_{2n} R^{-(n+1)} = 0, \quad n \geq 0, \quad (3.1.37)$$

respectiv la interfața ( $r=R+\delta$ ) strat Stern - mediu de suspensie:

$$\underline{A}_{21}(R+\delta) + \underline{B}_{21}(R+\delta)^2 - \underline{B}_{31}(R+\delta)^2 = -\tilde{E}(R+\delta), \quad (3.1.38)$$

$$\underline{A}_{2n}(R+\delta)^n + \underline{B}_{2n}(R+\delta)^{-(n+1)} - \underline{B}_{3n}(R+\delta)^{-(n+1)} = 0, \quad (3.1.39)$$

pentru  $n \neq 1$ ;

(iv) condiția de interfață ce rezultă din combinarea formelor locale (în complex) ale legilor fluxului electric și conservării sarcinii electrice pe suprafața sferică  $r=R$  a particulei:

$$\sum_{n=0}^{\infty} [\underline{A}_{1n} n R^{n-1} K_p - \underline{A}_{2n} n R^{n-1} K_s + \underline{B}_{2n} (n+1) R^{-(n+2)} K_s] P_n(\cos \theta) = j \omega_p S, \quad (3.1.40)$$

respectiv pe suprafața sferică exteroiară ( $r=R+\delta$ ) a stratului Stern atașat particulei:

$$\sum_{n=0}^{\infty} [A_{2n} n(R+\delta)^{n-1} K_s - B_{2n} (n+1)(R+\delta)^{-(n+2)} K_s] P_n(\cos\theta) + K_m \tilde{E} \cos\theta \\ + \sum_{n=0}^{\infty} B_{3n} (n+1)(R+\delta)^{-(n+2)} K_m P_n(\cos\theta) = j\omega (\rho_{s,o}^S + \delta \rho_s^S), \quad (3.1.41)$$

unde cu  $K_s = \sigma_s + j\omega \epsilon_s$  s-a notat conductivitatea electrică generalizată corespunzătoare stratului Stern atașat particulei coloidale. Se precizează că  $\sigma_s$  definește conductivitatea electrică de volum a stratului Stern, în ipoteza că grosimea acestuia nu este neglijabilă față de raza particulei.  $\sigma_s / Sm^{-1}$  nu trebuie confundată cu conductivitatea electrică superficială  $\sigma_s^S = b_c \rho_{s,o}^S / S$  corespunzătoare contraiionilor (pozitivi) ce se pot deplasa pe suprafața exterioară a stratului Stern.

Ca și în (3.1.21), densitățile de sarcină electrică acumulată prin efect Maxwell-Wagner la interfețele  $r=R$  și  $r=R+\delta$ , deși implicate, au dispărut în (3.1.40), respectiv (3.1.41).

La rîndul ei, condiția la limită (3.1.11), pe suprafața sferică exterioară ( $r=R+\delta$ ) a stratului Stern atașat particulei coloidale, se scrie dezvoltat:

$$j\omega \delta \rho_s^S(\theta) = [d_c / (R+\delta)^2 \sin\theta] \partial \{ \sin\theta [\partial \delta \rho_s^S / \partial \theta \\ + (q_c \rho_{s,o}^S / k_B T) \partial \Phi(R+\delta, \theta) / \partial \theta] \} / \partial \theta, \quad (3.1.42)$$

unde s-a ținut cont de definiția (2.1.9) pentru  $j_s^S$ . Utilizând o reprezentare prin polinoame Legendre a funcției complexe  $\delta \rho_s^S(\theta)$ , se obține cu (3.1.34), (3.1.35) și (3.1.42) în (3.1.41):

$$A_{21} K_s - B_{21} 2K_s / (R+\delta)^2 + B_{31} [2K_m / (R+\delta)^2 + j\omega (R+\delta)^3 / d_c (1+j\omega \tau_c)] \\ = \tilde{E} [-K_m + j\omega (R+\delta)^3 / d_c (1+j\omega \tau_c)], \quad (3.1.43)$$

$$A_{2n} K_s n(R+\delta)^{n-1} - B_{2n} K_s (n+1)(R+\delta)^{-(n+2)} + B_{3n} (K_m (n+1)(R+\delta)^{-(n+2)} \\ + (R+\delta)^2 / d_c [1+j\omega (R+\delta)^2 / d_c n(n+1)]) \\ = \tilde{E} \{-K_m + j\omega (R+\delta)^3 / d_c (1+j\omega (R+\delta)^2 / d_c n(n+1))\}, \text{ pentru } n>1, \quad (3.1.44)$$

unde s-a ținut seama că polinoamele Legendre satisfac ecuația diferențială [A1,A2,B1]:

$$(1/\sin\theta)d[\sin\theta dP_n(\cos\theta)/d\theta]/d\theta + n(n+1)P_n(\cos\theta) = 0 \quad (3.1.45)$$

și unde s-a introdus notația  $\tau_c = (R+\delta)^2/2d_c$ .

Din sistemul de ecuații (3.1.35) - (3.1.41), (3.1.43) și (3.1.44), rezultă pentru coeficienții complecși  $B_{3n}$ ,  $n \geq 0$ , din expresia potențialului electric  $\tilde{\Psi}_3(r, \theta)$ :

$$B_{31} = \tilde{E}(R+\delta)^3(K_{pe} - K_m)/CK_{pe} + 2K_m \quad (3.1.46)$$

$$B_{3n} = 0, \text{ pentru } n \neq 1, \quad (3.1.47)$$

unde s-a admis cvasi-electroneutralitatea particulei coloidale sferice cu strat Stern atașat, în absența cimpului electric și s-au introdus notațiile

$$K_{pe} = K_e(1+2x)/(1-x) + j\omega(R+\delta)(q_c\rho_{s,o}^S/k_B T)/(1+j\omega\tau_c) \quad (3.1.48)$$

$$x = (K_p - K_e)/(CK_p + 2K_e)(1+\delta/R)^3. \quad (3.1.49)$$

Din (3.1.34), (3.1.35), (3.1.46) și (3.1.47), rezultă că  $\tilde{\Psi}(r, \theta)$  are, într-adăvăr, comportarea asimptotică (3.1.13) la distanță suficient de mare de particula sferică de referință și, prin identificare, se obține, în acest caz:

$$\underline{p}_{pe} = \tilde{\underline{p}}_{pe} = 4\pi\varepsilon_m B_{31} = \alpha_{pe} \tilde{V}_p \varepsilon_m \beta_{pe} \tilde{E}, \quad (3.1.50)$$

unde  $\alpha_{pe} = V_p \varepsilon_m \beta_{pe}$  definește polarizabilitatea dipolară echivalentă complexă a particulei coloidale sferice cu strat Stern atașat și are coeficientul adimensional complex:

$$\beta_{pe} = (1+\delta/R)^3(K_{pe} - K_m)[K_m + (K_{pe} - K_m)/3]^{-1}. \quad (3.1.51)$$

Cu relația dedusă mai sus (3.1.50), expresia teoretică (3.1.15) a conductivității electrice generalizată (complexă) efective a LM capătă forma concretă pentru cazul studiat:

$$K(\omega) = K_m(1 + \varphi_p \beta_{pe}). \quad (3.1.52)$$

Relația anterioară (3.1.52) se poate re scrie:

$$\underline{K}(\omega) = \underline{K}_m [\underline{K}_{pe}(1+3\varphi_p h) + \underline{K}_m(2-3\varphi_p h)] (\underline{K}_{pe} + 2\underline{K}_m)^{-1}, \quad (3.1.53)$$

cu  $h=(1+\delta/R)^3$ . Efectuind calculele în (3.1.53), se obține la numitorul fracției complexe ce factorizează pe  $\underline{K}_m$ :

$$M - \omega^2 N + j\omega P - j\omega^3 Q, \quad (3.1.54)$$

unde

$$\begin{aligned} M &= a\sigma_s + 2c\sigma_m \\ N &= b\sigma_s + d\sigma_m + \tau_c(a\sigma_s + b\sigma_s + c\sigma_m + d\sigma_m) + de \\ P &= a\sigma_s + b\sigma_s + c\sigma_m + d\sigma_m + \tau_c(a\sigma_s + 2c\sigma_m) + ce \\ Q &= b\sigma_s + d\sigma_m \end{aligned} \quad (3.1.55)$$

cu

$$a = \sigma_p(1+2/h) + 2\sigma_s(1-1/h), \quad b = \sigma_p(1-1/h) + \sigma_s(2+1/h),$$

$$c = \varepsilon_p(1+2/h) + 2\varepsilon_s(1-1/h), \quad d = \varepsilon_p(1-1/h) + \varepsilon_s(2+1/h),$$

$$e = (R+\delta)(q_c \rho_s^S / k_B T) = (R+\delta)\sigma_s^S / d_c. \quad (3.1.56)$$

Tinând seama de (3.1.53) și (3.1.54), (3.1.52) obține forma:

$$\underline{K}(\omega) = (\underline{L}(\omega)/M) / (1+j\omega\tau_1)(1+j\omega\tau_2)(1+j\omega\tau_3), \quad (3.1.57)$$

în care cu  $\underline{L}(\omega)$  s-a notat numărătorul complex, dependent de frecvență, al fracției din (3.1.53) și unde timpii de relaxație dielectrică  $\tau_k$ ,  $k=1,2,3$ , satisfac formulele lui Viète:

$$\tau_1 + \tau_2 + \tau_3 = P/M, \quad \tau_1 \tau_2 + \tau_1 \tau_3 + \tau_2 \tau_3 = N/M, \quad \tau_1 \tau_2 \tau_3 = Q/M. \quad (3.1.58)$$

Prin descompunerea în elemente simple a funcției rationale complexe din (3.1.57), rezultă:

$$\underline{K}(\omega) = \sum_{k=1}^3 \underline{L}_k(\omega) / (1+j\omega\tau_k) \quad (3.1.59)$$

cu  $L_k(\omega)$ ,  $k=1,2,3$ , determinabili prin identificare. Egalind

părțile imaginare ale celor doi membri ai ecuației complexe (3.1.59), se obține, în final, pentru permitivitatea reală efectivă a LM conținind particule sféricice cu sarcină electrică și cu strat Stern atașat, o expresie de forma:

$$\varepsilon'(\omega) = \varepsilon_0 \varepsilon_r'(\omega) = \sum_{k=1}^3 [\varepsilon_{k0}' + \varepsilon_{k\infty} (\omega \tau_k)^2] / [1 + (\omega \tau_k)^2], \quad (3.1.60)$$

unde parametrii-limită  $\varepsilon_{k0}'$ ,  $\varepsilon_{k\infty}'$ ,  $k=1,2,3$ , depind de  $L_k(\omega)$  și  $\tau_k$ .

Funcția  $\varepsilon'(\omega)$ , dată de (3.1.60), este monoton descrescătoare cu  $\omega$  și evidentiază, în cazul general, trei domenii de relaxație dielectrică de tip Debye, cu pulsațiile caracteristice  $\omega_k = 1/\tau_k$ ,  $k=1,2,3$ . Dacă aceste domenii de relaxație dielectrică sunt distințte, adică  $\omega_1 < \omega_2 < \omega_3$ , primul ar putea fi atribuit relaxației de joasă frecvență a stratului Stern atașat particulei coloidale, iar următoarele două ar putea corespunde efectelor Maxwell-Wagner, de frecvențe mai înalte, la interfețele  $r=R$  și  $r=R+\delta$  dintre componente LM.

Să deducă imediat că, în aproximarea stratului Stern subțire, deoarece  $\delta \rightarrow 0$  și  $\chi \rightarrow 0$  în expresia (3.1.52), domeniile de relaxație dielectrică de tip Debye ale funcției  $\varepsilon'(\omega)$  se reduc la două, prin dispariția efectului Maxwell - Wagner asociat interfeței  $r=R+\delta$ .

În concluzie, sub acțiunea cimpului electric armonic și uniform, în LM conținind particule sféricice cu SDE atașat, apare un fenomen suplimentar de relaxație dielectrică, la care contribuția esențială revine difuziei superficiale a contrionilor din stratul Stern.

### 3.1.2. Cazul lichidelor magnetice anizometrice

În paragraful anterior, s-au examinat fenomenele de relaxație dielectrică de tip interfacial, relevante pentru comportarea în cimp electric armonic în timp și uniform în spațiu a LM diluate, monodisperse și izometrice.

Să va arăta, în continuare, că în LM anizometrică conținind, ca fază dispersă, fie particule suspendate sferoidale independente, fie un ansamblu dimerizat de particule coloidale sferice) supuse acțiunii cimpului electric armonic și uniform, se manifestă, în plus, fenomenul de relaxație dielectrică orientațională.

Se consideră, astfel, particula coloidală de referință de formă sferoidală și de conductivitate electrică generalizată (complexă)  $K_p$ , imersată în mediul de suspensie (cu conductivitate electrică generalizată  $K_m$ ) și aflată în prezența cimpului

electric armonic și uniform  $\tilde{E} = \exp(j\omega t)$ , a cărui direcție este inclinată cu unghiul  $\gamma$  față de axa de simetrie (axa mare) a particulei. Se atașează acestei particule sistemul de coordonate ale sferoidului alungit  $(\xi, \eta, \gamma)$  cu definiția (1.4.1)-(1.4.4).

Pentru simplitate, se adoptă, în continuare, ipoteza stratului Stern subțire, astfel încât contraionii lui sunt conținuți chiar de suprafața  $\xi = \xi_1$  a particulei sferoidale, unde se pot deplasa tangențial sub acțiunea cimpului electric armonic aplicat. Acest cimp se admite suficient de slab, pentru ca toate mărurile dependente de el să varieze în timp ca  $\exp(j\omega t)$ . În consecință, perturbația indușă de cimp în densitatea superficială de sarcină electrică a particulei coloidale este de forma  $\delta\rho^S \exp(j\omega t)$ , ea datorindu-se integral fluxurilor de conductie și difuzie ale contraionilor, tangențiale la suprafața particulei.

Dacă se neglijă efectele macroscopice de difuzie a ionilor de impurități, de concentrație redusă din mediul de suspensie al LM, atunci potențialul electric complex în interiorul ( $i$ ), respectiv exteriorul ( $e$ ), particulei sferoidale satisfac ecuația Laplace:

$$\Delta \Phi^{(k)}(\xi, \eta, \gamma) \exp(j\omega t) = 0, \quad k=i, e. \quad (3.1.61)$$

Aceasta se poate rezolva prin superpoziția soluțiilor datorată componentelor cimpului electric armonic, paralelă  $\tilde{E}_{||} \exp(j\omega t)$  și perpendiculară  $\tilde{E}_\perp \exp(j\omega t)$  față de axa mare (de simetrie) a particulei sferoidale. Ca urmare, momentul electric dipolar

indus  $\bar{E}_p \exp(j\omega t)$  al particulei sferoideale cu strat Stern subțire se poate considera suma vectorială a componentelor sale, longitudinală  $\bar{E}_{p||} \exp(j\omega t)$  și transversală  $\bar{E}_{p\perp} \exp(j\omega t)$ , care la rîndul lor pot fi obținute din forma asymptotică a potențialului electric complex la distanță suficient de mare de particulă.

Referitor la calculul momentului dipolar induc longitudinal  $\bar{E}_{p||} \exp(j\omega t)$  din comportarea asymptotică a potențialului electric complex exterior, cu simetrie azimutală,  $\underline{\Phi}_{||}^{(e)}(\xi, \eta) \exp(j\omega t)$ , prin analogie cu cazul static tratat în paragraful 1.4, condițiile la limită asociate sunt:

$$(\underline{\Phi}_{||}^{(e)})_{\xi \rightarrow \infty} = -c \tilde{E}_{||} \operatorname{ch} \xi \cos \eta, \quad (3.1.62)$$

$$\underline{\Phi}_{||}^{(i)}(\xi_1, \eta) = \underline{\Phi}_{||}^{(e)}(\xi_1, \eta) = \underline{\Phi}^S, \quad (3.1.63)$$

$$j\omega \underline{\delta\rho}^S = d_c \Delta^* [(\sigma_s^S / d_c) \underline{\Phi}^S + \underline{\delta\rho}^S], \quad (3.1.64)$$

$$K_p (\partial \underline{\Phi}_{||}^{(i)} / \partial \xi)_{\xi=\xi_1} - K_m (\partial \underline{\Phi}_{||}^{(e)} / \partial \xi)_{\xi=\xi_1} = j\omega c \lambda_1 \underline{\delta\rho}^S, \quad (3.1.65)$$

unde  $d_c, \sigma_s^S$  definesc difuzivitatea și conductivitatea electrică superficiale ale contraiionilor din stratul Stern subțire,  $\Delta^*$  semnifică operatorul Laplace corespunzător suprafetei sferoidale  $\xi = \xi_1$  a particulei, iar  $c\lambda_1$  este unitatea locală de lungime relativ la această suprafață. Ecuatia (3.1.64) explicitată,

$$j\omega \underline{\delta\rho}^S = [d_c / (c\lambda_1)^2] \{1/tgn\} \partial [(\sigma_s^S / d_c) \underline{\Phi}^S + \underline{\delta\rho}^S] / \partial \eta + \partial^2 [(\sigma_s^S / d_c) \underline{\Phi}^S + \underline{\delta\rho}^S] / \partial \eta^2 \quad (3.1.66)$$

conduce, în aproximarea liniară, la:

$$\underline{\delta\rho}^S = -(\sigma_s^S / d_c) \underline{\Phi}^S / (1/j\omega \tau_c^*), \quad (3.1.67)$$

cu  $\tau_c^* = (c\lambda_1)^2 / 2d_c$  și  $\Phi^S$  definit în (3.1.63).

Din sistemul (3.1.61)–(3.1.63), (3.1.65), (3.1.67), se obține, similar cazului static, expresia potențialului electric complex exterior:

$$\underline{\Phi}_{||}^{(e)}(\xi, \eta) = [-c\tilde{E}_{||} \operatorname{ch}\xi + A_{||} \tilde{Q}_1(\operatorname{ch}\xi)] \cos\eta, \quad (3.1.68)$$

( $\tilde{Q}_1$  fiind funcția Legendre de speță a doua și primul ordin, cu argument de modul supraunitar cu forma asymptotică:

$$\underline{\Phi}_{||}^{(e)}(\xi, \eta) = -\tilde{E}_{||} r \cos\theta + (A_{||} c^2/3) \cos\theta/r^2, \quad (3.1.69)$$

în coordonate sférice  $r$  și  $\theta$ . Prin identificare, rezultă imediat pentru amplitudinea momentului dipolar induș longitudinal expresia:

$$E_{p_{||}} = 4\pi \epsilon_m c^2 A_{||} / 3 = V_p \epsilon_m \beta_{p_{||}} \tilde{E}_{||}, \quad (3.1.70)$$

unde coeficientul adimensional al polarizabilității dipolare longitudinale complexe a particulei sferoidale este:

$$\beta_{p_{||}} = (\underline{K}_{p_{||}} - \underline{K}_m) / [\underline{K}_m + (\underline{K}_{p_{||}} + \underline{K}_m) L_{||}], \quad (3.1.71)$$

cu

$$\underline{K}_{p_{||}} = \underline{K}_p + j\omega c \lambda_1 (\sigma_s^S / d_c) \operatorname{th}\xi_1 / (1 + j\omega \tau_c^*), \quad (3.1.72)$$

$L_{||}$  fiind definit în (1.4.24).

Efectuând, în mod similar, calculul momentului dipolar induș transversal  $\bar{E}_{p_{\perp}} \exp(j\omega t)$ , se obține, în final, o expresie analogă cu (1.4.44):

$$E_{p_{\perp}} = V_p \epsilon_m \beta_{p_{\perp}} \tilde{E}_{\perp}, \quad (3.1.73)$$

unde coeficientul adimensional al polarizabilității dipolare transversale complexe a particulei sferoidale este:

$$\beta_{p_{\perp}} = (\underline{K}_{p_{\perp}} - \underline{K}_m) / [\underline{K}_m + (\underline{K}_{p_{\perp}} - \underline{K}_m) L_{\perp}], \quad (3.1.74)$$

$$\text{cu } \underline{\underline{\kappa}}_{p\perp} = \underline{\underline{\kappa}}_p + j\omega c \lambda_1 (\sigma_s^S / d_c) \tilde{Q}_1^1 (\text{ch} \xi_1) / (1 + j\omega \tau_c^*) \quad (3.1.75)$$

( $\tilde{Q}_1^1$  fiind funcția Legendre asociată de speță a doua și primul ordin, cu argument de modul supraunitar) și  $L_\perp$  definit în (1.4.45).

În baza relațiilor deduse mai sus (3.1.70) și (3.1.73), momentul electric dipolar alternativ, induș în particula sferoidală suspendată din LM de cimpul electric armonic și uniform, obține expresia:

$$\bar{p}_p \exp(j\omega t) = (\bar{p}_{p\parallel} + \bar{p}_{p\perp}) \exp(j\omega t) = v_p \epsilon_m (\beta_{p\parallel} \tilde{\bar{E}}_{\parallel} + \beta_{p\perp} \tilde{\bar{E}}_{\perp}) \exp(j\omega t). \quad (3.1.76)$$

Se observă din (3.1.76) că  $\bar{p}_p \exp(j\omega t)$  nu este nici în fază, nici

omoparalel cu cimpul electric armonic  $\tilde{\bar{E}} \exp(j\omega t)$ .

Prima observație se traduce prin existența la LM anizometrice (ca și la cele izometrice) a unei duble relaxații dielectrice de tip Debye, asociată proceselor de la suprafața particulei coloidale su strat Stern subțire.

A doua observație semnifică apariția unui cuplu de electroorientare, exercitat de cimpul armonic  $\tilde{\bar{E}} \exp(j\omega t)$  asupra momentului dipolar alternativ induș în particula coloidală anizometrică, deci asupra particulei însăși. Spre deosebire de cazul static, descris de (1.4.49), respectiv (1.4.110), cuplul de electroorientare în regim armonic depinde nu numai de (i) pătratul amplitudinii cimpului aplicat și de (ii) unghiul  $\gamma$  dintre vectorul-cimp și axa de simetrie (axa mare) a particulei sferoidale, ci și de (iii) pulsația (frecvența) cimpului armonic. Mărimea sa medie în timp are modulul:

$$\begin{aligned} & |(1/2) \operatorname{Re} \{ \bar{p}_p \exp(j\omega t) \times \tilde{\bar{E}} \exp(-j\omega t) \}| \\ &= |(1/2) \operatorname{Re} \{ v_p \epsilon_m [\beta_{p\parallel}(\omega) \tilde{\bar{E}}_{\parallel} + \beta_{p\perp}(\omega) \tilde{\bar{E}}_{\perp}] \times (\tilde{\bar{E}}_{\parallel} + \tilde{\bar{E}}_{\perp}) \}| \\ &= (1/4) v_p \epsilon_m \tilde{\bar{E}}^2 \operatorname{Re} \{ \Delta \beta_p \} \sin 2\gamma, \end{aligned} \quad (3.1.77)$$

unde s-a notat  $\Delta\beta_p(\omega) = \beta_{p\parallel}(\omega) - \beta_{p\perp}(\omega)$ .

Conform (3.1.77), determinarea comportării orientaționale în frecvență a particulei anizometrice suspendate din LM revine la studiul rădăcinilor ecuației  $\text{Re}\{\Delta\beta_p(\omega)\} = 0$ . Se deduce ușor, că aceasta reprezintă o ecuație bipătrată în  $\omega$ , ai cărei coeficienți depind de geometria particulei coloidale anizometrice și de parametrii electrofizici ai fazelor componente ale LM. Un studiu analitic al acestei ecuații, în cazul particular:  $K_m = j\omega\epsilon_m$  ( $\sigma_m \ll \sigma_p$ )  $L_{\parallel} \ll 1$ , a permis obținerea rezultatelor prezentate grafic în fig 3.1.2.

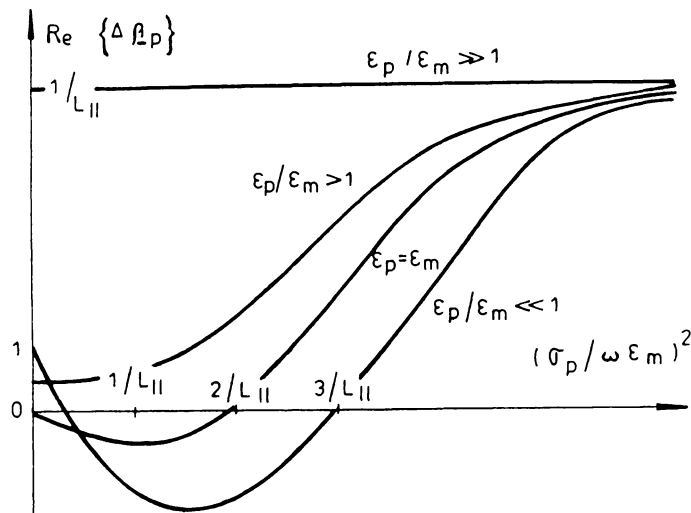


Fig. 3.1.2. Cuplul specific mediu de electroorientare a particulei coloidale anizometrice din LM.

Să observă, că dacă între cele patru rădăcini ale ecuației bipătrate există două reale și pozitive  $\omega_1$ ,  $\omega_2$ ,  $\omega_1 < \omega_2$ , atunci inseamnă că:

-pentru  $0 < \omega < \omega_1$  și  $\omega > \omega_2$ , deci în joasă și înaltă frecvență, particula anizometrică se orientează cu axa mare (de simetrie) pe direcția cîmpului electric armonic;

-pentru  $\omega_1 < \omega < \omega_2$ , deci într-un domeniu (mai mult sau mai puțin îngust) de frecvențe intermedii, există o orientare stabilă a particulei cu axa mare perpendiculară pe direcția cîmpului. Evident, modificarea discontinuă cu  $90^\circ$  a orientării particulei anizometrice, în prezența cîmpului electric armonic, se efectuează la pulsăriile critice ale acestuia  $\omega_1$  și  $\omega_2$ .

În cazul general, sub acțiunea cîmpului electric armonic și uniform, particula coloidală anizometrică din LM devine un oscilator parametric neliniar cu amortizare viscoasă, descris, în domeniul timp, prin ecuația diferențială de mișcare :

$$I_p d^2\gamma/dt^2 + k_v d\gamma/dt = |E_p \times \tilde{E}| \cos^2\omega t, \quad (3.1.78)$$

unde  $I_p$  definește momentul principal de inertie al particulei, iar  $k_v$  coeficientul ei de frecare viscoasă cu mediul de suspensie.

Întrucît la LM considerate,  $I_p/k_v \ll 10^{-10}/s$ , termenul inertial din (3.1.78) se poate neglija în raport cu cel de amortizare viscoasă, astfel că ecuația generală de mișcare a particulei anizometrice suspendate din LM se reduce la ecuația diferențială de ordinul întîi, caracteristică vibrațiilor parametrice de relaxație:

$$d\gamma/dt = (1/\tau_o) \sin 2\gamma \cos^2\omega t, \quad (3.1.79)$$

unde  $\tau_o = 2k_v/V_p \epsilon_m \tilde{E}^2 |\Delta\beta_p(\omega)|$  joacă rolul unui timp de relaxație dielectrică orientațională. Conform (3.1.79), alinierea particulelor anizometrice în cîmp electric armonic evidențiază un fenomen de relaxație datorită frecărîi viscoase cu mediul de suspensie din LM.

Relaxațiile dielectrice de tip orientațional și interfacial pot fi procese cooperante, într-o anumită gamă de frecvențe ale cîmpului electric armonic aplicat LM cu particule coloidale anizometrice.

Introducînd expresia (3.1.76) în definiția teoretică (3.1.15) a conductivității electrice efective generalizate a LM, se obține:

$$\underline{K}(\omega) = K_m (1 + \varphi_p \langle \beta_{p||}(\omega) \tilde{E}_{||} + \beta_{p\perp}(\omega) \tilde{E}_\perp \rangle / \tilde{E}). \quad (3.1.80)$$

În relația anterioară (3.1.80), s-a simbolizat cu paranteze unghiulare medierea pe ansamblul particulelor coloidale anizometrice din volumul infinit mic fizic V al LM, mediere ce ar trebui efectuată, ca și în cazul static, asupra tuturor orientărilor posibile ale particulelor din V. În ipoteza unei distribuții orientationale uniforme de regim armonic a particulelor coloidale anizometrice din LM, singura compatibilă

cu definiția (3.1.1), expresia (3.1.8) se scrie :

$$\underline{K}(\omega) / K_m = 1 + \varphi_p [\beta_{p\parallel}(\omega) + 2\beta_{p\perp}(\omega)]/3. \quad (3.1.81)$$

Toate observațiile și concluziile calitative de mai sus transpun identic și la LM anizometrice conținind, ca fază dispersă un ansamblu dimerizat de particule coloidale sferice.

### 3.2. Tangenta unghiului de pierderi dielectrice în cazul lichidelor magnetice

Dacă la bornele unui condensator plan umplut cu LM se aplică o tensiune electrică sinusoidală, astfel că între armăturile condensatorului să se stabilească un cîmp electric armonic și uniform, atunci se produce în LM o disipare de energie, pe de o parte prin efectul Joule-Lenz determinat de conductivitatea electrică efectivă nenulă a LM, iar, pe de altă parte, prin procesele de relaxație dielectrică de tip interfacial și orientațional specifice LM. Pierderile dielectrice în LM reprezintă tocmai valoarea acestei puteri disipate ireversibil și pot fi caracterizate global printr-o mărime de material măsurabilă, tangenta unghiului de pierderi dielectrice totale,  $\operatorname{tg}\delta$ .

Curentul electric prin LM dintre armăturile condensatorului plan, la bornele căruia s-a aplicat tensiunea sinusoidală  $U \exp(j\omega t)$ , are, ca armonică fundamentală, expresia în complex  $\underline{I} \exp(j\omega t) = \underline{Y} U \exp(j\omega t)$  cu  $\underline{Y} = [(\omega \epsilon'' + \sigma') + j\omega \epsilon'] A/d$ , conform relațiilor (3.1.3)-(3.1.5.). Raportul componentelor activă (reală) și reactivă (imaginată) ale amplitudinii  $\underline{I}$  a fundamentaliei acestui curent se poate adopta ca definiție pentru tangentă unghiului de pierderi dielectrice totale în cazul LM, adică :

$$\begin{aligned} \operatorname{tg} \delta(\omega) &= \operatorname{Re} \{\underline{I}\} / \operatorname{Im} \{\underline{I}\} = \operatorname{Re} \{\underline{Y}\} / \operatorname{Im} \{\underline{Y}\} \\ &= [\omega \epsilon''(\omega) + \sigma'(\omega)] / \omega \epsilon'(\omega) = \operatorname{tg} \delta_r(\omega) + \operatorname{tg} \delta_c(\omega), \end{aligned} \quad (3.2.1)$$

unde s-au evidențiat termenii aditivi,

$$\operatorname{tg} \delta_r(\omega) = \epsilon''(\omega) / \epsilon'(\omega) = \epsilon_r''(\omega) / \epsilon_r'(\omega), \quad (3.2.2)$$

reprezentînd tangenta unghiului de pierderi prin relaxație dielectrică, respectiv

$$\operatorname{tg} \delta_c(\omega) = \sigma'(\omega)/\omega\epsilon'(\omega) = 36 \pi \times 10^9 \sigma'(\omega)/\omega\epsilon_r'(\omega), \quad (3.2.3)$$

reprezentînd tangenta unghiului de pierderi dielectrice pri conductie. S-a operat în (3.2.1) cu fundamentala curentului electric ce trece prin LM ,întrucît armonicele sale superioare chiar dacă există ,nu contribuie la disiparea energiei în LM [M4].

Din expresia armonicei fundamentale a curentului ce trece prin LM și din diagrama fazorială redată în fig 3.1.1 se observă că  $\operatorname{tg}\delta$  reprezintă tangenta complementului unghiului de defazaj  $\varphi$  dintre fundamentala curentului și tensiunea sinusoidală aplicată, adică :

$$\operatorname{tg}\delta = \operatorname{tg}(\pi/2 - \varphi) = \operatorname{ctg}\varphi = 1/\operatorname{tg}\varphi. \quad (3.2.4)$$

Conform definiției (3.2.1), tangenta unghiului de pierderi dielectrice totale în cazul LM evidentiază o dependență marcată de pulsări (frecvență) tensiunii sinusoidale aplicate  $U \exp(j\omega t)$  (respectiv, a cimpului electric armonic și uniform aplicat).

Se constată din (3.2.3), că la limita frecvențelor joase, pierderile dielectrice determinate de conductivitate devin preponderente.

Pe de altă parte, pentru pierderile determinate de relaxația dielectrică interfacială (de tip Debye ) din LM, se deduce, în baza relațiilor (3.1.7), (3.1.30) și (3.2.2):

$$\begin{aligned} \operatorname{tg}\delta_{r,MW}(\omega) &= [(\epsilon_0' - \epsilon_\infty')\omega\tau_{MW}/(1 + \omega^2\tau_{MW}^2)] \quad [\epsilon_\infty' + (\epsilon_0' - \epsilon_\infty')/(1 + \omega^2\tau_{MW}^2)]^{-1} \\ &= (\epsilon_0' - \epsilon_\infty')\omega\tau_{MW}/(\epsilon_0' + \epsilon_\infty'\omega^2\tau_{MW}^2). \end{aligned} \quad (3.2.5)$$

Din (3.2.5) rezultă existența valorii-limită

$$\operatorname{tg}\delta_{r,MW}(\omega) = 0, \text{ pentru } \omega \rightarrow 0 \text{ și } \omega \rightarrow \infty, \quad (3.2.6)$$

precum și a unui maxim bine conturat

$$(\operatorname{tg}\delta_{r,MW})_{\max} = (\epsilon_0' - \epsilon_\infty')/2(\epsilon_0'\epsilon_\infty')^{1/2} \quad (3.2.7)$$

pentru  $\omega\tau_{MW} = (\epsilon_0'/\epsilon_\infty')^{1/2}$ .

3.3. Studiul experimental al lichidelor magnetice în  
audiofrecvență

Analiza experimentală a comportării unui LM în cimp electric armonic și uniform presupune, în esență, măsurarea permitivității relative reale efective  $\epsilon'_r(f)$  și a tangentei unghiului de pierderi dielectrice totale  $\operatorname{tg}\delta(f)$ , într-o anumită gamă de frecvențe ale cimpului aplicat.

Pentru determinarea experimentală a lui  $\epsilon'_r$ , în cazul LM, trebuie măsurate capacitățile electrice,  $C_0$  a unui condensator plan umplut cu aer și  $C$  a același condensator având, însă, armăturile imersate în LM. Conform schemei echivalente a condensatorului plan cu pierderi dielectrice din fig.3.1.1 și a relației (3.1.6), se poate scrie:

$$C = \operatorname{Im}\{\underline{Y}\}/\omega = |\sin\varphi|/2\pi f |\underline{z}|, \quad (3.3.1)$$

unde  $\underline{z} = \underline{y}^{-1}$  reprezintă impedanța complexă a celulei de măsurare. La determinarea precisă a lui  $\epsilon'_r$  trebuie să se țină seama și de capacitatea parazită  $C_p$  a celulei de măsurare cu condensator plan. Întrucât mărimea  $C_p$  nu se poate măsura efectiv, ea se evaluatează umplind celula cu benzen (lichid de etalonare), de permitivitate relativă cunoscută,  $\epsilon'_{rb} = 2.2741$  (în audiofrecvență și la temperatură ambientă) și măsurând capacitatea electrică  $C_b$  a condensatorului celulei în acest caz. Capacitatea parazită rezultă din formula:

$$C_p = (C_0 \epsilon'_{rb} - C_b) / (\epsilon'_{rb} - 1). \quad (3.3.2)$$

Ca urmare, pentru determinarea lui  $\epsilon'_r$  în cazul LM, se utilizează expresia:

$$\begin{aligned} \epsilon'_r &= (C - C_p) / (C_0 - C_p) \\ &= [-C_0 \epsilon'_{rb} + C_b + C(\epsilon'_{rb} - 1)] / (C_b - C_0). \end{aligned} \quad (3.3.3)$$

La rîndul ei, tangenta unghiului de pierderi dielectrice totale în cazul LM se evaluatează cu formula:

$$\begin{aligned} \operatorname{tg} \delta &= (\operatorname{tg} \delta)_M C / (C - C_p) \\ &= C(\varepsilon'_{rb} - 1) \cos \varphi / [C(\varepsilon'_{rb} - 1) + C_b - C_0 \varepsilon'_{rb}] |\sin \varphi|, \end{aligned} \quad (3.3.4)$$

unde  $(\operatorname{tg} \delta)_M = \cos \varphi / |\sin \varphi|$  reprezintă valoarea măsurată a acestei tangente pentru proba de LM, conform definiției (3.2.4).

În cazul LM considerate, este de așteptat ca  $\varepsilon'_r$  și  $\operatorname{tg} \delta$  să obțină valori mari la limita frecvențelor joase, astfel că nu se pot utiliza punțiile de c.a. clasice, de tip Schering sau cu transformator, condiția  $\operatorname{tg} \delta > 1$  nepermittind echilibrarea acestor punți. De asemenea, nici metoda de măsurare a lui  $\varepsilon'_r$  și  $\operatorname{tg} \delta$  prin evaluarea acțiunilor ponderomotoare exercitate asupra LM în cimp electric armonic nu poate fi aplicată, întrucât precizia ei scade inacceptabil pentru valori mari ale lui  $\varepsilon'_r$  [S1]. Ca urmare, determinarea experimentală a parametrilor  $\varepsilon'_r$  și  $\operatorname{tg} \delta$  caracteristici LM se poate efectua numai prin metoda măsurării capacității condensatoarelor cu pierderi dielectrice mari, folosind, în acest scop, fie punți de c.a. speciale, adaptate acestei cerințe metrologice, fie impedanțmetre/admitanțmetre de audiofrecvență.

Autorul a utilizat impedanțmetrul tranzistorizat tip TT-3152 (Ungaria), având ca elemente de bază: un oscilator de audiofrecvență încorporat G, cu 12 frecvențe fixe de lucru (între 25Hz și 100kHz), un rezistor variabil etalon R cu comutatoare decadice în plaja de măsurare  $10+1.1M\Omega$ , un comutator K cu trei poziții corespunzătoare evaluării ( i ) modulului  $|Z|$  și ( ii ) argumentului  $\varphi$  ale impedanței complexe a celulei de măsurat CM, precum și a ( iii ) rezistenței de comparație a rezistorului etalon și, în sfîrșit, un transformator diferențial T cu primarul scindat în două semibobinaje m, n și secundarul inseriat cu un miliampermetru de măsurare IM (fig.3.3.1).

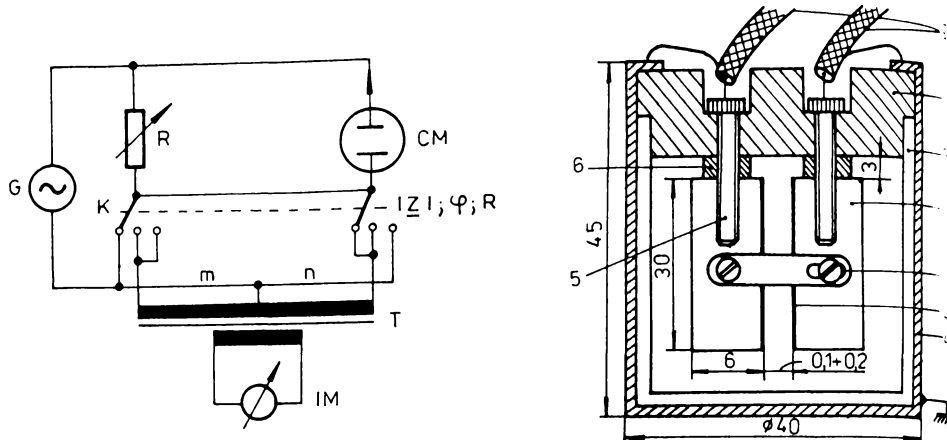


Fig.3.3.1. Schema electrică de principiu a impedanțmetrului de audiofrecvență tip TT-3152.

Fig.3.3.2. Structura celulei de măsurare în audiofrecvență a parametrilor efectivi  $\epsilon_r'$  și  $\tg\delta$  ai LM.

S-a realizat o celulă de măsurare în audiofrecvență cu: armăturile de condensator 1, plane, paralele, ( $30\text{mm} \times 30\text{mm} \times 6\text{mm}$ ) din cupru electrolytic, având suprafața activă ultrafin polizată și acoperită cu pelicula de argint 2, prin depunere coloidală în vid, vasul din teflon 3, prevăzut cu capacul filetat 7 și cu ecranul cilindric de aluminiu 4, tăiat în lungul unei generatoare (pentru a nu constitui o spiră în scurtcircuit) și legat la pămînt, șuruburile 5 și distanțoarele 6, precum și sistemul reglabil 8, pentru asigurarea separării uniforme a armăturilor condensatorului (fig.3.3.2). Racordarea electrică a celulei la bornele de măsurare ale impedanțmetrului s-a realizat prin cablurile ecranațe 9, de lungime redusă. S-a etalonat celula de măsurare cu benzen, evaluindu-se capacitatea ei parazită  $C_p$  conform relației (3.3.2). S-a adoptat următoarea tehnologie de curățire a celulei de măsurare după fiecare utilizare:

- demontarea completă a celulei de măsurare;
- curățirea cu benzen a tuturor pieselor componente ale celulei;
- clătirea cu acetona p.a. și, apoi, cu apă distilată;
- fierberea timp de 30 min. într-o soluție de 5% fosfat trisodic

în apă distilată;

-spălarea abundantă cu apă curentă caldă, urmată de clătirea cu apă distilată caldă;

-după scurgerea excesului de apă, uscarea pieselor celulei de măsurare într-o etuvă curată timp de 1+2 ore la  $100^{\circ}\text{C}$ ;

-montarea celulei și păstrarea ei într-un exsicator cu silicagel pînă la întrebuițarea ei efectivă.

S-au determinat experimental parametruii  $\epsilon'_r$  și  $\text{tg}\delta$  pentru probele I, II, și IV de LM din tabelul 2.2.1, precum și spectrele hertziene  $\epsilon'_r(f)$  și  $\text{tg}\delta(f)$  în audiofrecvență. Pentru evaluarea precisă a mărimilor  $\epsilon'_r$  și  $\text{tg}\delta$  s-au utilizat relațiile (3.3.3), respectiv (3.3.4).

În tabelul 3.3.1 sunt prezentate valorile determinate experimental ale parametrului  $\epsilon'_r$  pentru cele trei probe de LM, în domeniul de frecvențe  $0.5\text{--}100\text{kHz}$  și la temperatură ambiantă.

Tabelul 3.3.1

Proba de LM	$\epsilon'_r$ la						
	0.5kHz	1kHz	5kHz	10kHz	25kHz	50kHz	100kHz
I	5.32	4.98	4.78	4.66	4.40	4.27	4.12
II	4.34	3.89	3.74	3.65	3.32	3.19	3.08
IV	3.52	2.99	2.79	2.70	2.57	2.52	2.45

În fig. 3.3.3 sunt redate comparativ spectrele hertziene  $\epsilon'_r(f)$  obținute de autor pentru probele II și IV de LM, respectiv furnizate de lucrarea [D1] pentru două probe din aceeași clasă de LM, cu  $\varphi_p = 0.05$  și 0.1.

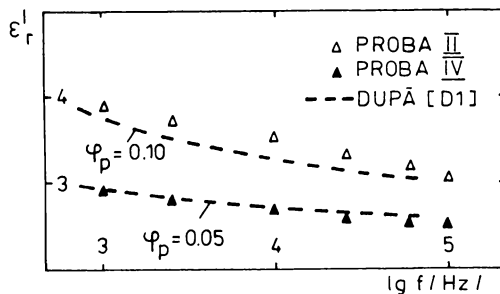


Fig.3.3.3. Dependența de frecvență a permitivității relative reale efective a LM.

Se observă că funcția  $\varepsilon'_r(f)$  este monoton descrescătoare în tot domeniul de audiofrecvență, indiferent de concentrația volumică  $\varphi_p$  a particulelor de magnetită suspendate din LM, dar valorile acestei funcții sunt cu atât mai reduse, cu cît LM este mai diluat, ceea ce corespunde calitativ cu expresiile teoretice obținute pentru  $\varepsilon'_r$  în paragraful 3.1.

La frecvențe foarte joase, este de așteptat ca  $\varepsilon'_r$  să obțină valori deosebit de mari (de ordinul  $10^2+10^3$ ), în condițiile în care se manifestă și fenomenul de polarizare la electrozi.

Fig. 3.3.4 redă în coordonate logaritmice spectrele hertziene  $\operatorname{tg}\delta(f)$  pentru aceleași trei probe de LM, I, II, și IV, din tabelul 2.2.1. Se constată prezența la toate cele trei probe de LM a unor valori foarte mari ale  $\operatorname{tg}\delta$  la frecvențe joase, cu un maxim bine conturat între 100 și 250 Hz. Dependența acestui maxim de concentrația volumică a fazei suspendate din LM reprezintă o funcție,  $(\operatorname{tg}\delta)_{\max}(\varphi_p)$ , cu o lege de variație asemănătoare celei a conductivității electrice efective a LM,  $\sigma(\varphi_p)$ , din fig. 2.2.1, ceea ce este în acord cu predominanța la frecvențe joase a

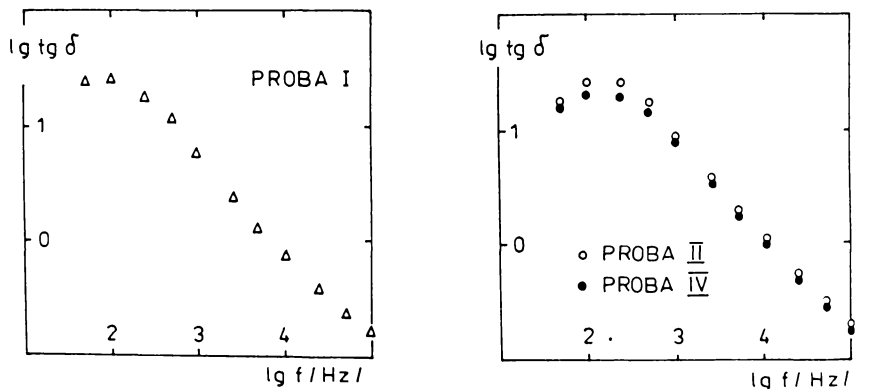


Fig.3.3.4. Dependența de frecvență a tangentei unghiului de pierderi dielectrice totale în cazul LM.

termenului  $\operatorname{tg}\delta_r$ , al tangentei unghiului de pierderi dielectrice prin conductie, în expresia (3.2.1) a  $\operatorname{tg}\delta$ .

Se evidentiază, de asemenea, diminuarea pronunțată a  $\operatorname{tg}\delta$  pentru frecvențe crescătoare din gama 0.25+100kHz, la toate probele de LM, precum și situarea valorilor  $\operatorname{tg}\delta$  în cazul probei II deasupra celor corespunzătoare probei mai diluate IV, în întregul domeniu de frecvențe investigat.

Pentru o mai profundă interpretare calitativă a datelor experimentale anterioare, ele au fost puse în corespondență cu funcția Cole-Cole [B1, H1, T3],

$$\varepsilon_r(f) = \varepsilon'_r(f) - j\varepsilon''_r(f) = \varepsilon'_{r\infty} + (\varepsilon'_{r0} - \varepsilon'_{r\infty}) / [1 + (j2\pi f\tau_{cr})^{1-a}],$$

$$0 \leq a \leq 1, \quad (3.3.1)$$

de descriere empirică a relaxației dielectrice în cazul LM. În expresia (3.3.1),  $\varepsilon'_{r0}$  și  $\varepsilon'_{r\infty}$  reprezintă valorile - limită ale permitivității relative reale efective ale LM extrapolate, din măsurători, la frecvență nulă, respectiv infinită,  $\tau_{cr}$  definește timpul macroscopic mediu de relaxație dielectrică, iar a este o constantă pozitivă subunitară ce caracterizează distribuția Cole-Cole a timpilor de relaxație în jurul valorii  $\tau_{cr}$ . În planul complex  $(\varepsilon'_r, \varepsilon''_r)$ , funcția Cole-Cole (3.3.1) reprezintă un arc de cerc, având centrul sub axa absciselor la distanța  $(1/2)(\varepsilon'_{r0} - \varepsilon'_{r\infty})\operatorname{tg}(a\pi/2)$  și intersectând această axă în punctele  $(\varepsilon'_{r0}, 0)$ ,  $(\varepsilon'_{r\infty}, 0)$  sub unghiul  $|a\pi/2|$ .

Funcția Cole-Cole asociată permite și calculul valorii maxime a tangentei unghiului de pierderi prin relaxație dielectrică  $\operatorname{tg}\delta_r$ , din condiția

$$d(\operatorname{tg}\delta_r)/df = d(\varepsilon''_r / \varepsilon'_r)/df = 0, \text{ rezultind:}$$

$$\begin{aligned} (\operatorname{tg}\delta_r)_{\max} &= (\varepsilon'_{r0} - \varepsilon'_{r\infty})(\varepsilon'_{r0} / \varepsilon'_{r\infty})^{1/2} \cos(a\pi/2) \\ &\times [2\varepsilon'_{r0} + (\varepsilon'_{r0} + \varepsilon'_{r\infty})(\varepsilon'_{r0} / \varepsilon'_{r\infty})]^{-1/2} \sin(a\pi/2)]^{1/2} \end{aligned} \quad (3.3.2)$$

la frecvența

$$f_r = (1/2\pi\tau_{cr}) (\epsilon'_r / \epsilon'_{r\infty})^{1/2(1-a)}. \quad (3.3.3)$$

Din datele experimentale prezentate în fig.2.2.1 și 3.3.2 și în

tabelul 3.3.1, s-au determinat, mai întii, cu ajutorul relaiei (3.2.1), valorile mărimii

$$\epsilon''_r(f) = \epsilon'_r(f) \operatorname{tg}\delta_r(f) = \epsilon'_r(f) \operatorname{tg}\delta(f) - 1.7975 \cdot 10^{10} \sigma/f, \quad (3.3.4)$$

în ipoteza independenței de frecvență a conductivității electrice efective  $\sigma'(\omega) = \sigma$  a LM. S-a obținut, apoi, diagrama Cole-Cole  $\epsilon''_r(\epsilon'_r)$  pentru fiecare probă de LM, printr-un algoritm de selectare din cele  $C_p^3$  cercuri trasabile prin p puncte experimentale  $(\epsilon'_r, \epsilon''_r)$  a cercului cu abaterea standard minimă față de toate cele p puncte [R3]. După determinarea acestei diagrame, s-au calculat parametrii Cole-Cole de relaxație dielectrică a și  $\tau_{cr}$ , valorile acestora fiind prezentate în tabelul 3.3.2 pentru probele II și IV de LM. Evident, precizia determinării diagramei și parametrilor Cole-Cole depinde de mărimea domeniului de frecvențe investigat în cadrul studiului experimental al LM.

Se constată din analiza tabelului 3.3.2 că diagramele Cole-Cole asociate datelor experimentale corespunzătoare probelor II și IV de LM sunt cvasisemicirculare, întucit pentru parametrul a au rezultat valori foarte reduse. Aceasta înseamnă că probele de LM evidențiază în audiofrecvență o relaxație dielectrică de tip Debye cu un singur timp caracteristic. Mai mult, această relaxație dielectrică Debye este predominant de tip interfacial, pentru că numai astfel se poate justifica maximul marcat al  $\operatorname{tg}\delta$  la frecvențe joase.

Tabelul 3.3.2

Proba de LM	$\epsilon'_{ro}$	$\epsilon'_{r\infty}$	$\alpha$	$\tau_{cr}^a$ / $\mu s$ /
II	$2.19 \times 10^3$	3.07	0.02	0.03
IV	$3.98 \times 10^3$	1.75	0.03	0.04

Tabelul 3.3.3

Proba de LM	$\operatorname{tg}\delta_r^a$ la 100 Hz	$(\operatorname{tg}\delta_r)^b_{\max}$	$f_r^b$ /Hz/
II	9.14	9.19	9.37 166
IV	10.08	10.12	10.56 190.3

- a) valori calculate din măsurările  $\operatorname{tg}\delta$  și relația (3.2.1);  
 b) valori calculate din relațiile Cole-Cole (3.3.2), (3.3.3) și tabelul 3.3.2.

Pentru aceleasi două probe de LM, în tabelul 3.3.3. sunt comparate valorile  $\operatorname{tg}\delta_r$  obținute (a) direct din datele experimentale, respectiv (b) prin prelucrarea diagramelor Cole-Cole asociate acestor date. Se observă o bună concordanță a estimărilor (a) și (b) pentru  $(\operatorname{tg}\delta_r)_{\max}$  și  $f_r$ .

#### 4. EFECTE MAGNETODIELECTRICE ÎN LICHIDELE MAGNETICE

În prezență simultană a cîmpurilor uniforme, electric și magnetic, LM evidențiază, ca și cristalele lichide, efecte magnetodielectrice măsurabile, adică dependențe ale parametrilor dielectrici efectivi (permittivitatea, tangenta unghiului de pierderi dialectrice totale, rigiditatea dielectrică) ai LM de vectorul intensității cîmpului magnetic.

Orice efect magnetodielectric în LM prezintă sub aspect direcțional, două cazuri-limită remarcabile, în care vectorii-cîmp electric și magnetic sunt omoparaleli (efect magnetodielectric paralel), respectiv ortogonali (efect magnetodielectric perpendicular). Uzual, mărimele efectelor magnetodielectrice paralel și perpendicular nu sunt egale, diferența lor constituind anizotropia magnetodielectrică specifică LM.

Următoarele mecanisme orientaționale constituie explicații alternative ale efectelor magnetodielectrice în LM :

-orientarea individuală a particulelor coloidale de magnetită cu anizotropie de formă;

-orientarea perechilor sau lanțurilor lungi de particule coloidale de magnetită, avînd formă sferică și aflate în regim de interacțiune electromagnetică slabă.

Primul dintre aceste mecanisme orientaționale a fost studiat teoretic de mai mulți autori. Astfel, în lucrarea [M1] a fost dezvoltat un model teoretic orientațional al efectului magnetodielectric corespunzător permitivității statice a LM, în care particulele coloidale de magnetită au fost considerate conductoare identice ca mărime și de forma unor sferoizi alungite. Cîmpul electric activ, atât pentru particulele coloidale, cât și pentru moleculele mediului de suspensie, s-a admis de tip Lorentz. Acest model teoretic a fost extins, în lucrările [C1, C2], la particule coloidale dielectrice, adoptîndu-se, însă, ipoteza cîmpului dielectric activ de tip Lorentz numai relativ la particulele suspendate din LM. În modelele anterioare, s-a presupus un cuplaj perfect (rigid) între momentul magnetic permanent al particulei coloidale anizometrice și axa ei de ușoară magnetizare (coincidentă cu axa mare de simetrie), ceea ce corespunde unei

energii de anizotropie magnetică infinită a particulei.

Un model teoretic ameliorat al aceluiași mecanism orientațional a fost propus în lucrările [C3, C4] (dar fără a se efectua integral dezvoltările analitice necesare), luându-se în considerare (i) orientarea relativă arbitrară a vectorilor-cîmp electric și magnetic, (ii) valoarea finită a energiei de anizotropie magnetică a particulei coloidale și (iii) distribuția dimensională a particulelor. În acest model s-a neglijat, însă, diferența dintre cîmpul electric macroscopic și cel activ.

Celelalte mecanisme orientaționale ale efectelor magnetodielectrice în LM au fost invocate în lucrările [C7, C8, C9, D1, R3] pentru explicarea rezultatelor experimentale, iar, de curînd, a fost simulaț numeric modelul orientațional al perechii de particule coloidale sferice, printr-o tehnică Monte Carlo bidimensională [A4].

Autorul prezentei teze de doctorat a întreprins în lucrarea [R1], pentru prima dată, un studiu analitic complet al efectului magnetodielectric corespunzător permitivității statice efective a LM, bazat pe modelul orientațional atât al particulei coloidale anizometrice, cât și al dubletului de particule sferice în interacțiune electromagnetică slabă.

#### 4.1. Studiul teoretic al efectului magnetodielectric corespunzător permisivității statice efective a lichidelor magnetice

Într-un lichid magnetic conținînd particule coloidale de magnetită cu anizotropie de formă ( respectiv, perechi sau lanțuri lungi de particule coloidale sferice ) și aflat sub acțiunea simultană a cîmpurilor, electric și magnetic, statice și uniforme, apare un efect magnetodielectric corespunzător permisivității statice efective a lichidului magnetic, explicabil prin următorul mecanism magnetoorientațional de polarizare: odată cu alinierea în cîmp magnetic a momentelor magnetice permanente ale particulelor coloidale anizometrice ( respectiv, ale particulelor coloidale sferice grupate în perechi sau lanțuri lungi ), se orientează și particulele coloidale însăși ( respectiv, perechile sau lanțurile lungi ale acestora ), deci și momentele electrice dipolare induse în ele de cîmpul electric.

**4.1.1. Cazul lichidelor magnetice cu particule coloidale  
anizometrice**

Se consideră că particulele coloidale de magnetită din lichidul magnetic sunt dielectrice și au formă sferoidală. Ele sunt neîncărcate electric și fără SDE atașat, fiind caracterizate prin momentul electric dipolar induș  $\bar{p}_p$ , dat de (1.4.48) și prin momentul magnetic permanent  $\bar{m}_p = M_{p,s} V_p$  (cu  $M_{p,s}$ , magnetizația de saturare a materialului masiv (magnetită) din care provin particulele coloidale), în prezența simultană a cimpurilor, electric și magnetic, statice și uniforme.

Se admite că particulele coloidale posedă anizotropie magnetică uniaxială, de ordinul întâi. Ca urmare, direcția axei de ușoară magnetizare a particulei sferoidale coincide cu axa ei mare de simetrie (fig. 4.1.1). Cuplajul între momentul magnetic permanent al particulei coloidale și axa ei de ușoară magnetizare se consideră, în general, imperfect, adică energia de anizotropie magnetică uniaxială a particulei este de valoare finită,

$$w_p^{am} = k_a V_p \sin^2 \psi, \quad (4.1.1.)$$

unde  $k_a$  reprezintă constanta anizotropiei magnetice uniaxiale de ordinul întâi, iar  $\psi$  este unghiul oarecare dintre direcțiile vectorului  $\bar{m}_p$  și versorului  $\bar{e}_a$  al axei mari a particulei (fig. 4.1.1.). Vectorii  $\bar{E}_p^a$  și  $\bar{H}_p^a$  ai cimpurilor active, electric și magnetic, în prezența căror se află particula coloidală, fac între ei unghiul oarecare  $\theta$ .  $\bar{H}_p^a$  se adoptă coliniar cu axa  $z'$  a unui sistem local de coordonate carteziene ( $x', y', z'$ ) și se notează cu  $\Gamma$  și  $\Lambda$  unghiurile sale cu  $\bar{e}_a$ , respectiv  $\bar{m}_p$ .

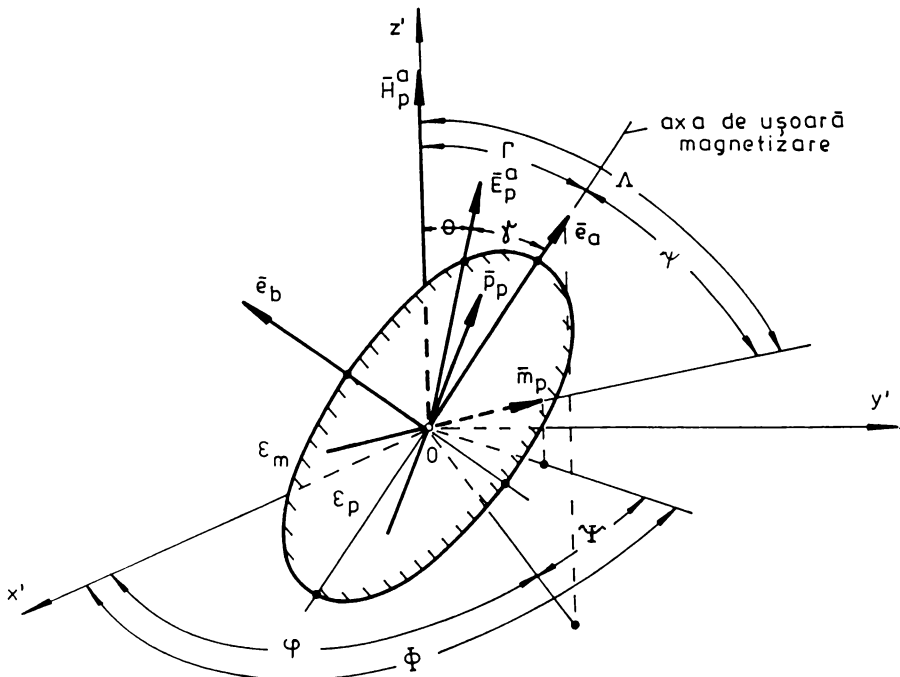


Fig.4.1.1. Particulă coloidală anizometrică ( sferoidală ) imersată în mediul lichid de suspensie și aflată în prezența simultană a cîmpurilor active electric și magnetic.

Proiecțiile pe planul  $x'oy'$  ale lui  $\bar{e}_a$  și  $\bar{m}_p$  fac cu axa  $ox'$  unghiurile  $\varphi$ , respectiv  $\Psi$  (fig.4.1.1).

Energia potentială totală a particulei coloidale magnetice este dată de suma:

$$W_p = W_p^m + W_p^{am} + W_p^e, \quad (4.1.2)$$

unde

$$W_p^m = -\mu_0 M_p \bar{m}_p \bar{H}_p^a = -\mu_0 M_p V_p H_p^a \cos \Lambda \quad (4.1.3)$$

reprezintă energia potentială în cîmp magnetic, unde  $w_p^{am}$  este definită în (4.1.1) și unde energia potentială în cîmp electric  $w_p^e$ , dată de (1.4.50), se negligează, în continuare, față de

$w_p^m$ . Ca urmare,

$$w_p \approx w_p^m + w_p^{am} = -\mu_0 M_p s v_p H_p^a \cos \Lambda + k_a v_p \sin^2 \gamma. \quad (4.1.4)$$

În ipotezele anterioare, momentul electric dipolar induș  $\bar{p}_p$  are, formal, același modul (1.4.51), dar ordonarea particulelor coloidale anizometrice nemaifiind electroorientațională, ci predominant magnetoorientațională, media statistică  $\langle \cos^2 \gamma \rangle$  din (1.4.51) trebuie înlocuită prin

$$\begin{aligned} \langle \cos^2 \gamma \rangle_H &= \left[ \int_0^\pi \sin \Lambda d\Lambda \int_0^\pi \sin \Gamma d\Gamma \int_0^{2\pi} d\Phi \int_0^{2\pi} d\varphi \cos^2 \gamma \exp(-w_p/k_B T) \right]^{-1} \\ &\times \left[ \int_0^\pi \sin \Lambda d\Lambda \int_0^\pi \sin \Gamma d\Gamma \int_0^{2\pi} d\Phi \int_0^{2\pi} d\varphi \exp(-w_p/k_B T) \right]. \end{aligned} \quad (4.1.5)$$

Dacă în relația precedentă (4.1.5) se introduc mărimele adimensionale  $u = \mu_0 M_p s v_p H_p^a / k_B T$  și  $v = k_a v_p / k_B T$ , se face schimbarea de variabilă  $\Phi \rightarrow \Psi = \Phi - \varphi$  (fig. 4.1.1) și se ține seama de relația unghiulară

$$\cos \gamma = \cos \Gamma \cos \theta + \sin \Gamma \sin \theta \cos \varphi, \quad (4.1.6)$$

atunci se obține, după integrarea în raport cu  $\varphi$ :

$$\begin{aligned} \langle \cos^2 \gamma \rangle_H &= (1/2)(3 \cos^2 \theta - 1) \left[ \int_0^\pi \sin \Lambda d\Lambda \int_0^\pi \cos^2 \Gamma d(\cos \Gamma) \int_0^{2\pi} d\Psi \right. \\ &\times \exp(u \cos \Lambda - v \sin^2 \Psi) / \left[ \int_0^\pi \sin \Lambda d\Lambda \int_0^\pi \sin \Gamma d\Gamma \int_0^{2\pi} d\Psi \exp(u \cos \Lambda - v \sin^2 \Psi) \right] + (1/2) \sin^2 \theta. \end{aligned} \quad (4.1.7)$$

Efectuind o nouă schimbare de variabile  $(\Gamma, \Psi) \rightarrow (\psi, \Theta)$ , unde  $\Theta$  reprezintă unghiul dintre proiecțiile vectorilor  $\bar{H}_p^a$  și  $\bar{e}_a$  pe un plan ortogonal la  $\bar{m}_p$ , și ținând seama de relația unghiulară:

$$\cos \Gamma = \cos \Lambda \cos \psi + \sin \Lambda \cos \Theta \sin \psi, \quad (4.1.8)$$

rezultă din (4.1.7), după integrarea în raport cu  $\Theta$ :

$$\begin{aligned} \langle \cos^2 \gamma \rangle_H &= (1/2)(3 \cos^2 \theta - 1) [I'(u) I''(v) + (1 - I'(u)) \\ &\times (1 - I''(v))/2] + (1/2) \sin^2 \theta \end{aligned} \quad (4.1.9)$$

cu

$$\begin{aligned} I'(u) &= \left[ \int_0^\pi \cos^2 \Gamma \exp(u \cos \Gamma) d(\cos \Gamma) \right] \left[ \int_0^\pi \exp(u \cos \Gamma) d(\cos \Gamma) \right]^{-1} \\ &= 1 - 2 L(u)/u, \end{aligned} \quad (4.1.10)$$

unde  $L(u) = \operatorname{cth} u - 1/u$  este funcția lui Langevin și

$$\begin{aligned} I''(v) &= \left[ \int_0^\pi \cos^2 \psi \exp(-v \sin^2 \psi) d(\cos \psi) \right] \\ &\times \left[ \int_0^\pi \exp(-v \sin^2 \psi) d(\cos \psi) \right]^{-1} \\ &= \begin{cases} 1/3 + (4/45)v, & \text{pentru } v \ll 1 \\ 1, & \text{pentru } v \rightarrow \infty \end{cases}, \quad (4.1.11) \end{aligned}$$

conform dezvoltărilor asymptotice din (1.3.59), respectiv din [C1, C6].

Cu (4.1.10) și (4.1.11) în (4.1.9), se obține:

$$\langle \cos^2 \gamma \rangle_H(\theta) = \begin{cases} 1/3 - (2/15)(L(u)/u)v(3\cos^2 \theta - 1), & \text{pentru } v \ll 1 \\ L(u)/u + (1 - 3L(u)/u)\cos^2 \theta, & \text{pentru } v \rightarrow \infty \end{cases}. \quad (4.1.12)$$

Expresiile teoretice (1.4.56)-(1.4.58) ale permitivității efective a LM în cimp electrostatic uniform se transpun formal și la LM aflat în prezența simultană a cimpurilor electric și magnetic, statice și uniforme, cu singura substituție:

$$\tilde{\beta}_{p,H}^* \rightarrow \tilde{\beta}_{p,H}(\theta) = \beta_{p\perp} + (\beta_{p\parallel} - \beta_{p\perp}) \langle \cos^2 \gamma \rangle_H(\theta),$$

unde  $\beta_{p\perp}$  și  $\beta_{p\parallel}$  au definițiile (1.4.26) și (1.4.47), iar  $\langle \cos^2 \gamma \rangle_H(\theta)$  este dat de (4.1.12). Dacă în relațiile astfel obținute, se consideră cazurile particulare  $\theta=0$  și  $\theta=\pi/2$ , rezultă expresii de calcul pentru permitivitatea statică efectivă a LM, în condițiile efectului magnetodielectric paralel, respectiv perpendicular. De exemplu, formula de tip Polder-van Santen, valabilă pentru  $\tilde{E}_p^a \approx \tilde{E}$ , se scrie, prin analogie cu (1.4.56):

$$\varepsilon_H^{\parallel} = \varepsilon_m [1 + \varphi_p \tilde{\beta}_{p,H}(\theta=0)], \quad (4.1.13)$$

$$\varepsilon_H^{\perp} = \varepsilon_m [1 + \varphi_p \tilde{\beta}_{p,H}(\theta=\pi/2)]. \quad (4.1.14)$$

La limita cîmpurilor magnetice slave ( $u \ll 1$ ):

$$(\tilde{\beta}_{p,H}(\theta))_{u \ll 1} = \begin{cases} (\beta_{p\parallel} + 2\beta_{p\perp})/3 + (2/15)\Delta\beta_p(u^2/45 - 1/3)v(3\cos^2\theta - 1), & \text{pentru } v \ll 1 \\ (\beta_{p\parallel} + 2\beta_{p\perp})/3 + (u^2/45)(3\cos^2\theta - 1), & \text{pentru } v \rightarrow \infty, \end{cases} \quad (4.1.15)$$

unde s-a notat  $\Delta\beta_p = \beta_{p\parallel} - \beta_{p\perp}$  și s-a ținut seama de (4.1.12) și de reprezentarea asimptotică a funcției lui Langevin,  $L(u)_{u \ll 1} \approx u/3 - u^3/45$ .

Din (4.1.13)-(4.1.15) se deduce imediat:

$$(\Delta\varepsilon_H^{\parallel})_{u \ll 1} = -2(\Delta\varepsilon_H^{\perp})_{u \ll 1} = \begin{cases} (4/45)\varepsilon_m \varphi_p \Delta\beta_p (u^2/15 - 1)v, & \text{pentru } v \ll 1 \\ (2/45)\varepsilon_m \varphi_p \Delta\beta_p u^2, & \text{pentru } v \rightarrow \infty, \end{cases} \quad (4.1.16)$$

unde  $\Delta\varepsilon_H^{\parallel} = \varepsilon_H^{\parallel} - \varepsilon(H=0)$ ,  $\Delta\varepsilon_H^{\perp} = \varepsilon_H^{\perp} - \varepsilon(H=0)$ ,  
 $\varepsilon(H=0) = \varepsilon_m [1 + \varphi_p (\beta_{p\parallel} + 2\beta_{p\perp})/3]$ .

Relația anterioară (4.1.16) arată că la limita cîmpurilor magnetice slave și pentru ambele valori extreme ( $v \ll 1$ , respectiv  $v \rightarrow \infty$ ) ale energiei de anizotropie magnetică a particulei sferoidale suspendate, variația permitivității statice efective a LM determinată de un cîmp magnetic paralel cu cel electric aplicat este dublă și de semn contrar față de variația aceleiasi mărimi determinată de un cîmp magnetic ortogonal celui electric.

Pe de altă parte, anizotropia magnetodielectrică relativă la permitivitatea statică efectivă a LM este, conform

(4.1.12)-(4.1.14):

$$\varepsilon_H^{\parallel} - \varepsilon_H^{\perp} = \begin{cases} -(2/5)\varepsilon_m \varphi_p^{\Delta\beta_p} v L(u)/u, \text{ pentru } v \ll 1 \\ -\varepsilon_m \varphi_p^{\Delta\beta_p} (3L(u)/u - 1), \text{ pentru } v \rightarrow \infty. \end{cases} \quad (4.1.17)$$

Ea depinde, aşadar, (i) de concentraţia volumică  $\varphi_p$  a fazei disperse din LM, (ii) de anizotropia  $\Delta\beta_p$  a coeficientului de polarizabilitate dipolară statică a particulelor coloidale anizometrice, iar, la limita cîmpurilor magnetice slabe ( $u \ll 1$ ), (iii) de pătratul intensităţii cîmpului magnetic activ.

#### 4.1.2. Cazul lichidelor magnetice cu dublete de particule coloidale sferice

Se consideră perechea de particule coloidale sferice, de rază  $R$ , aflate în interacţiune electromagnetică slabă datorită momentelor lor electrice dipolare induse  $\bar{p}_{p1}, \bar{p}_{p2}$ , respectiv momentelor lor magnetice permanente  $\bar{m}_{p1}, \bar{m}_{p2}$  (fig. 4.1.2). Vectorii  $\bar{E}_p^a$  și  $\bar{H}_p^a$  ai intensităţilor cîmpurilor active, electric și magnetic, statice și uniforme, se admit omoparaleli. Linia centrelor celor două sfere reprezentînd particulele coloidele din cadrul perechii este de lungime  $|\bar{l}_{12}| = |\bar{l}| > 2R$  și face cu direcţia comună a vectorilor-cîmp  $\bar{E}_p^a, \bar{H}_p^a$ , unghiul  $\gamma$ .

Pentru simplificarea calculelor, se adoptă, în continuare, ipoteza coplanarităţii liniei centrelor celor două particule sferice din dublet și a vectorilor  $\bar{E}_p^a, \bar{H}_p^a, \bar{p}_{p1}, \bar{p}_{p2}, \bar{m}_{p1}, \bar{m}_{p2}$ . Corespunzător acestui model teoretic bidimensional, se notează cu  $\Lambda_1$  și  $\Lambda_2$  unghiurile dintre momentele magnetice permanente  $\bar{m}_{p1}$ , respectiv  $\bar{m}_{p2}$ , și direcţia comună a vectorilor  $\bar{E}_p^a$  și  $\bar{H}_p^a$  (fig. 4.1.2).

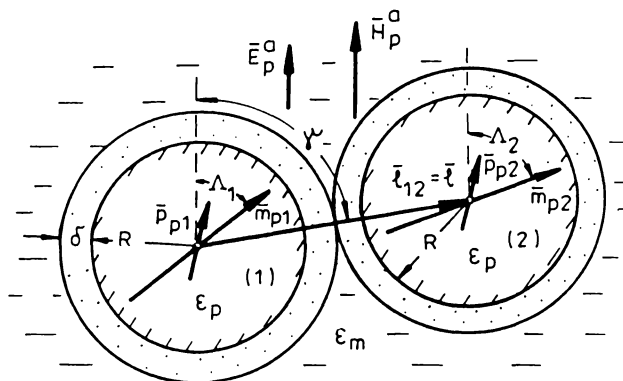


Fig. 4.1.2. Dublet de particule coloidale sferice imersate în mediu lichid de suspensie și aflate în prezență simultană a cimpurilor active electric și magnetic.

Se consideră energia potentială a dubletului de particule coloidale sferice :

$$w_p' = w_p^{ed} + w_p^m + w_p^{md} \approx w_p^m + w_p^{md}, \quad (4.1.18)$$

unde energia  $w_p^{ed}$  de interacțiune electrică dipolară a particulelor din cadrul perechii se negligează, în continuare, în raport cu energia de interacțiune magnetică dipolară,

$$w_p^{md} = - \left( \frac{m_p^2}{l^3} \right) [ 2 \cos(\gamma - \alpha_1) \cos(\gamma - \alpha_2) - \sin(\gamma - \alpha_1) \times \sin(\gamma - \alpha_2) ] = - \left( \frac{m_p^2}{l^3} \right) \cdot f(\gamma, \alpha_1, \alpha_2) \quad (4.1.19)$$

și unde

$$\begin{aligned} w_p^m &= -\mu_0 (\bar{m}_{p1} \cdot \bar{H}_p^a + \bar{m}_{p2} \cdot \bar{H}_p^a) = -\mu_0 m_p H_p^a (\cos \alpha_1 + \cos \alpha_2) \\ &= -\mu_0 M_p, s v_p H_p^a (\cos \alpha_1 + \cos \alpha_2) \end{aligned} \quad (4.1.20)$$

reprezintă energia potentială în cimp magnetic a perechii de particule sferice. Ca urmare, media statistică la echilibru termic (1.3.59) a parametrului de ordonare orientațională a particulelor

coloidale grupate perechi se scrie în cazul de față, al unei ordonări magnetoorientaționale plane :

$$\begin{aligned} \langle \cos^2 \gamma \rangle_H &= \left[ \int_0^{2\pi} \cos^2 \gamma d\gamma \int_0^{2\pi} d\Lambda_1 \int_0^{2\pi} d\Lambda_2 \exp(-w_p'/k_B T) \right] \\ &\times \left[ \int_0^{2\pi} d\gamma \int_0^{2\pi} d\Lambda_1 \int_0^{2\pi} d\Lambda_2 \exp(-w_p'/k_B T) \right]^{-1}, \end{aligned} \quad (4.1.21)$$

cu energia potențială  $w_p'$  definită în (4.1.18)-(4.1.20) și  $k_B T$

exprimînd energia de agitație termică a particulelor coloidale din LM. Introducînd mărimele adimensionale  $u = \mu_0 M_p s v_p H^2 / k_B T$  și  $w = m_p^2 / l^2 k_B T = (R/l)^3 M_p^2 (4\pi/3 k_B T)$  și făcînd ipoteza unui regîm de interacțiuni electromagnetice slabe ale particulelor coloidale sférici, adică,  $w_p^{\text{md}} / k_B T \ll 1$ , se deduce:

$$\begin{aligned} \exp(-w_p'/k_B T) &\approx \exp[u(\cos \Lambda_1 + \cos \Lambda_2)] \\ &\times [1 + wf(\gamma, \Lambda_1, \Lambda_2) + (w^2/2)f^2(\gamma, \Lambda_1, \Lambda_2)], \end{aligned} \quad (4.1.22)$$

unde s-a tinut seama de relațiile (4.1.18)-(4.1.20) și s-a limitat dezvoltarea în serie Taylor a  $\exp(-w_p^{\text{md}} / k_B T)$  la termenul de ordinul doi. Cu (4.1.22.) în (4.1.21.), rezultă:

$$\begin{aligned} \langle \cos^2 \gamma \rangle_H &= \left\{ \int_0^{2\pi} \cos^2 \gamma d\gamma \int_0^{2\pi} d\Lambda_1 \int_0^{2\pi} d\Lambda_2 \exp[u(\cos \Lambda_1 + \cos \Lambda_2)] \right. \\ &\times \left. [1 + wf(\gamma, \Lambda_1, \Lambda_2) + (w^2/2)f^2(\gamma, \Lambda_1, \Lambda_2)] \right\} \\ &\times \left\{ \int_0^{2\pi} d\gamma \int_0^{2\pi} d\Lambda_1 \int_0^{2\pi} d\Lambda_2 \exp([u(\cos \Lambda_1 + \cos \Lambda_2)] \right. \\ &\times \left. [1 + wf(\gamma, \Lambda_1, \Lambda_2) + (w^2/2)f^2(\gamma, \Lambda_1, \Lambda_2)]) \right\}^{-1}. \end{aligned} \quad (4.1.23)$$

Numărătorul expresiei integrale (4.1.23) se rescrie dezvoltat:

$$F_0 + wF_1 + (w^2/2)F_2, \quad (4.1.24)$$

unde

$$F_0 = \int_0^{2\pi} \cos^2 \gamma d\gamma \int_0^{2\pi} \exp(u \cos \Lambda_1) d\Lambda_1 \int_0^{2\pi} \exp(u \cos \Lambda_2) d\Lambda_2, \quad (4.1.25)$$

$$\begin{aligned} F_1 &= 2 \int_0^{2\pi} \cos^2 \gamma d\gamma \prod_{i=1}^2 \left[ \int_0^{2\pi} \exp(u \cos \Lambda_i) (\cos \gamma \cos \Lambda_i + \sin \gamma \sin \Lambda_i) d\Lambda_i \right] \\ &\quad - \int_0^{2\pi} \cos^2 \gamma \prod_{i=1}^2 \left[ \int_0^{2\pi} \exp(u \cos \Lambda_i) (\sin \gamma \cos \Lambda_i - \cos \gamma \sin \Lambda_i) d\Lambda_i \right], \end{aligned} \quad (4.1.26)$$

$$\begin{aligned} F_2 &= \int_0^{2\pi} d\gamma \int_0^{2\pi} d\Lambda_1 \int_0^{2\pi} d\Lambda_2 \exp[u(\cos \Lambda_1 + \cos \Lambda_2)] \\ &\quad \times \{(5/4) + (3/4)[\cos 2(\gamma - \Lambda_1) + \cos 2(\gamma - \Lambda_2)] \\ &\quad + (5/4)\cos 2(\gamma - \Lambda_1)\cos 2(\gamma - \Lambda_2) - \sin 2(\gamma - \Lambda_1)\sin 2(\gamma - \Lambda_2)\}. \end{aligned} \quad (4.1.27)$$

Înăind seama de reprezentarea integrală a funcției Bessel modificate de speță întâi și ordinul zero [A1, A2],

$$I_0(-u) = I_0(u) = [\int_0^{2\pi} \exp(u \cos \Lambda) d\Lambda]/2\pi, \quad (4.1.28)$$

primul termen integral din (4.1.24) obține expresia :

$$F_0 = 4\pi^2 I_0^2(u) \int_0^{2\pi} \cos^2 \gamma d\gamma = 4\pi^3 I_0^2(u). \quad (4.1.29)$$

În mod analog, pentru al doilea termen integrala din (4.1.24)

$$wF_1 = 8\pi^2 I_1^2(u) \int_0^{2\pi} \cos^4 \gamma d\gamma - w 4\pi^2 I_1^2(u) \int_0^{2\pi} \cos^2 \gamma \sin^2 \gamma d\gamma = 5\pi^3 w I_1^2(u), \quad (4.1.30)$$

unde s-a înuit seama de reprezentarea integrală a funcției Bessel modificate de speță întâi și ordinul unu [A1, A2],

$$I_1(-u) = -I_1(u) = [\int_0^{2\pi} \exp(u \cos \Lambda) \cos \Lambda d\Lambda]/2\pi. \quad (4.1.31)$$

În sfîrșit, ultimul termen integral din (4.1.24) obține expresia :

$$\begin{aligned} (w^2/2)F_2 &= (w^2/2)[5\pi^3 I_0^2(u) + 3\pi^2 I_0(-u)I_2(-u) + \pi^3 I_2^2(-u)/2] \\ &= (w^2/2)(\pi^3/2)[17 I_0^2(u) + 4I_1^2(u)/u^2 - 16I_0(u)I_1(u)/u], \end{aligned} \quad (4.1.32)$$

unde s-a ținut seama de reprezentarea integrală a funcției Bessel modificate de speța întii și ordinul doi [A1, A2],

$$I_2(-u) = [\int_0^{2\pi} \exp(u \cos \lambda) \cos \lambda d\lambda]/2\pi \quad (4.1.33)$$

și de relația de recurență [A1, A2]

$$I_2(-u) = I_0(-u) + 2I_1(-u)/u = I_0(u) - 2I_1(u)/u. \quad (4.1.34)$$

La rîndul său, numitorul expresiei integralei inițiale (4.1.23) se calculează într-un mod analog numărătorului aceleiași expresii și se obține:

$$8\pi^3 I_0^2(u) + w^4 \pi^3 I_1^2(u) + (w^2/2)\pi^3 [11I_0^2(u) + 4I_1^2(u)/u^2 - 4I_0(u)I_1(u)/u]. \quad (4.1.35)$$

În baza relațiilor deduse anterior (4.1.24), (4.1.29), (4.1.30.), (4.1.32) și (4.1.35), expresia (4.1.23) rezultă de forma explicită:

$$\langle \cos^2 \gamma \rangle_H = [I_0^2(u) + (5/4)wI_1^2(u) + (1/16)w^2q'(u)] \times [2I_0^2(u) + wI_1^2(u) + (1/8)w^2q''(u)]^{-1}, \quad (4.1.36)$$

unde s-au notat funcțiile

$$q'(u) = 17I_0^2(u) + 4I_1^2(u)/u^2 - 16I_0(u)I_1(u)/u$$

$$q''(u) = 11I_0^2(u) + 4I_1^2(u)/u^2 - 4I_0(u)I_1(u)/u.$$

La limita cîmpurilor magnetice slabe ( $u \ll 1$ ), ținînd seama de dezvoltările asimptotice [A1, A2]

$$(I_0(u))_{u \ll 1} \approx 1 + u^2/4, \quad (4.1.37)$$

$$(I_1(u))_{u \ll 1} \approx u/2 + u^2/16, \quad (4.1.38)$$

expresia (4.1.36) devine:

$$\begin{aligned} \langle \cos^2 \gamma \rangle_H u \ll 1 &\approx [1 + (1/2 + 5 w/16)u^2] \\ \times [2 + (1 + w/4)u^2]^{-1} &= 1/2 + (3 w/32)u^2. \end{aligned} \quad (4.1.39)$$

Expresiile (1.3.65)-(1.3.67) de calcul al permisivității statice efective a LM cu particule coloidale sferice asociate în dublete se păstrează formal și la LM aflat în prezență simultană a cîmpurilor, electric și magnetic, paralele, statice și uniforme, cu singura substituție:

$$\tilde{\beta}_{pe} \rightarrow \tilde{\beta}_{pe,H} = \tilde{\beta}_{p(e)} + \tilde{\beta}_{p(e),H}^d,$$

unde

$$\begin{aligned} \tilde{\beta}_{p(e),H}^d &= v_p \varepsilon_m (R/l)^3 (\beta_{p(e)}^2 / 3) [1 + (R/l)^3 (\beta_{p(e)} / 3)]^{-1} \\ &\times \{3[1 - 2(R/l)^3 (\beta_{p(e)} / 3)]^{-1} \langle \cos^2 \gamma \rangle_H - 1\}, \end{aligned}$$

$\beta_{p(e)}$  avînd definiția (1.3.2), respectiv (1.3.35), iar  $\langle \cos^2 \gamma \rangle_H$  fiind dat de (4.1.36).

Se poate ușor constata, că permisivitatea statică efectivă a LM cu particule coloidale sferice grupate perechi variază cu pătratul intensității slabe ( $u \ll 1$ ) a unui cîmp magnetic paralel cu cel electric aplicat.

#### 4.1.3. Cazul lichidelor magnetice cu lanțuri lungi de particule coloidale sferice

În prezență simultană a cîmpurilor active, electric  $\bar{E}_p^a$  și magnetic  $\bar{H}_p^a$ , statice și uniforme, particulele coloidale sferice din LM pot forma lanțuri rigide lungi. Pe lîngă ipotezele simplificatoare de tratare a acestui caz, adoptate în paragraful 1.3.3, se mai admite că:

-momentul magnetic permanent  $\bar{m}_{pi}$  al oricărei particule sferice din cadrul unui lanț lung este aliniat cu axa lanțului;

-orientarea relativă a vectorilor cimp  $\bar{E}_p^a$  și  $\bar{H}_p^a$  este dată de unghiul oarecare  $\theta$  (fig.4.1.3);

-energiile de interacție dipolară electrică și magnetică ale particulelor sferice din cadrul lanțului lung se neglijeaază în raport cu energia lor potentială în cimp magnetic.

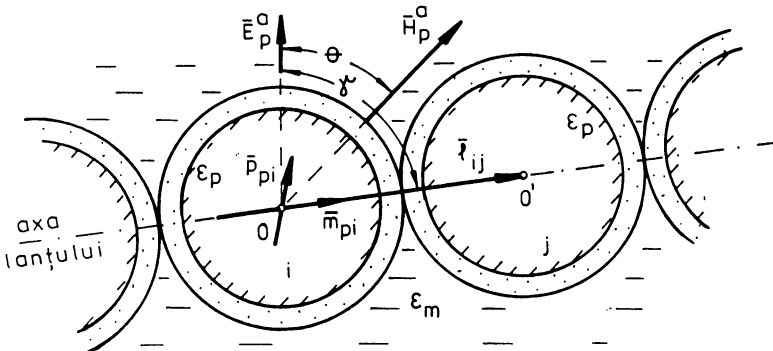


Fig.4.1.3. Lanț lung rigid de particule coloidale sferice imersate în mediul lichid de suspensie și aflate în prezența simultană a cimpurilor active electric și magnetic.

Asupra fiecărei particule coloidale sferice dintr-un lanț lung și, ca urmare, asupra întregului lanț se exercită, în acest caz, nu un cuplu de electroorientare, ci unul de magnetoorientare, tinzind să aducă axa lanțului rigid de particule pe direcția cimpului magnetic activ  $\bar{H}_p^a$  (mechanism de polarizare de tip magnetoorientațional). Corespunzător, polarizabilitatea statică medie a particulelor coloidale sferice asociate în lanțuri lungi și coeficientul adimensional al acestei polarizabilități au expresii identice formal cu (1.3.70), respectiv (1.3.71), cu singura substituție necesară:  $\langle \cos^2 \gamma \rangle \rightarrow \langle \cos^2 \gamma \rangle_H$ . Prin analogie cu (4.1.9)-(4.1.10), se poate scrie în cazul de față:

$$\langle \cos^2 \gamma \rangle_H = L(u)/u + \cos^2 \theta (1 - 3L(u)/u), \quad (4.1.40)$$

unde s-au menținut notațiile

$$u = \mu_0 M_p s v_p H_p^a / k_B T, \quad \gamma = (\hat{\bar{E}}_p^a, \hat{\bar{I}}_{ij}), \quad \text{și} \quad \theta = (\hat{\bar{E}}_p^a, \hat{\bar{H}}_p^a),$$

$\vec{l}_{ij}$  fiind vectorul liniei centrelor oricărora două particule sferice adiacente i și j din lanț, vector coliniar cu axa lanțului.

Pentru valorile uzuale  $\beta_{p(e)} \approx 3$  și  $R/l_{ij} \approx 1/2.5$ , se obține, într-un mod analog cu cel de deducere a relației (1.5.3) din (1.3.71):

$$\tilde{\beta}_{pe,H}^1(\theta) \approx 2.572 + 1.447 \langle \cos^2 \rangle_H(\theta), \quad (4.1.41)$$

de unde, ținând seama de (4.1.40):

$$\tilde{\beta}_{pe,H}^1(\theta=0) = 2.572 + 1.447(1 - 2L(u)/u) \quad (4.1.42)$$

$$\tilde{\beta}_{pe,H}^1(\theta=\pi/2) = 2.572 + 1.447L(u)/u. \quad (4.1.43)$$

Cu ajutorul relațiilor anterioare (4.1.42), (4.1.43), formula de tip Polder-van Santen pentru LM conținând lanțuri lungi de particule coloidale sferice, se scrie, prin analogie cu (4.1.13), (4.1.14):

$$\varepsilon_H^{||} = \varepsilon_m [1 + \varphi_p \tilde{\beta}_{pe,H}^1(\theta=0)], \quad (4.1.44)$$

$$\varepsilon_H^{\perp} = \varepsilon_m [1 + \varphi_p \tilde{\beta}_{pe,H}^1(\theta=\pi/2)]. \quad (4.1.45)$$

La limita cimpurilor magnetice slabe ( $u \ll 1$ ), din (4.1.42)-(4.1.45) se deduce imediat:

$$(\Delta\varepsilon_H^{||})_{u \ll 1} = -2(\Delta\varepsilon_H^{\perp})_{u \ll 1} = 2\varepsilon_m \varphi_p (1.447 u^2 / 45), \quad (4.1.46)$$

unde  $\Delta\varepsilon_H^{||} = \varepsilon_H^{||} - \varepsilon(H=0)$  și  $\Delta\varepsilon_H^{\perp} = \varepsilon_H^{\perp} - \varepsilon(H=0)$ , cu  $\varepsilon(H=0) = \varepsilon_m [1 + \varphi_p \times (2.572 + 1.447/3)]$ . Relația (4.1.46) este de aceeași formă cu (4.1.16) și admite o interpretare identică.

Comparind, în final, cele trei modele teoretice orientaționale de tratare a efectului magnetodielectric corespunzător permitivității statice efective a LM, se constată că, la limita cimpurilor magnetice slabe, rezultatele obținute

sînt similare. Aceasta dovedește că toate cele trei mecanisme magnetoorientaționale de polarizare, al particulei coloidale anizometrice, al perechii și al lanțului lung de particule sferice, pot fi cooperante.

#### **4.2. Studiul experimental al efectelor magnetodielectrice în lichidele magnetice**

##### **4.2.1. Efectul magnetodielectric corespunzător permitivității reale efective și tangentei unghiului de pierderi dielectrice totale**

Pentru studiul experimental al efectului magnetodielectric corespunzător parametrilor efectivi  $\epsilon'_r$  și  $\operatorname{tg}\delta$  ai LM, s-au utilizat metoda și instalația de măsurare descrise în paragraful 3.3. În plus, celula cu condensatorul plan de măsurare a fost plasată între polii unui electromagnet cu miez de fier, de tip Weiss, cu piese polare cilindrice, pentru generarea în întrefierul său a unui cîmp magnetic staționar și uniform (de inducție reglabilă între 0 și 0.1 T). Poziția celulei de măsurare în întrefierul electromagnetului Weiss a fost astfel aleasă încît direcțiile cîmpului electric armonic dintre plăcile condensatorului de măsurare și cîmpul magnetic dintre polii electromagnetului să fie paralele.

S-au determinat experimental variațiile cu frecvență ale parametrilor  $\epsilon'_r$  și  $\operatorname{tg}\delta$ , pentru proba I de LM, punindu-se în evidență efectele magnetodielectrice paralele corespunzătoare lor. Rezultatele experimentale sunt prezentate în tabelele 4.2.1 și 4.2.2.

Analizînd tabelul 4.2.1, se constată că dependențele de frecvență cîmpului electric armonic aplicat ale parametrilor magnetodielectrii  $\epsilon''_{RH}$  și  $\operatorname{tg}\delta''_H$  sunt similare cu cele ale parametrilor dielectrii  $\epsilon'_r$  și  $\operatorname{tg}\delta$ , în absența cîmpului magnetic.

Tabelul 4.2.1

			0.5	1	f (kHz)	5	10	25
$\epsilon_r'$	la	H = 0	5.32	4.98	4.78	4.66	4.4	
$\epsilon_r''_{  }$	la	H = 80 kA/m	5.52	5.11	4.86	4.71	4.4	
$\text{tg } \delta$	la	H = 0	11.2	5.97	2.51	0.69	0.3	
$\text{tg } \delta''_{  }$	la	H = 80 kA/m	10.82	5.76	2.45	0.68	0.3	

Tabelul 4.2.2

	H (kA/m)			
	0	8	48	80
$\epsilon_r''_{  }$	4.98	5.02	5.07	5.1
(la 1 kHz)				
$\text{tg } \delta''_{  }$	5.97	5.9	5.81	5.7
(la 1 kHz)				

Din tabelul 4.2.2 rezultă că pentru valori ale intensității cimpului magnetic uniform cuprinse în domeniul  $0\text{--}80/\text{kA}\cdot\text{m}^{-1}$ , proba I de LM evidențiază un efect magnetodielectric paralel măsurabil, de mărime pozitivă, în cazul permitivității relative reale efective  $\epsilon_r''_{||}$ , respectiv de mărime negativă, în cazul tangentei unghiului de pierderi dielectrice totale  $\text{tg } \delta''_{||}$ . Pentru explicarea calitativă a acestui efect pot fi invocate mecanismele magnetoorientaționale descrise teoretic în paragraful 4.1.

#### 4.2.2. Efectul magnetodielectric corespunzător rigidității dielectrice efective

Rigiditatea dielectrică efectivă  $E_{\text{str}}$  a LM este o mărime convențională, reprezentând raportul dintre valoarea eficace a tensiunii electrice alternative, de formă practică sinusoidală, la care se produce străpunģerea dielectrică a LM, în condițiile specifice încercării, și distanța dintre cei doi electrozi între care tensiunea este aplicată. Mărimea  $E_{\text{str}}$  depinde de formă electrozilor, de temperatura probei de LM, dar, mai ales de structura internă a LM încercat, adică de natura și dimensiunile

particulelor coloidale, distanța dintre ele, grosimea și rezistența la străpungeri a SDE din jurul particulelor.

Determinarea rigidității dielectrice a LM s-a efectuat conform STAS 286-81, utilizând o instalație de tip ARU modificată, avind schema electrică din fig. 4.2.1, cu următoarele notări:

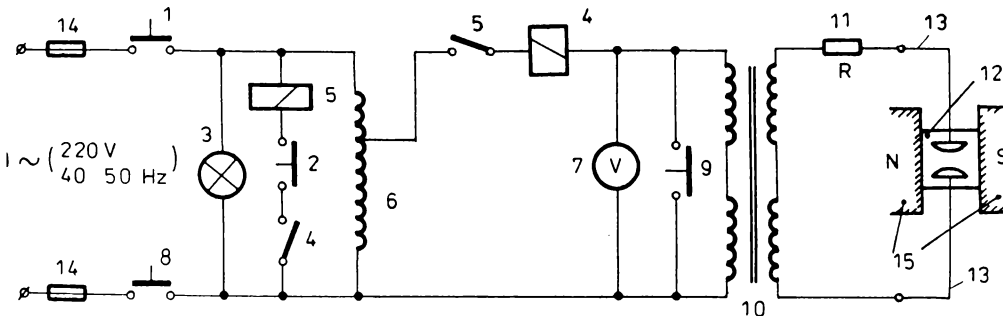


Fig. 4.2.1. Schema electrică a instalației de măsurare a rigidității dielectrice efective a LM.

1,2-botun de pornire, respectiv de oprire; 3-lampă semnalizatoare a prezenței tensiunii; 4-releu maximal de curent pentru decuplarea aparatului în momentul străpungerii LM; 5-releu minimal de tensiune; 6-autotransformator pentru reglarea tensiunii în primarul transformatorului de înaltă tensiune 10; 7-voltmetru gradat în KV pentru indicarea tensiunii de străpungere dielectrică; 8,9-butoane de blocaj cu scop de protecție a personalului care deservește instalația; 11-rezistență limitatoare a curentului de scurtcircuit pe partea de înaltă tensiune; 12- celula de măsurare din sticlă, de formă cilindrică, prevăzută cu electrozi de cupru cu profil Rogowski; 13- cablu de înaltă tensiune; 14- siguranțe fuzibile pentru protecția aparatului; 15- polii cilindrici ai electromagnetului Weiss, care aplică un câmp magnetic staționar și uniform asupra celulei de măsurare 12 cu LM .

Pentru fiecare valoare a cîmpului magnetic aplicat celulei de măsurare, de 0 la  $0.5 \text{ T}$ , s-a străpuns proba de LM de 6 ori și s-a calculat tensiunea de străpungere medie  $U_{\text{str}}$ . S-a calculat, apoi, rigiditatea dielectrică efectivă a LM cu formula:

$$E_{str} = U_{str} / d, \text{ MV m}^{-1} \quad (4.2.1)$$

unde  $d$  reprezintă distanța dintre electrozii celulei ( $d = 2.5 \cdot 10^{-3} \text{ m}$ ).

Întrucât capacitatea celulei de măsurare a fost relativ mare (cca  $400 \text{ cm}^3$ ) s-a încercat la străpungere dielectrică o probă de LM cu magnetizația de saturatie de  $200 \text{ Gs}$ , singura disponibilă, în cantitate mare, pe durata încercărilor.

Determinările s-au efectuat atât în absență, cât și în prezență unui cimp magnetic uniform, aplicat perpendicular pe direcția cimpului electric alternativ dintre electrozii celulei de măsurare.

Rezultatele măsurătorilor rigidității dielectrice efective a probei de LM sunt prezentate în fig.4.2.2.

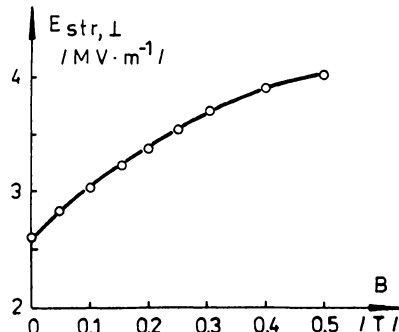


Fig.4.2.2. Efectul magnetodielectric perpendicular corespunzător rigidității dielectrice efective a LM.

Temperatura mediului ambiant și a probei de LM au fost de  $287 \pm 0.5 \text{ K}$ .

După cum se observă din fig.4.2.2, rigiditatea dielectrică a probei de LM crește semnificativ cu variația (de la 0 la  $0.5 \text{ T}$ ) inducției  $B$  a cimpului magnetic uniform, aplicat ortogonal celui electric armonic dintre electrozii celulei de măsurare. Rezultă că și rigiditatea dielectrică a LM prezintă un efect magnetodielectric măsurabil la aplicarea simultană asupra LM a cimpurilor uniforme, electric și magnetic. Mărimea efectului magnetodielectric perpendicular este, în acest caz, pozitivă.

O interpretare calitativă a acestui efect este următoarea. La aplicarea simultană și ortogonală a cimpurilor omogene, electric și magnetic, particulele coloidale de magnetită se apropie și se ordonează în lanțuri lungi pe direcția cimpului

magnetic.

În spațiu dințre electrozii celulei de măsurare rămîne tot mai mult mediu lichid de suspensie, ceea ce conduce la creșterea progresivă a rigidității dielectrice efective cu inducția magnetică  $B$ .

Dimpotrivă, la aplicarea simultană și paralelă a cîmpurilor uniforme, electric și magnetic, este de așteptat ca lanțurile lungi de particule coloidale să se formeze chiar între electrozi constituind căi de străpungere dielectrică ușoară a LM și determinînd, prin urmare, un efect magnetodielectric paralel, de mărime negativă, corespunzător rigidității dielectrice efective a LM.

## 5. CONCLUZII FINALE

Tema abordată în prezentă teză de doctorat a constituit-o studiul teoretic și experimental al principalelor proprietăți electrofizice (dielectrice, conductoare, electrodinamice de c.a. și magnetodielectrice) ale clasei de LM conținând particule coloidale de magnetită, suspendate în petrol și surfacțe cu acid oleic. S-a studiat, astfel, comportarea LM din clasa considerată, mai întii, în prezența cimpului electric uniform în spațiu și staționar, respectiv armonic, în timp, iar, apoi, în prezența simultană a cimpurilor uniforme, electric static, respectiv armonic, și magnetic staționar.

Să apreciază că oportunitatea acestui studiu este deopotrivă fundamentală și aplicativă. Din punct de vedere fundamental, abordarea teoretică a fenomenelor electrofizice din LM, bazată pe interpretări microscopice adecvate și consistentă cu datele experimentale, prezintă atât un interes specific, pentru cercetarea mai aprofundată a LM, cît și un interes general, pentru analiza comportării sistemelor coloidale în prezența cimpului electromagnetic. În planul aplicațiilor potențiale, acest studiu vizează spectroscopia dielectrică a LM, controlul conductometric al procesului lor de preparare, controlul dielectrometric în audiofreqvență al calității LM în instalațiile tehnologice, micromotocare de relaxație dielectrică utilizând particule ferocoloidale, senzori/traductoare bazate pe efectele magnetodielectrice în LM etc.

Teza de doctorat conține următoarele contribuții originale ale autorului:

- descrierea microscopică a polarizării statice a SDE atașat particulelor coloidale din LM;
- definiția teoretică și expresiile de calcul alternative ale permitivității statice efective a LM;
- modelul teoretic electrodifuziv al polarizării statice a LM conținând particule coloidale sferice cu SDE de tip Stern atașat;
- calculul momentului electric dipolar rezultant, induș în particula coloidală sferică dintr-un dublet, respectiv dintr-un lanț rigid lung;

- studiul teoretic în coordonate sferoidale al polarizării statice a LM conținând particule coloidale anizometrice cu și fără SDE de tip Stern atașat;
- interpretarea microscopică și deducerea expresiei de calcul ale conductivității electrice (de regim staționar) efective a LM;
- definițiile teoretică și experimentală ale conductivității electrice generalizate (complexă) efective a LM;
- studiul teoretic al comportării în cimp electric armonic și uniform a LM conținând particule coloidale sférice cu SDE de tip Stern atașat;
- calculul în coordonate sferoidale al conductivității electrice generalizate (complexă) efective a LM conținând particule coloidale anizometrice cu strat Stern subțire;
- realizarea unei instalații de măsurare în audiofrecvență a parametrilor (dielectrici și magnetodielectrici)  $\epsilon_r'$  și tgδ specifi LM;
- studiul teoretic bidimensional al efectului magnetodielectric paralel corespunzător permisivității statice efective a LM cu dublere de particule coloidale sféricе;
- calculul anizotropiei magnetodielectrice corespunzătoare permisivității statice efective a LM cu lanțuri rigide lungi de particule coloidale sféricе;
- realizarea unei instalații de înaltă tensiune pentru studiul experimental al efectului magnetodielectric perpendicular corespunzător rigidității dielectrice a LM.

Să considerăm că efortul de cercetare al autorului tezei de față ar putea fi continuat în viitor prin:

- luarea în considerare a mișcării browniene a particulelor coloidale în studiul teoretic al proprietăților electrodinamice ale LM;
- extinderea la regimul nestaționar a studiului teoretic al efectelor magnetodielectrice în LM;
- studiul experimental al proprietăților dielectrice și magnetodielectrice ale LM în regim static, respectiv armonic de foarte joasă frecvență;
- studiul viscozității (postefectului) dielectrice și magnetodielectrice specifice LM;
- concepția și realizarea practică a unor traductoare bazate

pe efectele magnetodielectrice în LM, respectiv a unor micromotoare de relaxație dielectrică utilizând particule ferocoloidale. În sfîrșit, ca perspectivă generală, se prevede extinderea studiului proprietăților electrofizice la LM concentrate, precum și la alte clase de LM cu imagini electrochimice mai complexe.

## BIBLIOGRAFIE

- [A1] ABRAMOWITZ,M. , SEGUN,I. A. , eds., *Handbook of mathematical functions*, Dover Publications, Inc., New-York, 1965
- [A2] ANGOT,A. , *Complemente de matematici pentru inginerii din electrotehnica și din telecomunicații* (traducere din limba franceză), Ed. Tehnică, București, 1966.
- [A3] ARAMIAN.M. A. , KARAPETIAN,M. A. , *K rascetu dielektriceskoi proniçaemosti dispersnoi sistemi*, Kolloidnii Journal, 51 (1989), 5, 963-968.
- [A4] AYOUB,N. Y. ş.a., *A "pair orientation" model of the magnetodielectric anisotropy in ferrofluids*, *Journal of Magnetism and Magnetic Materials*, 65 (1987), 185-187.
- [B1] BÖTTCHER,C. I. F. ş.a., *Theory of electric polarization*, vol.I-II, Elsevier Scientific Publishing Company, Amsterdam, 1978.
- [B2] BICA,D. , *Asupra obținerii unor lichide magnetice nepolare și polare*. Conferința de Mașini Hidraulice și Hidrodinamică, vol.VI -Lichide Magnetice, Timișoara 1990, 19-26.
- [B3] BARNA,R. , LIȚĂ,M. , *Analiza distribuției dimensionale a particulelor coloidale din lichide magnetice*. Conferința de Mașini Hidraulice și Hidrodinamică, vol.VI -Lichide Magnetice, Timișoara 1990, 19-26.
- [B4] BOBBERT,P. A. , VLIEGER,I. , *The polarizability of a spherical particle on a substrate*, *Physica A*, 147(1987), 115-141.
- [B5] BERGMAN,D. I. , *The dielectric constant of a composite material - A problem in classical physics*, *Physics Reports*, 43(1978), 9, 377-407.
- [B6] BUSH,G. C. , *Calculation of dipole moments for nonspherical particles*, *IEEE Transactions on Magnetics*, 25 (1989), 4, 2928-2930.
- [C1] COLTEU,A. , *Proprietăți ale lichidelor magnetice în cimpuri electromagnetice staționare*, Teză de doctorat, I. P. Timișoara, 1981.
- [C2] COLTEU,A. , *Polarisations of magnetic fluids*, *Journal of Magnetism and Magnetic Materials*, 39 (1983), 85-87
- [C3] CHANTRELL,R. W. , *Dielectric behaviour of magnetic fluids*, *Journal of Magnetism and Magnetic Materials*, 45 (1984), 100-106.
- [C4] CHANTRELL,R. W. , *Some aspects of texture in ferrofluids*, *Journal of Physique*, C6, 46 (1985), 271-278.
- [C5] CHANTRELL,R. W. ş.a., *Birefringence of weakly interacting fine particles*, *Journal of Applied Physics*, 57 (1985), 1, 4268-4270.
- [C6] CHANTRELL,R. W. , ş.a., *Determination of the magnetic anisotropy of ferrofluids from torque magnetometry data*, *Journal of Magnetism and Magnetic Materials*,

38(1983), 83-92.

- [C7] COTAE,C., *Asupra comportării coloizilor magnetici în cimp magnetic*, Teză de doctorat, Centrul de Fizică Tehnică Iași , 1982.
- [C8] COTAE,C., *Dielectric anisotropy in ferrofluids*, Journal of Magnetism and Magnetic Materials, 39 (1983), 88-90.
- [C9] COTAE,C., CĂLUGĂRU,G., *Magneto-dielectric properties of unpolar ferrofluids*, Czechoslovak Journal of Physics, B31 (1981) ,6, 639-643.
- [D1] DIUPOVKIN,N.I., ORLOV,D.V., *Issledovanie elektriceskikh svoistv magnitnih jidkostei. Magnitnje jidkosti: nauchinie i prikladnie issledovaniia* (ed. E.F. Nogotov ş.a.), Akad.Nauk BSSR, Minsk, 1983, 26-32.
- [D2] DUKHIN,S.S., SHILOV,V.N., *Dielectric phenomena and the double layer in disperse systems and polyelectrolytes*, Keter Publishing House, Jerusalem, 1974.
- [D3] DE SABATA,I., COLȚEU,A., *Sur la théorie macroscopique des champs électrocinétiques distribués sur des surfaces*, Buletinul științific și tehnic al Inst. Politehnic "Traian Vuia" Timișoara, serie Electro-tehnica, 23 (1978), 2, 155-160.
- [D4] DE SABATA,I., *Bazele electrotehnicii*, vol.I, Inst. Polit. Timișoara, 1980.
- [D5] DE SABATA,I., FRÄNKEL,D., *Asupra formelor locale ale legilor electrodinamicii Maxwell-Hertz la frontieră dintre coruri în mișcare*, Conferința Națională de Electrotehnică și Electroenergetică, Craiova 20-21 sept. 1984, vol.I -Bazele electrotehnicii. Probleme de cimp, pg. 33-42.
- [D6] DUKHIN,S.S., SHILOV,V.N., *Kinetic aspects of electro-chemistry of disperse systems*, Advances in Colloid and Interface Science, 13(1980), 153-195.
- [D7] DE MUNCK,J.C., *The potential distribution in a layered isotropic spheroidal volume conductor*, Journal of Applied Physics, 64(1988), 2, 464-469.
- [D8] DE LACEY,E.H.B., WHITE,L.R., *Dielectric response and conductivity of dilute suspensions of colloidal particles*, Journal of the Chemical Society - Faraday Transactions II, 77(1981), 11, 2007-2039.
- [D9] DERRICHE,O. ş.a., *Magnetodielectric response of a ferrofluid at low temperature*, Journal of Magnetism and Magnetic materials 102 (1991), 255-2
- [E1] ESTRELA-LOPIS,V.R. ş.a., *Vzaimnaia polarizaciia v dublete ciastich pri ih proizvolnoi orientatsii otnositelno vektora polia*, Kolloidni Jurnal, 48 (1986), 5, 988-993.
- [E2] ESPURZ,A.ş.a., *Magnetically induced dielectric anisotropy in concentrated ferrofluids*, Journal of Physics - D: Applied Physics, 22 (1989), 1174-1178

- [F1] FERTMAN, V. E., *Magnetic fluids guidebook : properties and applications*, Hemisphere Publ. Corp., New York, 1990.
- [F2] FERTMAN, V. E., *Izmerenie koefficienta udelnoi elektroprovodnosti magnitnoi jidkosti*, Jurnal Tehniceskoi Fiziki, 51(1982), 11, 2387-2388.
- [F3] FRENKEL, J., *Kinetic theory of liquids*, Dover Publications Inc., New York, 1955.
- [F4] FELDERHOF, B. U., JONES, R. B., *Effective dielectric constant of dilute polydisperse suspensions of spheres*, Zeitschrift der Physik, B62(1986), 225-230.
- [G1] GROSSE, C., BARCHINI, R., *On the permittivity of a suspension of charged spherical particles in an electrolyte*, Journal of Physics -D: Applied Physics, 91(1986), 1113-1127.
- [G2] GROSSE, C., FOSTER, K.R., *Permittivity of a suspension of charged spherical particles in electrolyte solution*, The Journal of Physical Chemistry, 91(1987), 3073-3076.
- [G3] GRANQVIST, C. G., BUHRMAN, R. A., *Ultrafine metal particles*, Journal of Applied Physics, 47(1976), 5, 2200-2219.
- [H1] HILL, N. E. ş.a., *Dielectric properties and molecular behaviour*, Van Nostrand Reinhold Co., London, 1969.
- [H2] HOLZAPFEL, C. ş.a., *Rotation of cells in an alternating electric field: theory and experimental proof*, The Journal of Membrane Biology, 67(1982), 13-26.
- [I1] IANTOVSKI, E. I. ş.a., *Izmerenie dielektriceskoi pronitiemosti magnitnoi jidkosti v elektriceskom i magnitnom polich*, Tezisi Dokladov-III Vsessoiuznoe Sovescianie po Fizike Magnitnih Jidkostei, 23-25 sept. 1986, Stavropol, 125-126.
- [J1] JONES, T. B. ş.a., *Multipolar interactions of dielectric spheres*, Journal of Electrostatics, 22(1989), 231-244.
- [K1] KAPLAN, B. Z., JACOBSON, D. M., *Electrical properties of magnetizable liquids*, Nature, 259(1976), 654-656.
- [L1] LANDAU, L. D., LIFSHIT, E. M., *Electrodinamica mediilor continue* (traducere din limba rusă), Ed. Tehnică, Bucureşti, 1968.
- [L2] LYKLEMA, J. ş.a., *The relaxation of the double layer around colloidal particles and the low-frequency dielectric dispersion*, Journal of Electroanalytical Chemistry, 143(1983), 1-21.
- [M1] MAILFERT, A. J., NAHOUNOU, B., *Dielectric behaviour of a ferrofluid subjected to a uniform magnetic field*,

- [M2] MANDRU, I., LECA, M., *Chimia macromoleculelor și a coloizilor*, EDP, București, 1977.
- [M3] MINDRU, GH., RĂDULESCU, M. M., *Analiza numerică a cimpului electromagnetic*, Ed. Dacia, Cluj-Napoca, 1986.
- [M4] MEKIDECHE, M., BEROUAC, A., *Losses in dielectric liquids in linear and nonlinear modes of conduction*, Archiwum Elektrotechniki, 36 (1987), 93-96.
- [N1] NIKITIN, L. V., TULINOV, A. A., *The odd magneto-optical effects in magnetic fluids*, IEEE Transactions on Magnetics 25(1989), 5, 3863-3865.
- [O1] O'BRIEN, R. W., *The electrical conductivity of a dilute suspension of charged particles*, Journal of Colloid and Interface Science, 81(1981), 1, 234-248.
- [O2] O'BRIEN, R. W., *The response of a colloidal suspension to an alternating electric field*, Advances in Colloid and Interface Science, 16(1982), 281-320.
- [O3] O'BRIEN, R. W., *The high-frequency dielectric dispersion of a colloid*, Journal of Colloid and Interface Science, 113(1986), 1, 81-93.
- [O4] O'GRADY, K., BRADBURY, A., *Particle size analysis in ferrofluids*, Journal of Magnetism and Magnetic Materials, 39(1983), 91-94.
- [P1] PIETRZYK, W., *Zachowanie się sferoidy wydłużonej w jednorodnym polu elektrostatycznym*, Archiwum Elektrotechniki, 35(1986), 2, 553-565.
- [P2] PURCELL, E. M., *Electricitate și magnetism*, (traducere din limba engleză), EDP, București, 1982.
- [P3] PEI-YING, XU și alii, *Caracteristicile dielectrice ale ferofluidelor*, (în chineză), Acta Physica Sinica, 37 (1988), 7, 1192-1196.
- [P4] PETRIKEVICI, A. U., RAIHER, Iu., *Relaxaționii dielektriceskii spektr magnitnoi jidkosti*, Tezisi Dokladov -III Vsesoiuznoe Sovescianie po Fizike Magnitnih Jidkostei, 23-25 sept. 1986, Stavropol, pg. 84-85.
- [P5] PISKOUNOV, N., *Calcul differentiel et integral*, vol. I, Editions Mir, Moscou, 1972.
- [R1] RĂDULESCU, M. M., *Permitivitatea electrică a lichidelor magnetice*, Referat de doctorat, 1986.
- [R2] RĂDULESCU, M. M., MICU, D., *Ecuții de tip Clausius-Mossotti pentru lichide magnetice*, Buletinul științific al Institutului Politehnic Cluj-Napoca, seria Electrotehnica-Energetică-Informatică, 29(1986), 44-48.
- [R3] RĂDULESCU, M. M., *Metode experimentale de studiu al proprietăților electrice ale lichidelor magnetice*, Referat de doctorat, 1987.

- [R4] RĂDULESCU, M. M. și a., Studiul experimental al proprietăților electrice ale lichidelor magnetice pe bază de alcoolii, Contract de cercetare științifică nr. 138/1987 între I.P. Cluj-Napoca și I.P. Timișoara.
- [R5] RĂDULESCU, M. M., Tehnică de măsurare a permittivității dielectrice complexe a ferofluidelor, Lucrările Simpozionului Național "Realizări și perspective în domeniul traductoarelor pentru echipamente de măsură", Cluj-Napoca, 3-5 nov. 1988, 161-166.
- [R6] RĂDULESCU, M. M., Mechanismele electroconducției și polarizării ferofluidelor cu particule de magnetită în petrol, Seminarul Tehnico Științific "Lichidele magnetice - baza unor tehnologii de vîrf", Timișoara, 21-22 oct. 1988.
- [R7] RĂDULESCU, M. M. și a., Cercetări asupra proprietăților electrice ale unor tipuri de fluide magnetice, Contract de cercetare științifică nr. 104/1989 între I.P. Cluj-Napoca și I.P. Timișoara.
- [R8] RĂDULESCU, M. M., Low-frequency dielectric losses in ferrofluids containing magnetite particles in kerosene, Journal of Magnetism and Magnetic Materials, 85 (1990), 144-146.
- [R9] RĂDULESCU, M. M., Low-frequency dielectric dispersion of surfacted ferrofluids containing anisometric colloidal particles, Lucrare prezentată la 6th International Conference on Magnetic Fluids, Paris 20-24 iulie, 1992.
- [R10] RĂDULESCU, M. M., Permanent-magnet field problems in ferrohydrostatics, Lucrare prezentată la Seminarul științific al Departamentului de Inginerie Electrică, Università di Pavia, 8 martie, 1991.
- [R11] RĂDULEȚ, R., Bazele electrotehnicii. Probleme, vol. I, EDP București, 1981.
- [R12] RAIKHER, Yu. L., PETRIKEVICH, A. V., Permittivity of a magnetic fluid, Magnetohydrodynamics, 23(1987), 2, 158-165.
- [R13] REYNOLDS, J. A., HOUGH, J. M. Formulas for dielectric constant of mixtures, The Proceedings of the Physical Society, B 70(1957), 8, 769-775.
- [R14] ROCCHICCIOLI- DELTCHEFF, C. și a., Surfacted ferrofluids: interactions at the surfactant-magnetic iron oxide interface, Journal of Chemical Research (S), 1987 5, 126-127.
- [R15] ROSENSWEIG, R. E., Ferrohydrodynamics, Cambridge University Press, Cambridge, 1985.
- [R16] ROST, A., Messung dielektrischer Stoffeigenschaften, Akademie-Verlag, Berlin, 1978.

- [S1] SAVINI,A. și a., Measurement of permittivity through ponderomotive force determination, Proceedings IEE, 125(1978), 9, 905-908.
- [S2] STRATTON,J. A., Electromagnetic theory, McGraw-Hill, New York, 1941.
- [S3] SCHWARZ,G., A theory of the low-frequency dielectric dispersion of colloidal particles in electrolyte solution, The Journal of Physical Chemistry, 66 (1962), 12, 2636-2642.
- [S4] SCHWARZ,G., On the orientation of nonspherical particles in an alternating electrical field, The Journal of Chemical Physics, 43(1965), 10, 3562-3569.
- [S5] SMOLEANSKI,M.L., Tabele de integrale nedefinite (traducere din limba rusă), Ed. Tehnică, București, 1972.
- [S6] SANCHO,M. și a., Multipole interaction between dielectric particles, Journal of Electrostatics, 21(1988), 135-144.
- [S7] SHIKHMURZAEV,Yu.D., On AC electrodynamic properties of magnetic fluids, Journal of Magnetism and Magnetic Materials, 87 (1990), 387-393.
- [T1] TAMM,I.E., Fundamentals of the theory of electricity, Mir Publishers, Moscow, 1979, ch. 2.
- [T2] TIMOTIN,A., Lecții de bază de electrotehnicii, EDP, București, 1970.
- [T3] TAREEV,B., Physics of dielectric materials, Mir Publishers, Moscow, 1975.
- [T4] TIMOTIN,A., Procese de conducție ionică, Electrotehnică, Electronică și Automatică- Informatică și Electrică, 28(1984), 4, 130-139.
- [V1] VAN VLECK,J.H., The theory of electric and magnetic susceptibilities, Oxford University Press, Oxford 1965.
- [V2] VAN DE VEN,T.G.M., BALOCH,M.K., Frequency dependence of electrically induced alignment of anisometric colloidal particles, Journal of Colloidal and Interface Science, 136(1990), 2, 494-508.
- [Z1] ZUBKO,V.I., SULOEGA,L.V., Primenenie metoda dielektricheskoi spektroskopii dlia diagnostiki magnethih jidkostei, Tezisi Dokladov - III Vsesoiuznoe Soveshchaniye po Fizike Magnitnih Jidkostei, 23-25 sept., 1986, Stavropol, 52-53.
- [Z2] ZUBKO,V.I. și a., Electrical properties of magnetic fluids Journal of Magnetism and Magnetic Materials, 85 (1990), 151-153.